



ภาคผนวก

ลิขสิทธิ์มหาวิทยาลัยเชียงใหม่

Copyright© by Chiang Mai University

All rights reserved



ภาคผนวก ก การคำนวณความร้อนจากการหายใจของผลิตภัณฑ์

ลิขสิทธิ์มหาวิทยาลัยเชียงใหม่

Copyright© by Chiang Mai University
All rights reserved

1. การคำนวณความร้อนจากการหายใจของผลิตผล

ตารางที่ ก 1 อัตราการหายใจของผักที่อุณหภูมิต่าง ๆ (USDA handbook #66)

อุณหภูมิ (°C)	อัตราการหายใจ (mg CO ₂ / kg.hr)			
	ผักกาดขาวปลี	ผักกาดหางหงษ์	ผักกาดหอมห่อ	ผักกะหล่ำ
0	6 ถึง 14	6 ถึง 14	6 ถึง 17	4 ถึง 6
5	8 ถึง 16	8 ถึง 16	13 ถึง 20	9 ถึง 12
10	15 ถึง 19	15 ถึง 19	21 ถึง 40	17 ถึง 19
15	19 ถึง 30	19 ถึง 30	32 ถึง 45	20 ถึง 32
20	25 ถึง 45	25 ถึง 45	51 ถึง 60	28 ถึง 49

ตัวอย่างการคำนวณความร้อนจากการหายใจของผักกาดขาวปลี

อัตราการหายใจ 1 mg CO₂/kg.hr จะผลิตความร้อน 220 BTU/ton.day)

เนื่องจากอุณหภูมิจากผักไม่คงที่จึงมีการแบ่งเป็นช่วงเวลาในการคำนวณดังนี้

อุณหภูมิลดลงจาก 20 ถึง 15 ใช้เวลา 1.17 ชั่วโมง

อุณหภูมิลดลงจาก 15 ถึง 10 ใช้เวลา 1.17 ชั่วโมง

อุณหภูมิลดลงจาก 10 ถึง 5 ใช้เวลา 2 ชั่วโมง

น้ำหนักผัก 1 ตะกร้าหนัก 18 กิโลกรัม

$$\text{ความร้อน} = ((29.75 \times 1.17) + (20.75 \times 1.17) + (14.5 \times 2)) \times (220/24000) \times 15$$

$$\text{ความร้อน} = 12.11 \text{ BTU}$$

การคำนวณความร้อนที่ติดมาจากแปลงปลูก

$$\text{ความร้อน} = (\text{น้ำหนัก}) \times (\text{ความจุความร้อนจำเพาะ}) \times (\text{ผลต่างของอุณหภูมิ})$$

ความจุความร้อนของผักกาดขาวปลีสามารถคำนวณได้จากสมการดังต่อไปนี้ (Lamb, 1976)

$$\text{ความจุความร้อนจำเพาะ} = 1.47 + 2.72W$$

เมื่อ $W =$ ความชื้นของผัก

จากสมการสามารถหาความจุความร้อนจำเพาะของผักกาดขาวปลีได้

$$\text{ความจุความร้อน} = 1.47 + 2.72 \times 0.96$$

$$\text{ความจุความร้อน} = 4.0812 \text{ KJ / kg.}^\circ\text{C}$$

นำค่าที่คำนวณได้ไปคำนวณหาความร้อนที่ติดมาจากแปลงปลูกจะได้

$$\text{ความร้อน} = 15 \times 4.0812 \times (20 - 4.5)$$

ความร้อน = 948.879 KJ

จาก 1 KJ จะเท่ากับ 1 BTU

ความร้อนที่คิดมาจากแปลงปลุกเท่ากับ 1138.655 BTU

ความร้อนที่จะต้องเอาออกทั้งหมด = ความร้อนที่คิดมาจากแปลงปลุก+ความร้อนจากการหายใจ

ความร้อนที่ต้องเอาออกทั้งหมด = 948.879+12.11

ความร้อนที่ต้องเอาออกทั้งหมด = 960.9907 BTU

เมื่อนำความร้อนที่เกิดจากการหายใจเทียบกับความร้อนทั้งหมดที่จะต้องเอาออกจะเท่ากับ 1.26 %

ตารางที่ ก 2 เปรียบเทียบความร้อนที่คิดมาจากแปลงปลุกกับความร้อนที่มาจากหายใจ

ชนิดผัก	ความร้อนที่คิดจากแปลงปลุก (%)	ความร้อนจากการหายใจ (%)
ผักกาดขาวปลี	98.74	1.26
ผักกาดหางหงษ์	98.70	1.30
ผักกาดหอมห่อ	98.52	1.48
ผักกะหล่ำ	98.45	1.55

2. การตรวจสอบความถูกต้องของแบบจำลอง

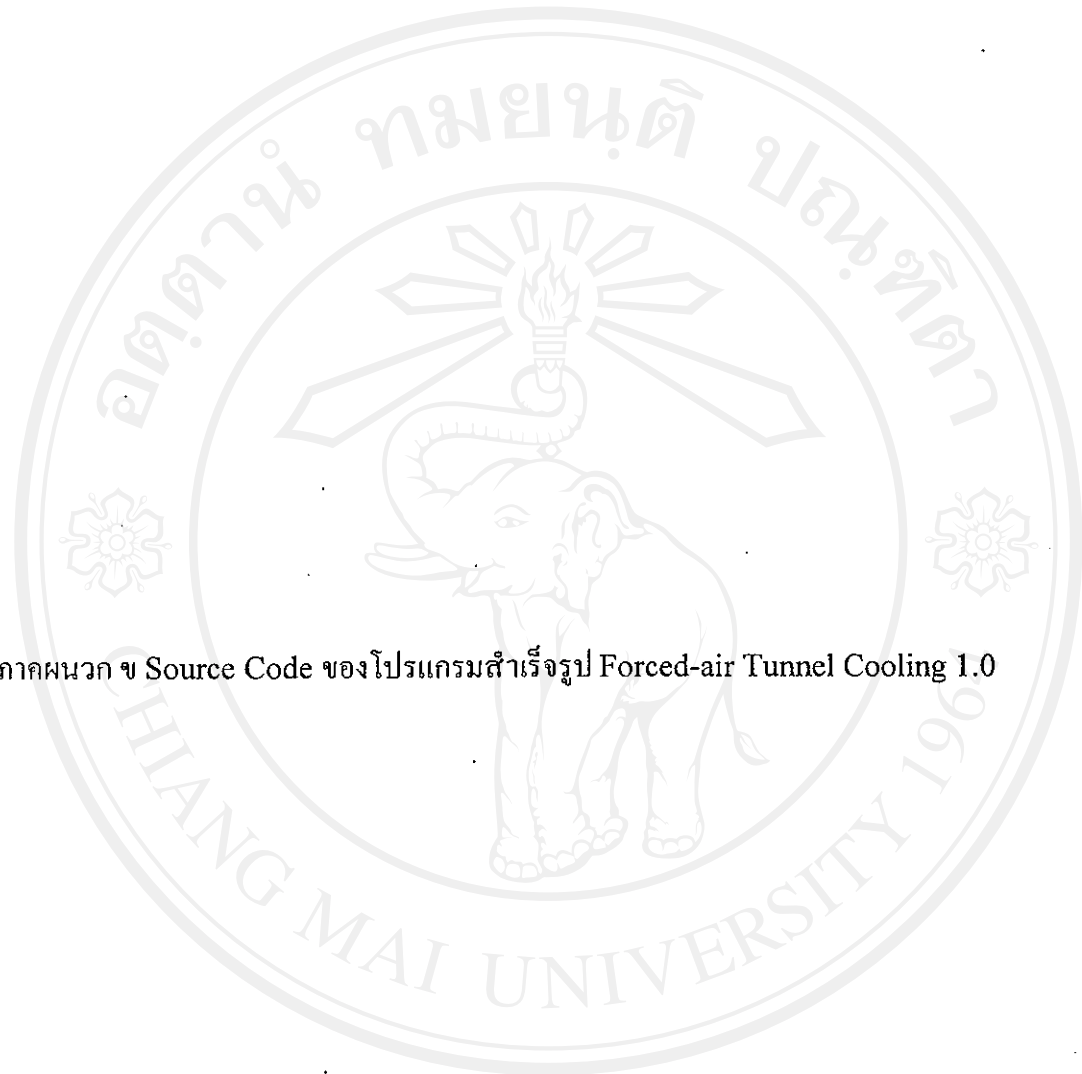
ใช้ค่า Root Mean Square Error (RMSE) ในการพิจารณาความถูกต้องของแบบจำลองทางคณิตศาสตร์ คำนวณจาก

$$RMES = \sqrt{\frac{1}{p} \sum_{i=1}^p [T_{mea}(i) - T_{sim}(i)]^2}$$

เมื่อ p คือ จำนวนข้อมูลทั้งหมด

$T_{mea}(i)$ คือ อุณหภูมิที่ได้จากการวัด ที่เวลา i ใดๆ

$T_{sim}(i)$ คือ อุณหภูมิที่ได้จากการทำนาย ที่เวลาใดๆ



ภาคผนวก ข Source Code ของโปรแกรมสำเร็จรูป Forced-air Tunnel Cooling 1.0

ลิขสิทธิ์มหาวิทยาลัยเชียงใหม่
Copyright© by Chiang Mai University
All rights reserved

1. Source Code หน้า precooling

```
Private Sub Command1_Click()
Form2.Show
Unload Form1
```

```
End Sub
```

```
Private Sub Command2_Click()
Form4.Show
Unload Form1
End Sub
```

```
Private Sub Command3_Click()
Form5.Show
Unload Form1
End Sub
```

2. Source Code หน้า calculation

```
Option Explicit
Dim a As Single
Dim j As Single
Dim t As Single
Dim t1 As Integer
```

```
Private Sub Option1_Click()
a = Module1.a1
j = Module1.j1
End Sub
```

```
Private Sub Option2_Click()
a = Module1.a2
j = Module1.j2
End Sub
```

```
Private Sub Option3_Click()
a = Module1.a3
j = Module1.j3
End Sub
```

```
Private Sub Option4_Click()
a = Module1.a4
j = Module1.j4
End Sub
```

```
Private Sub Command1_Click()
```

```

If Val(Text1.Text) > 2 And Val(Text1.Text) < 100 Then
    t = ((Log(j) - Log(3 / (Text1.Text - 1))) / a) / 60
    If t < 1 Then
        Form3.Text1.Text = 0
        Form3.Text2.Text = Format(t * 60, 0#)
        t1 = 0
        Do Until t1 > 100
            Form3.Graph1.NumPoints = 101
            Form3.Graph1.GraphData = ((j * Exp(-a * t1)) * (Text1.Text - 1)) + 1
            t1 = t1 + 1
        Loop
    ElseIf (t >= 1) And (t < 2) Then
        Form3.Text1.Text = 1
        Form3.Text2.Text = Format((t - 1) * 60, 0#)
        t1 = 0
        Do Until t1 > 120
            Form3.Graph1.NumPoints = 121
            Form3.Graph1.GraphData = ((j * Exp(-a * t1)) * (Text1.Text - 1)) + 1
            t1 = t1 + 1
        Loop
    ElseIf (t >= 2) And (t < 3) Then
        Form3.Text1.Text = 2
        Form3.Text2.Text = Format((t - 2) * 60, 0#)
        t1 = 0
        Do Until t1 > 180
            Form3.Graph1.NumPoints = 181
            Form3.Graph1.GraphData = ((j * Exp(-a * t1)) * (Text1.Text - 1)) + 1
            t1 = t1 + 1
        Loop
    ElseIf (t >= 3) And (t < 4) Then
        Form3.Text1.Text = 3
        Form3.Text2.Text = Format((t - 3) * 60, 0#)
        t1 = 0
        Do Until t1 > 240
            Form3.Graph1.NumPoints = 241
            Form3.Graph1.GraphData = ((j * Exp(-a * t1)) * (Text1.Text - 1)) + 1
            t1 = t1 + 1
        Loop
    ElseIf (t >= 4) And (t < 5) Then
        Form3.Text1.Text = 4
        Form3.Text2.Text = Format((t - 4) * 60, 0#)
        t1 = 0
        Do Until t1 > 300
            Form3.Graph1.NumPoints = 301
            Form3.Graph1.GraphData = ((j * Exp(-a * t1)) * (Text1.Text - 1)) + 1
            t1 = t1 + 1

```

```

    Loop
    ElseIf (t >= 5) And (t < 6) Then
    Form3.Text1.Text = 5
    Form3.Text2.Text = Format((t - 5) * 60, 0#)
    t1 = 0
    Do Until t1 > 360
    Form3.Graph1.NumPoints = 361
    Form3.Graph1.GraphData = ((j * Exp(-a * t1)) * (Text1.Text - 1)) + 1
    t1 = t1 + 1
    Loop
    ElseIf (t >= 6) And (t < 7) Then
    Form3.Text1.Text = 6
    Form3.Text2.Text = Format((t - 6) * 60, 0#)
    t1 = 0
    Do Until t1 > 420
    Form3.Graph1.NumPoints = 421
    Form3.Graph1.GraphData = ((j * Exp(-a * t1)) * (Text1.Text - 1)) + 1
    t1 = t1 + 1
    Loop
    End If

    Form3.Show
    Unload Form2
    Else
    MsgBox " กรุณาใส่ข้อมูลให้ถูกต้อง ", 64, "ERROR"
    End If

End Sub

```

3. Source Code หน้า result

```

Private Sub Command1_Click()
Form2.Show
Unload Form3
End Sub

Private Sub Command2_Click()
End
End Sub

```

4. Source Code หน้า How to ?

```

Private Sub Command1_Click()
Form1.Show
Unload Form4
End Sub

```

5. Source Code หน้า credit

```
Private Sub Command1_Click()  
Form1.Show  
Unload Form5  
End Sub
```

6. Source Code หน้า Module1

```
Option Explicit  
Global Const a1 As Single = 0.0075223  
Global Const j1 As Single = 1.14275  
Global Const a2 As Single = 0.0052555  
Global Const j2 As Single = 1.2161  
Global Const a3 As Single = 0.0035912  
Global Const j3 As Single = 1.00942  
Global Const a4 As Single = 0.0045771  
Global Const j4 As Single = 1.14498
```

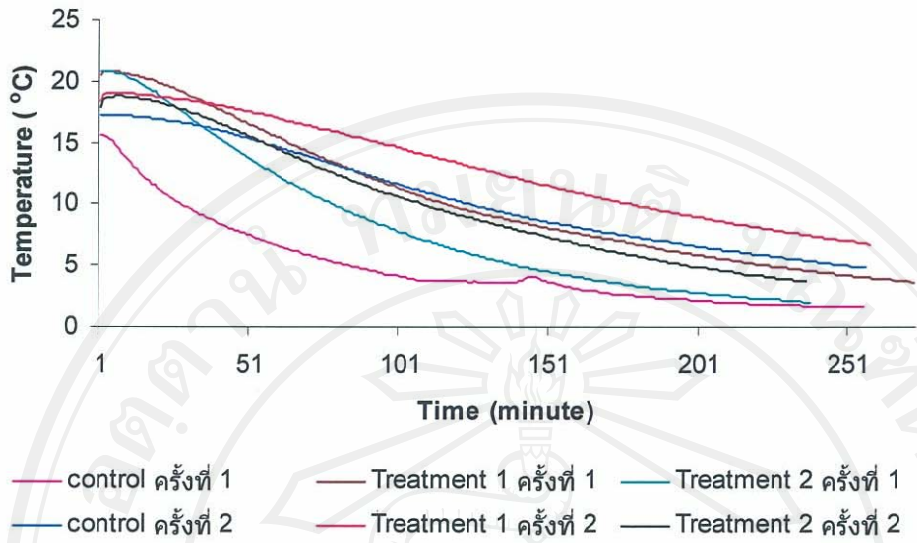


ลิขสิทธิ์มหาวิทยาลัยเชียงใหม่
Copyright© by Chiang Mai University
All rights reserved

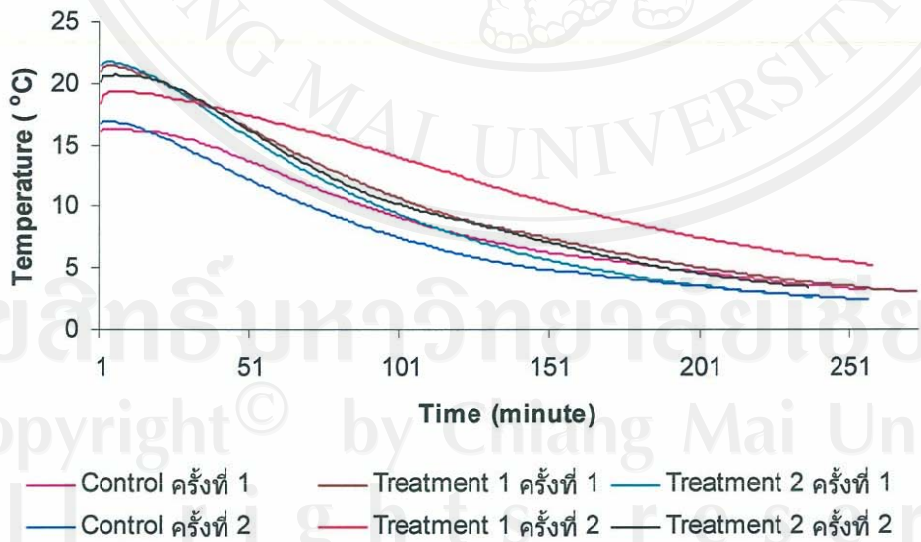


ภาคผนวก ค กราฟแสดงการลดอุณหภูมิขั้นต้นของผลิตภัณฑ์ และ กราฟการเปรียบเทียบ
ค่าความคลาดเคลื่อน

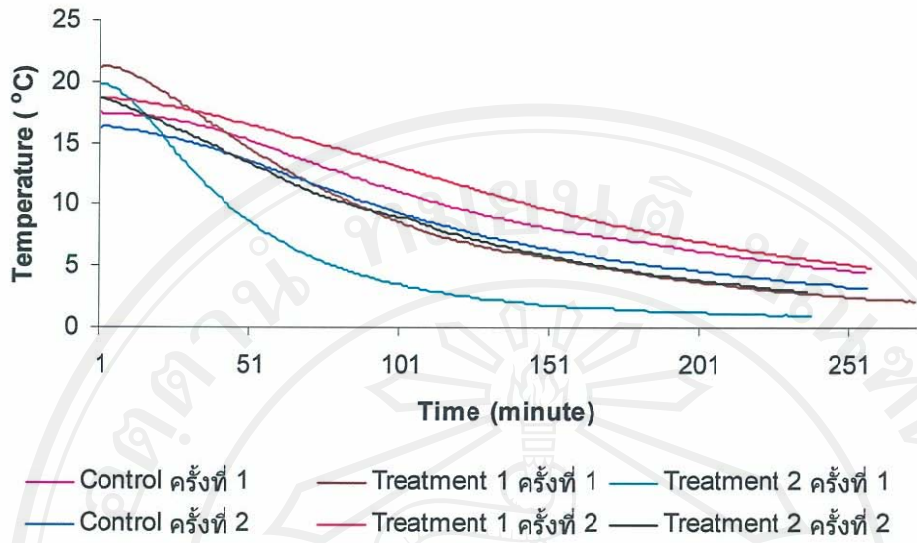
ลิขสิทธิ์มหาวิทยาลัยเชียงใหม่
Copyright© by Chiang Mai University
All rights reserved



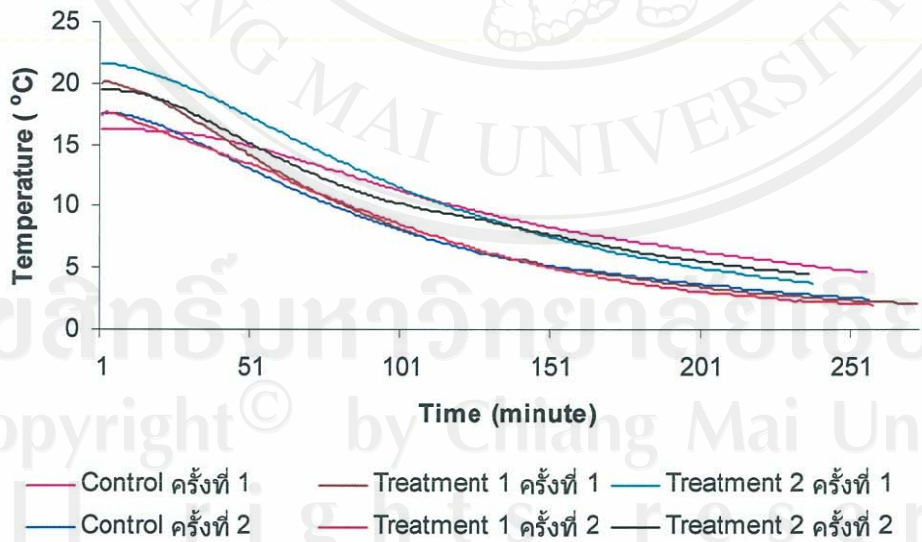
รูปที่ ค.1. กราฟแสดงการลดอุณหภูมิของผักกาดขาวปลีจากจากหัววัดที่ 1



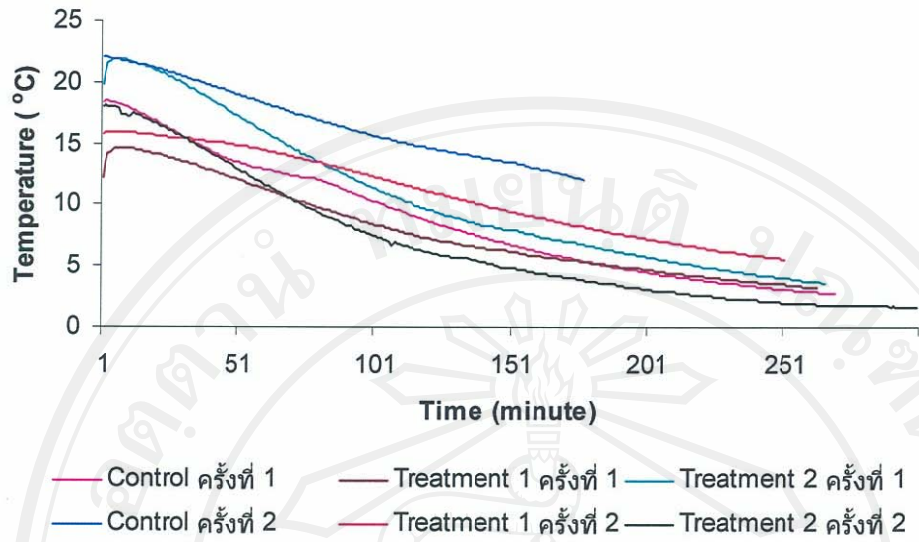
รูปที่ ค.2. กราฟแสดงการลดอุณหภูมิของผักกาดขาวปลีจากหัววัดที่ 2



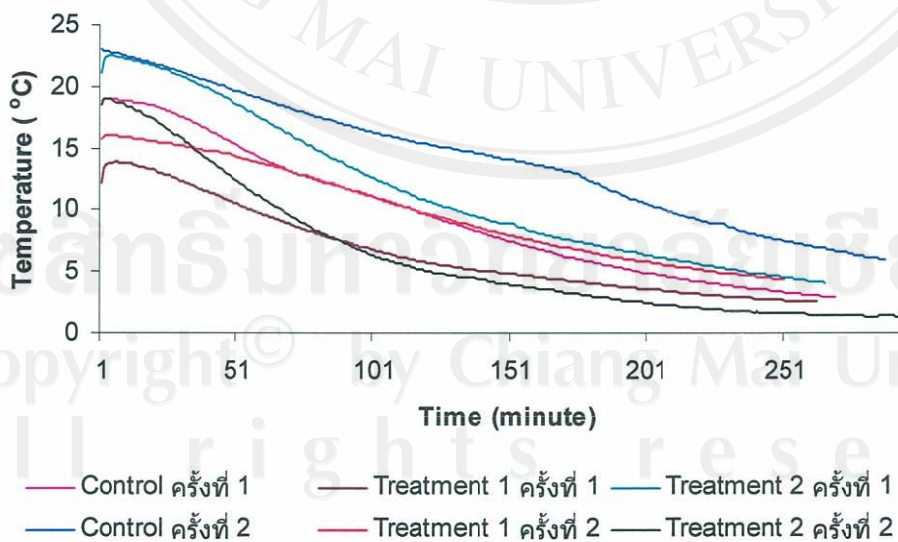
รูปที่ ค.3. กราฟแสดงการลดอุณหภูมิของผักกาดขาวปลีจากหัววัดที่ 4



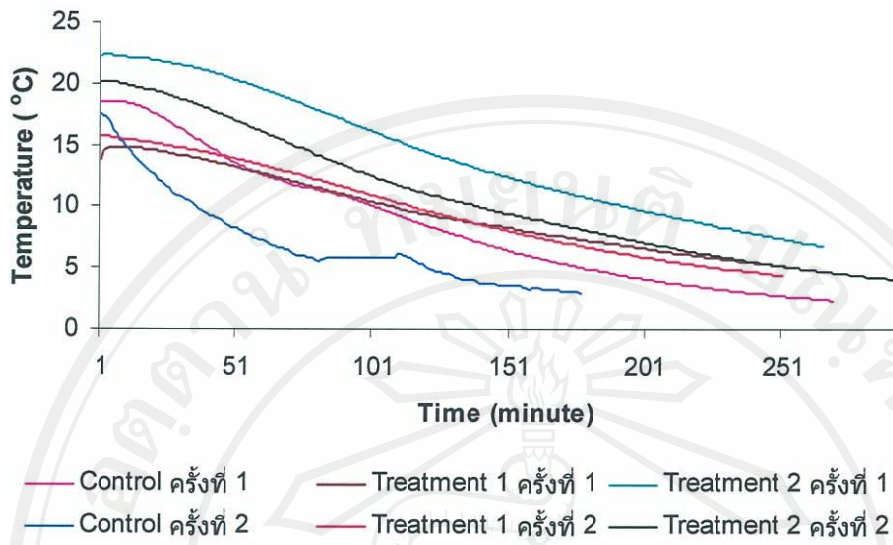
รูปที่ ค.4. กราฟแสดงการลดอุณหภูมิของผักกาดขาวปลีจากหัววัดที่ 6



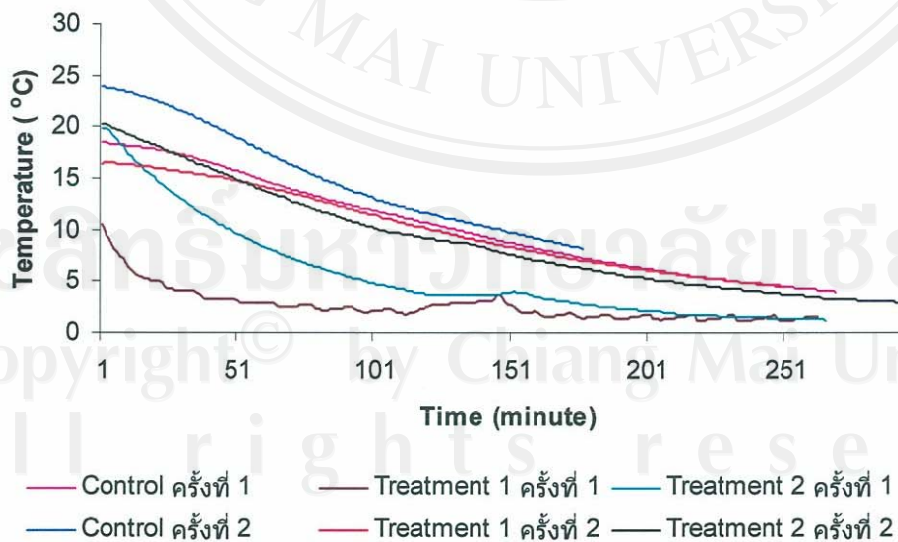
รูปที่ ค 5. กราฟแสดงการลดอุณหภูมิของผักกาดหางหงษ์จากหัววัดที่ 1



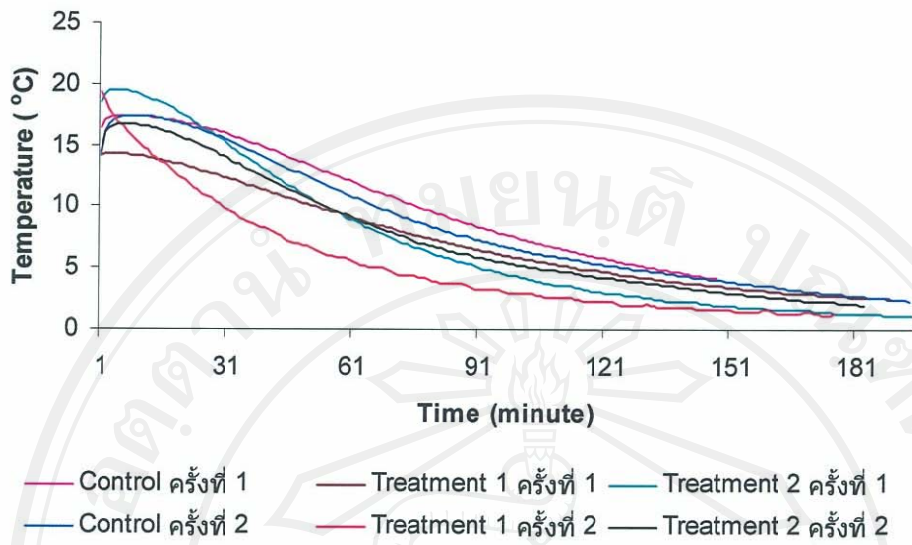
รูปที่ ค 6. กราฟแสดงการลดอุณหภูมิของผักกาดหางหงษ์จากหัววัดที่ 2



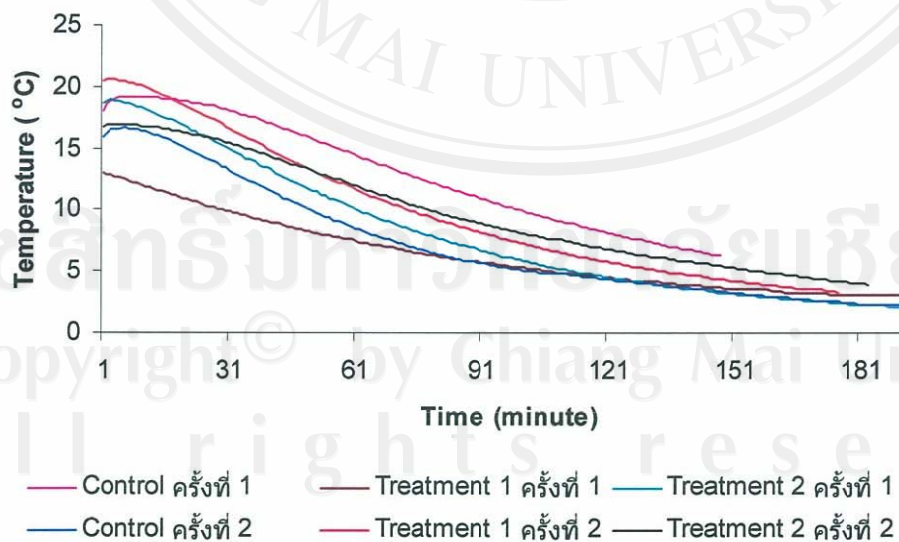
รูปที่ ค 7. กราฟแสดงการลดอุณหภูมิของผ้ากาดหางหงษ์จากหัววัดที่ 4



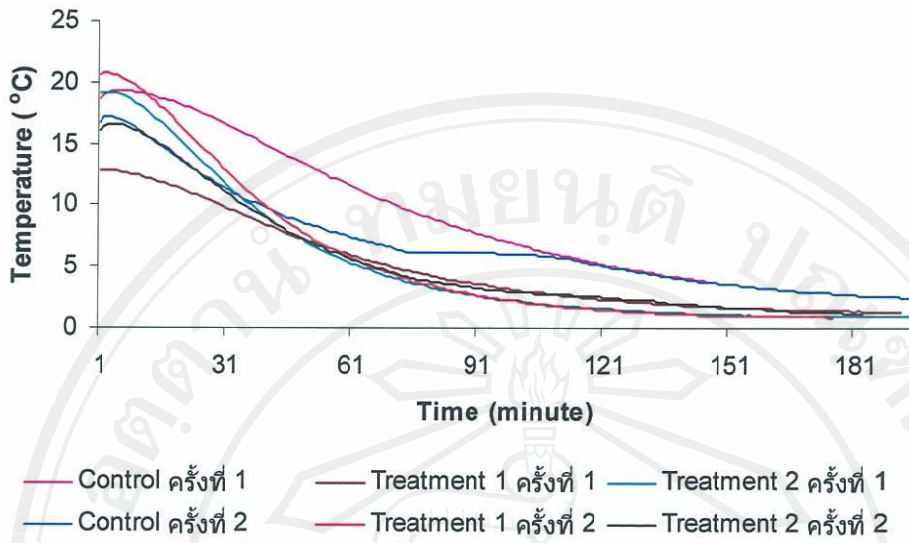
รูปที่ ค 8. กราฟแสดงการลดอุณหภูมิของผ้ากาดหางหงษ์จากหัววัดที่ 6



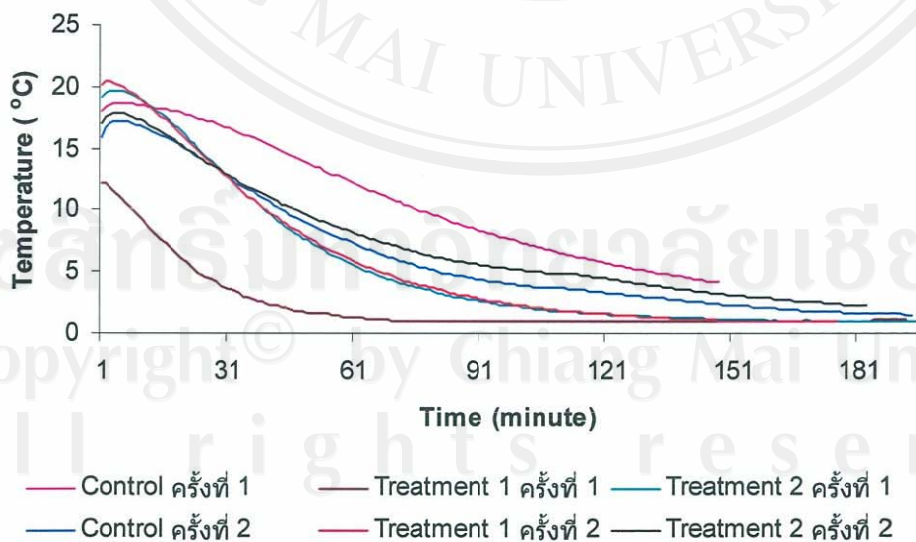
รูปที่ ค 9. กราฟแสดงการลดอุณหภูมิของผักกาดหอมห่อจากหัววัดที่ 3



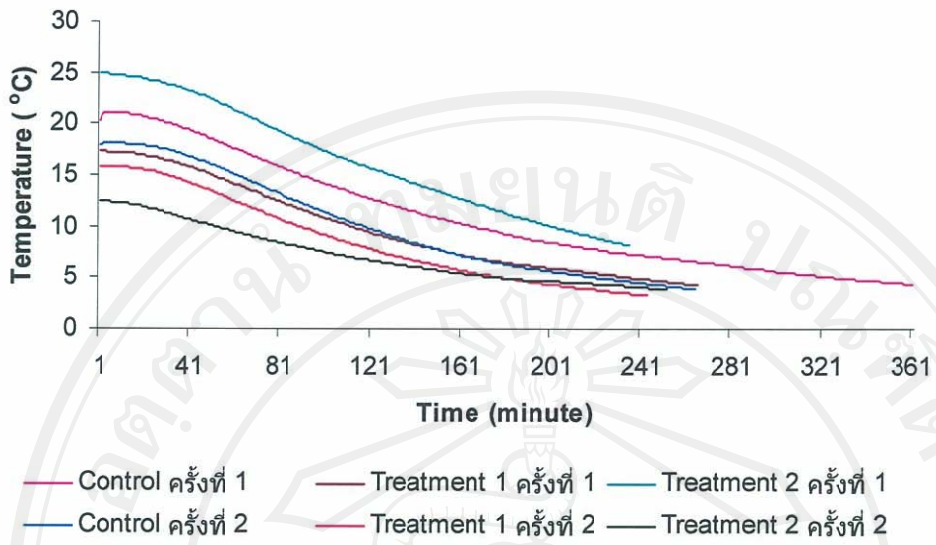
รูปที่ ค 10. กราฟแสดงการลดอุณหภูมิของผักกาดหอมห่อจากหัววัดที่ 4



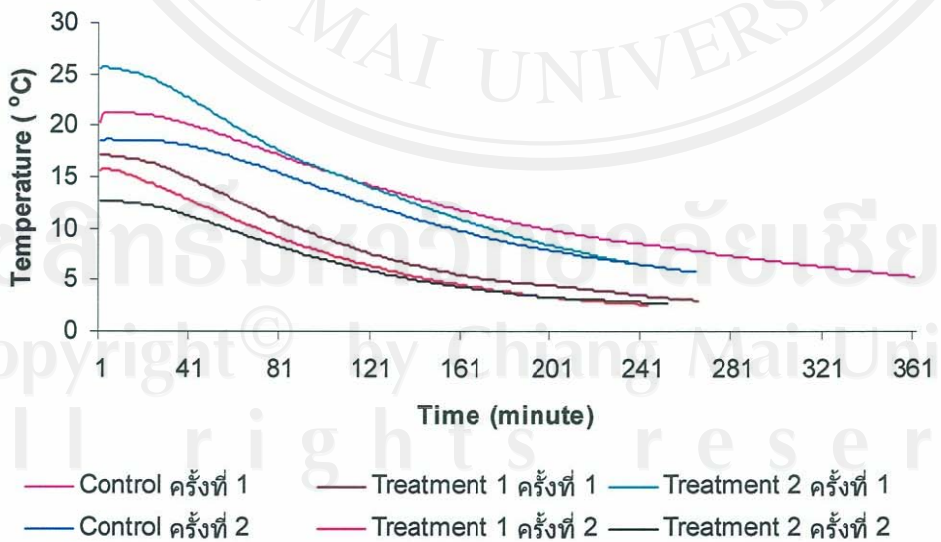
รูปที่ ค 11. กราฟแสดงการลดอุณหภูมิของผักกาดหอมห่อจากหัววัดที่ 5



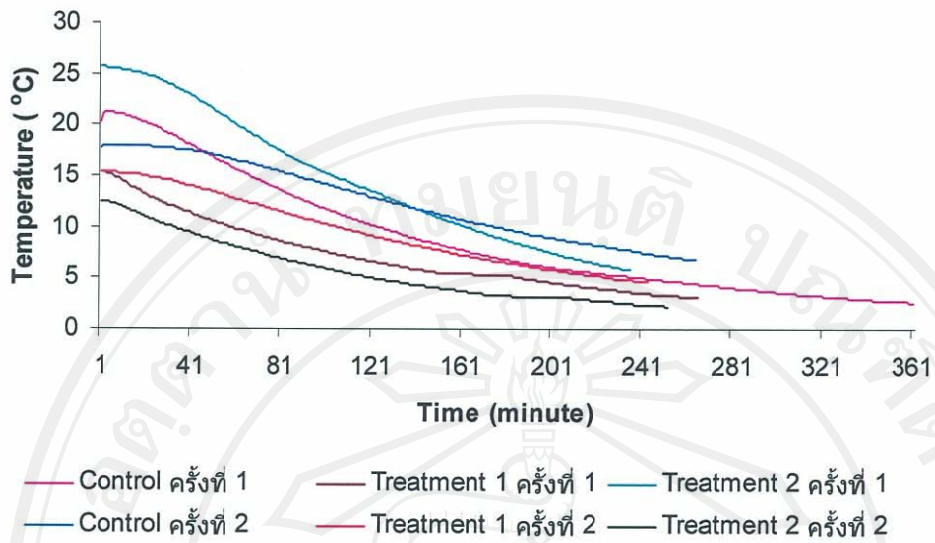
รูปที่ ค 12. กราฟแสดงการลดอุณหภูมิของผักกาดหอมห่อจากหัววัดที่ 6



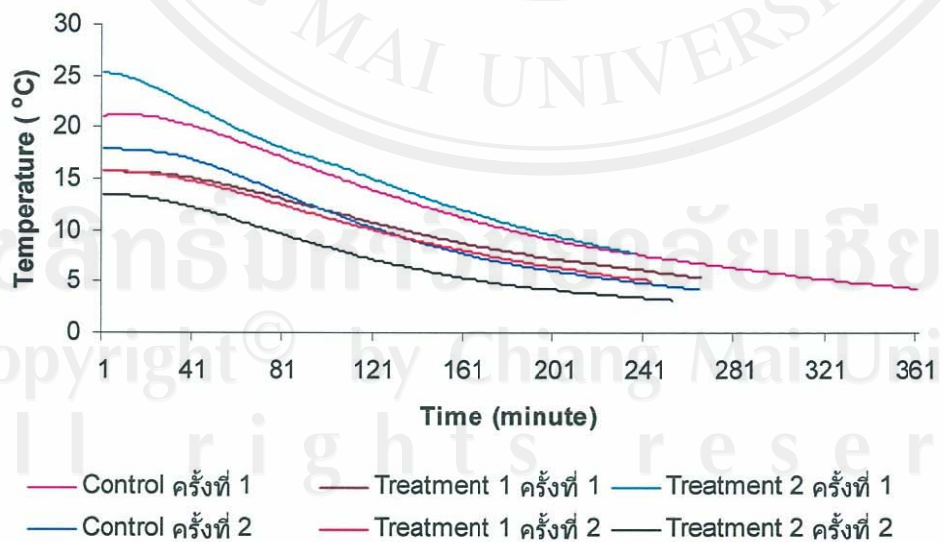
รูปที่ ค 13. กราฟแสดงการลดอุณหภูมิของฝักกะหล่ำปลีจากหัววัดที่ 1



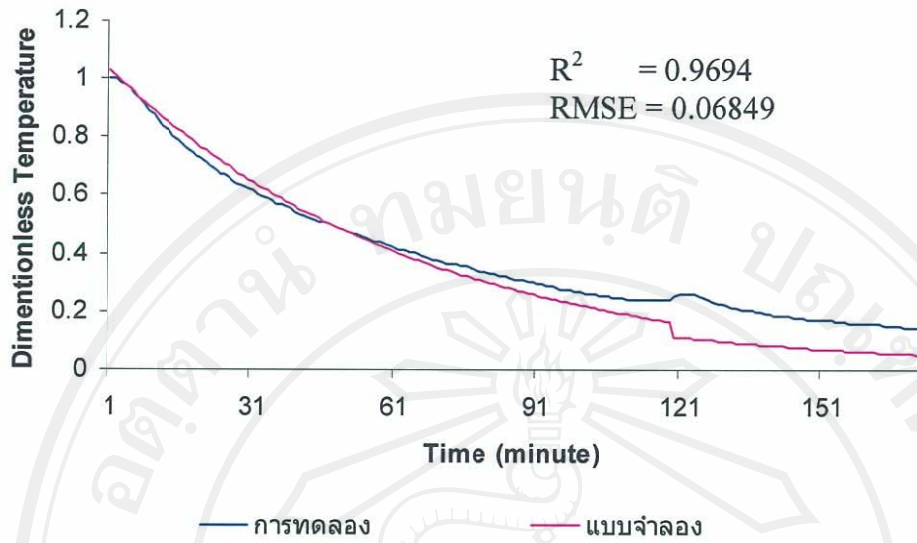
รูปที่ ค 14. กราฟแสดงการลดอุณหภูมิของฝักกะหล่ำปลีจากหัววัดที่ 2



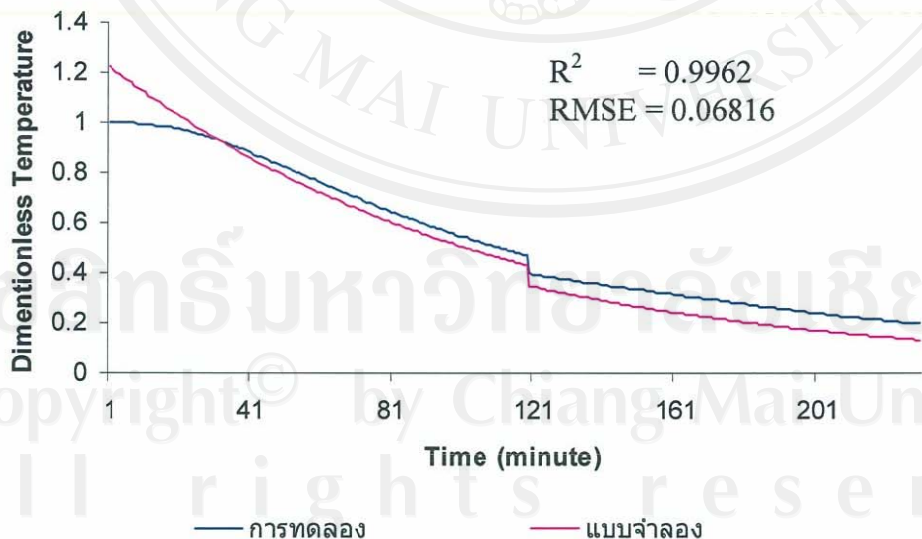
รูปที่ ค 15. กราฟแสดงการลดอุณหภูมิของผักกะหล่ำปลีจากหัววัดที่ 3



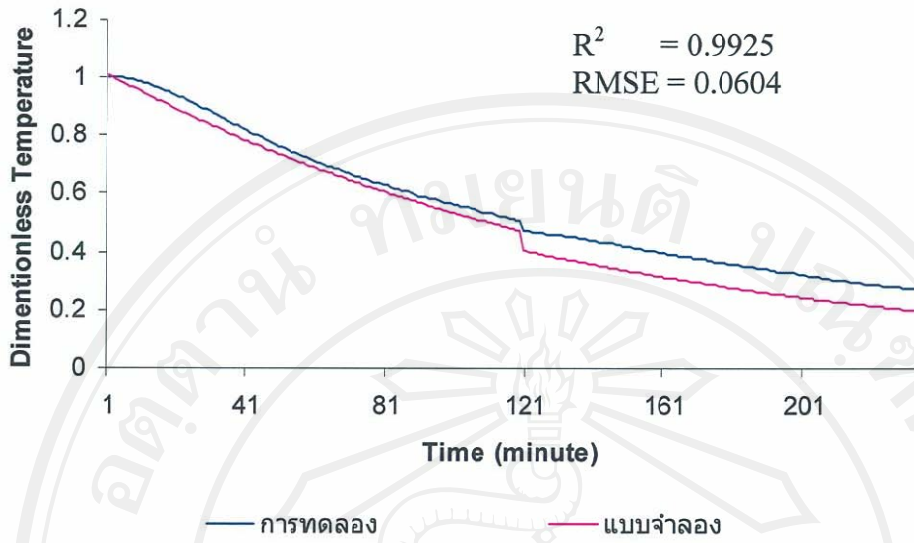
รูปที่ ค 16. กราฟแสดงการลดอุณหภูมิของผักกะหล่ำปลีจากหัววัดที่ 4



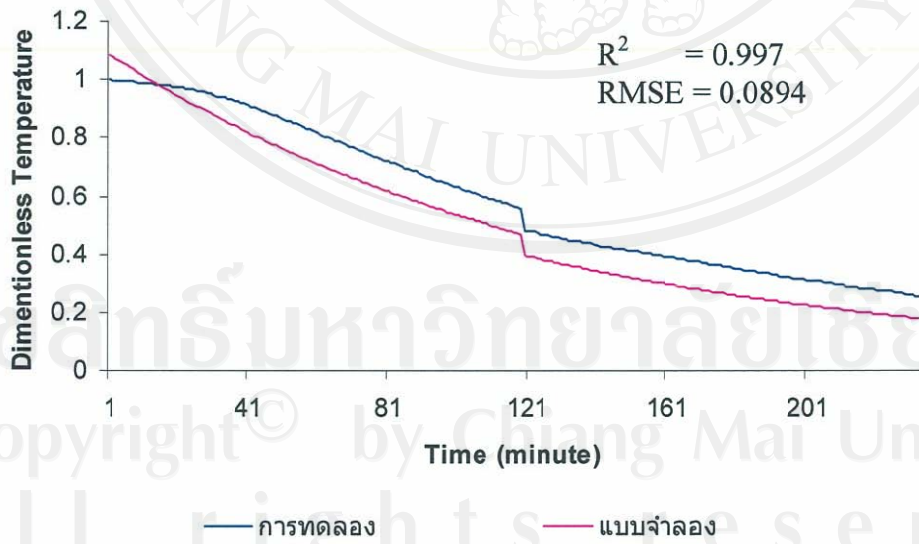
รูปที่ ค 17. การเปรียบเทียบค่าความคลาดเคลื่อนระหว่าง dimensionless temperature จากการคำนวณของแบบจำลองทางคณิตศาสตร์และจากการทดลองของฝักกาดชาวลี ในการลดอุณหภูมิโดยวิธีที่ใช้ในปัจจุบันจากหัววัดที่ 1 ในการทดลองครั้งที่ 1



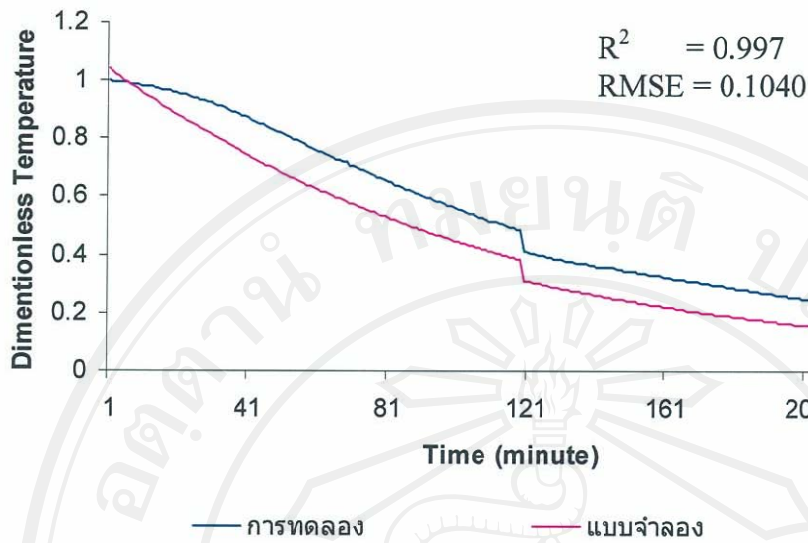
รูปที่ ค 18. การเปรียบเทียบค่าความคลาดเคลื่อนระหว่าง dimensionless temperature จากการคำนวณของแบบจำลองทางคณิตศาสตร์และจากการทดลองของฝักกาดชาวลี ในการลดอุณหภูมิโดยวิธีที่ใช้ในปัจจุบันจากหัววัดที่ 2 ในการทดลองครั้งที่ 1



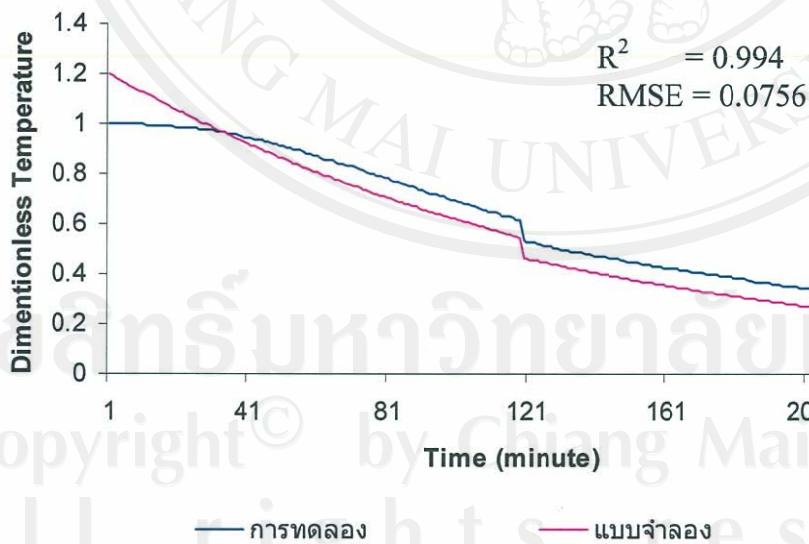
รูปที่ ค 19. การเปรียบเทียบค่าความคลาดเคลื่อนระหว่าง dimensionless temperature จากการคำนวณของแบบจำลองทางคณิตศาสตร์และจากการทดลองของฝักกาดชาวลี ในการลดอุณหภูมิโดยวิธีที่ใช้ในปัจจุบันจากหัววัดที่ 3 ในการทดลองครั้งที่ 1



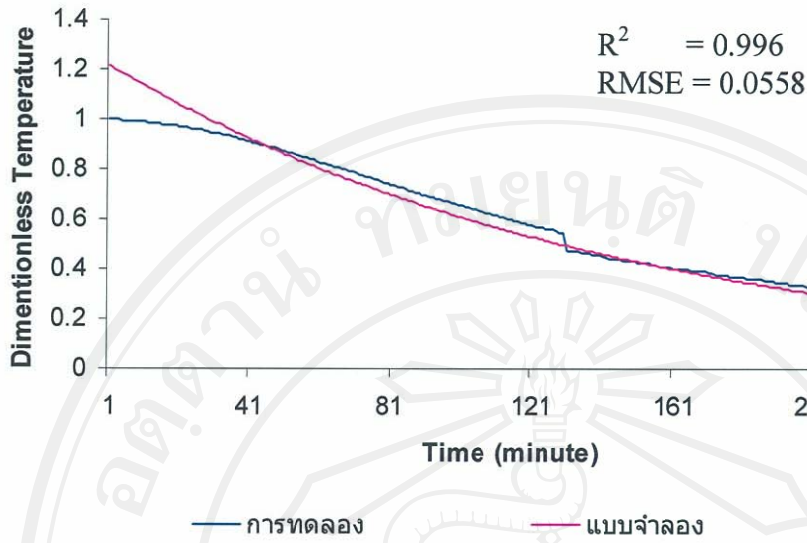
รูปที่ ค 20. การเปรียบเทียบค่าความคลาดเคลื่อนระหว่าง dimensionless temperature จากการคำนวณของแบบจำลองทางคณิตศาสตร์และจากการทดลองของฝักกาดชาวลี ในการลดอุณหภูมิโดยวิธีที่ใช้ในปัจจุบันจากหัววัดที่ 4 ในการทดลองครั้งที่ 1



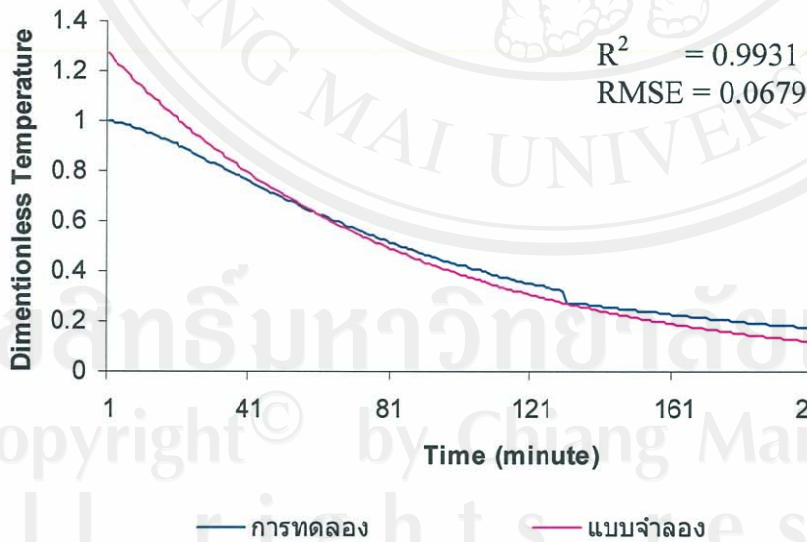
รูปที่ ค 21. การเปรียบเทียบค่าความคลาดเคลื่อนระหว่าง dimensionless temperature จากการคำนวณของแบบจำลองทางคณิตศาสตร์และจากการทดลองของฝักกาดชาวปติ ในการลดอุณหภูมิโดยวิธีที่ใช้ในปัจจุบันจากหัววัดที่ 5 ในการทดลองครั้งที่ 1



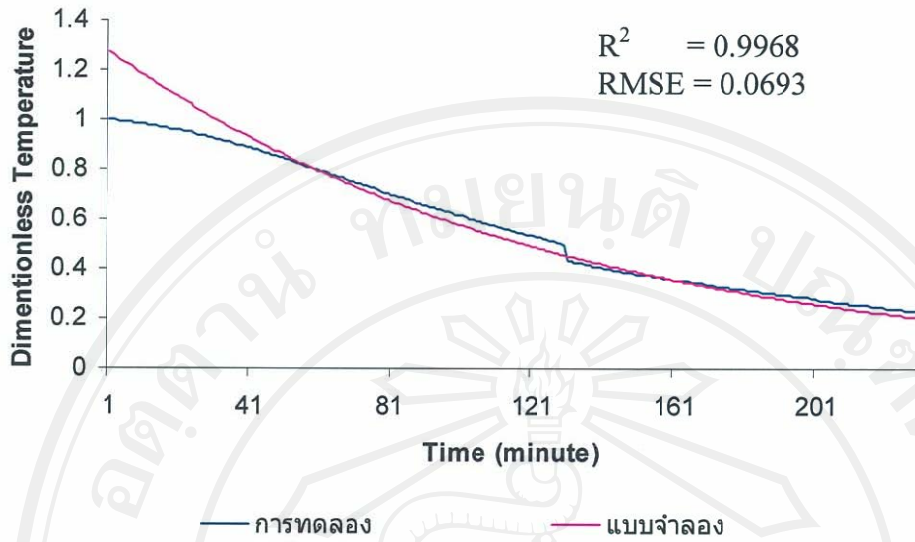
รูปที่ ค 22. การเปรียบเทียบค่าความคลาดเคลื่อนระหว่าง dimensionless temperature จากการคำนวณของแบบจำลองทางคณิตศาสตร์และจากการทดลองของฝักกาดชาวปติ ในการลดอุณหภูมิโดยวิธีที่ใช้ในปัจจุบันจากหัววัดที่ 6 ในการทดลองครั้งที่ 1



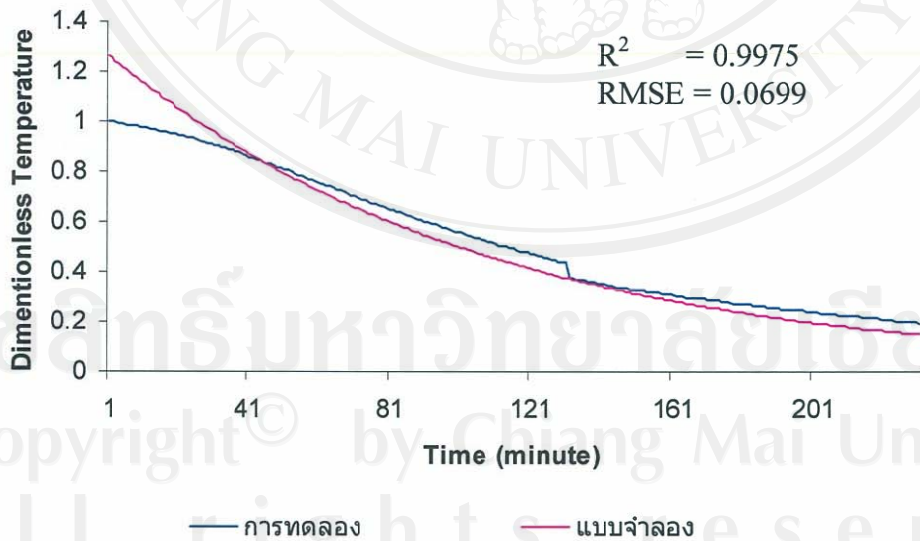
รูปที่ ค 23. การเปรียบเทียบค่าความคลาดเคลื่อนระหว่าง dimensionless temperature จากการคำนวณของแบบจำลองทางคณิตศาสตร์และจากการทดลองของฝักกาดชาวปตี ในการลดอุณหภูมิโดยวิธีที่ใช้ในปัจจุบันจากหัววัดที่ 1 ในการทดลองครั้งที่ 2



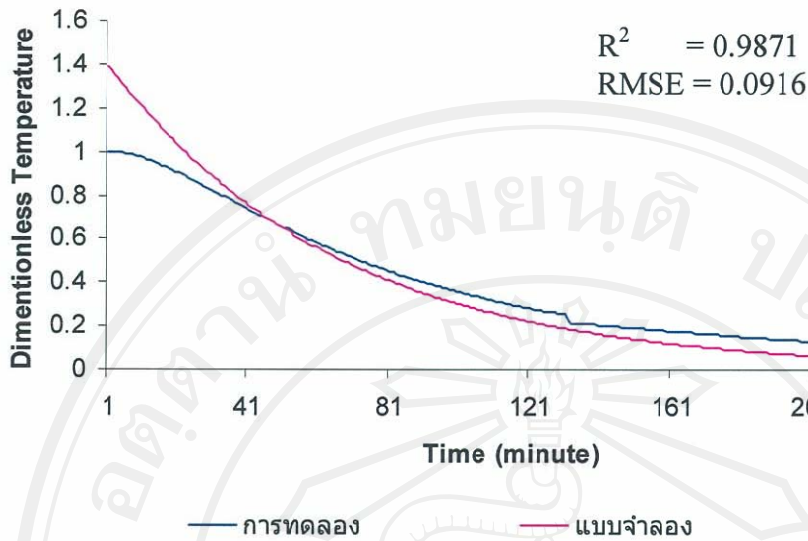
รูปที่ ค 24. การเปรียบเทียบค่าความคลาดเคลื่อนระหว่าง dimensionless temperature จากการคำนวณของแบบจำลองทางคณิตศาสตร์และจากการทดลองของฝักกาดชาวปตี ในการลดอุณหภูมิโดยวิธีที่ใช้ในปัจจุบันจากหัววัดที่ 2 ในการทดลองครั้งที่ 2



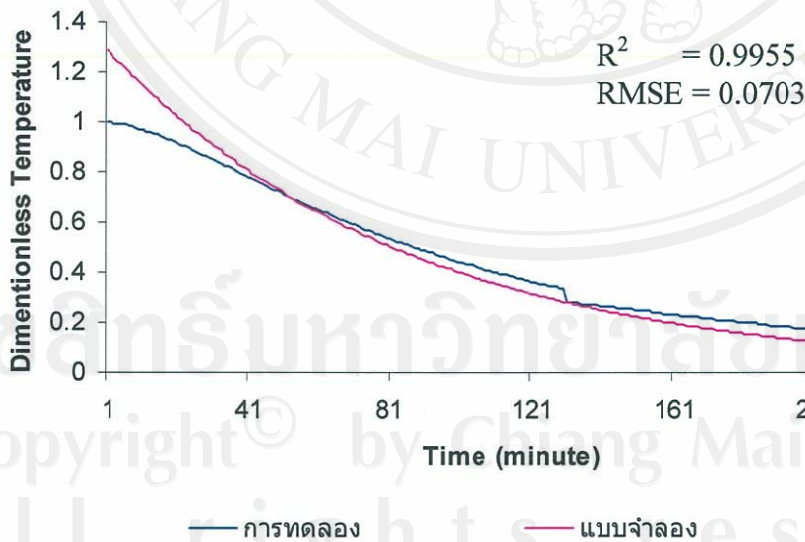
รูปที่ ค 25. การเปรียบเทียบค่าความคลาดเคลื่อนระหว่าง dimensionless temperature จากการคำนวณของแบบจำลองทางคณิตศาสตร์และจากการทดลองของฝักกาดชาวปติ ในการลดอุณหภูมิโดยวิธีที่ใช้ในปัจจุบันจากหัววัดที่ 3 ในการทดลองครั้งที่ 2



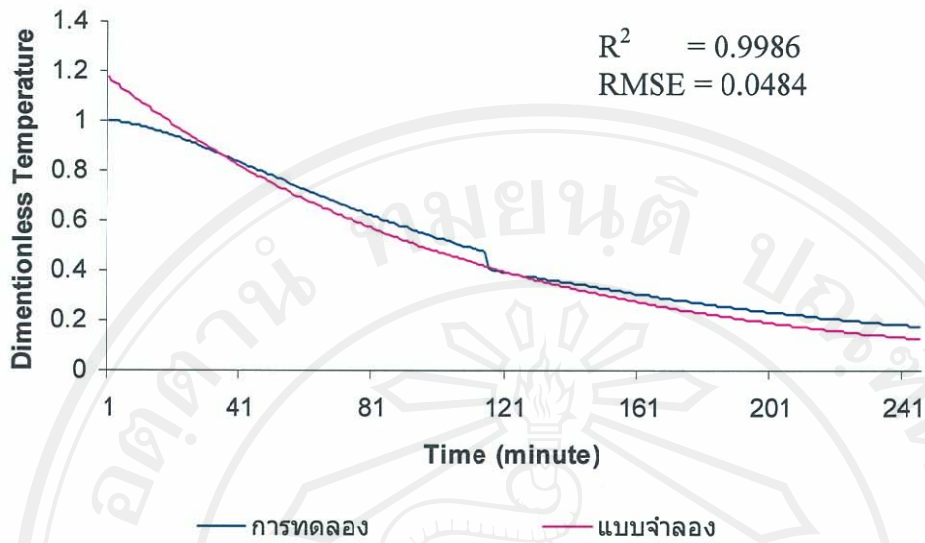
รูปที่ ค 26. การเปรียบเทียบค่าความคลาดเคลื่อนระหว่าง dimensionless temperature จากการคำนวณของแบบจำลองทางคณิตศาสตร์และจากการทดลองของฝักกาดชาวปติ ในการลดอุณหภูมิโดยวิธีที่ใช้ในปัจจุบันจากหัววัดที่ 4 ในการทดลองครั้งที่ 2



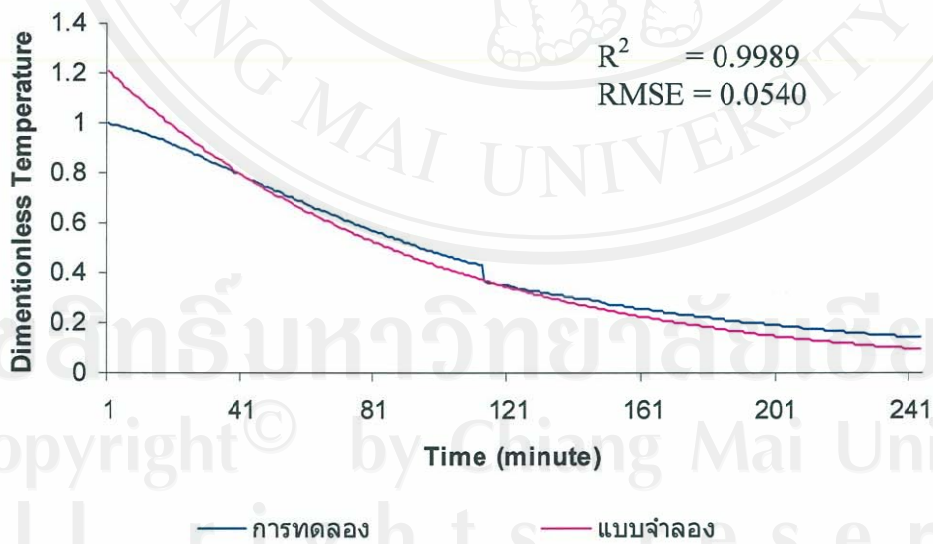
รูปที่ ค 27. การเปรียบเทียบค่าความคลาดเคลื่อนระหว่าง dimensionless temperature จากการคำนวณของแบบจำลองทางคณิตศาสตร์และจากการทดลองของห้กาดชาวปตี้ ในการลดอุณหภูมิโดยวิธีที่ใช้ในปัจจุบันจากหัววัดที่ 5 ในการทดลองครั้งที่ 2



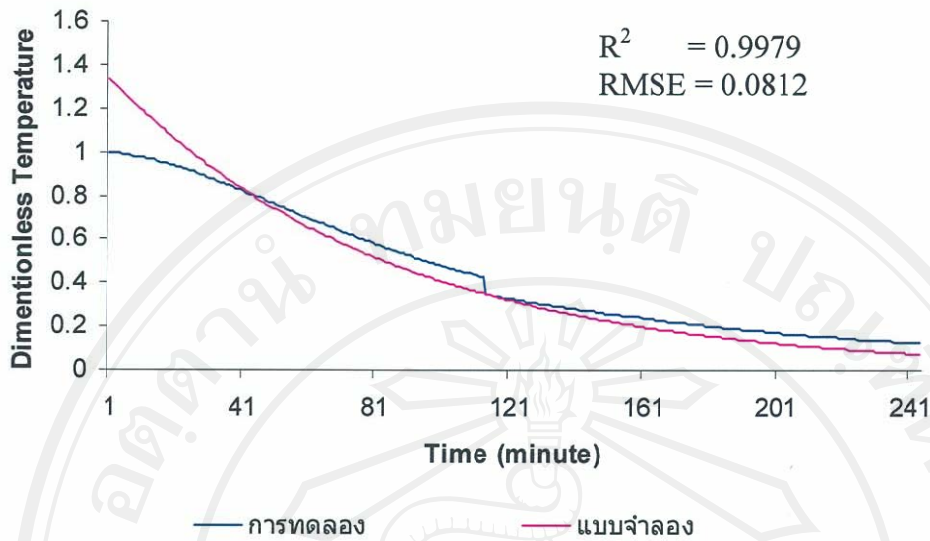
รูปที่ ค 28. การเปรียบเทียบค่าความคลาดเคลื่อนระหว่าง dimensionless temperature จากการคำนวณของแบบจำลองทางคณิตศาสตร์และจากการทดลองของห้กาดชาวปตี้ ในการลดอุณหภูมิโดยวิธีที่ใช้ในปัจจุบันจากหัววัดที่ 5 ในการทดลองครั้งที่ 2



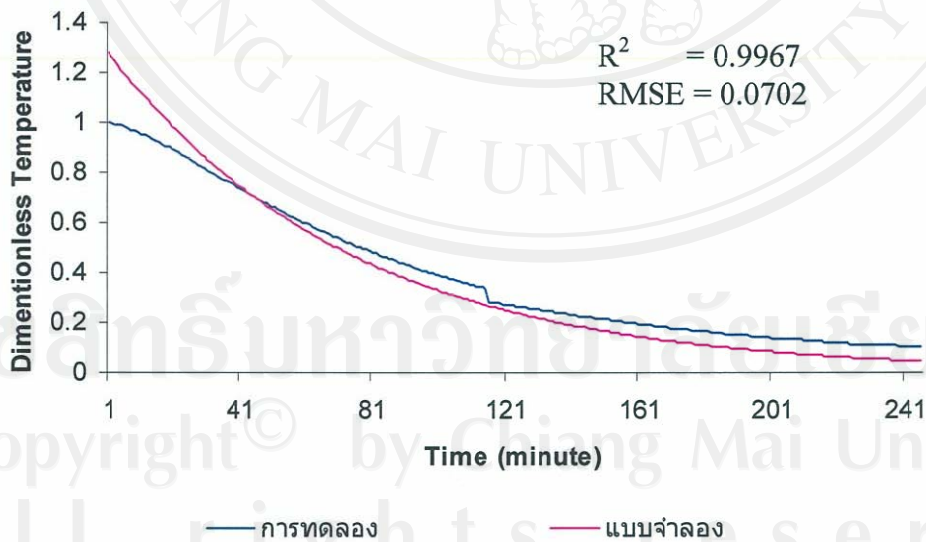
รูปที่ ค 29. การเปรียบเทียบค่าความคลาดเคลื่อนระหว่าง dimensionless temperature จากการคำนวณของแบบจำลองทางคณิตศาสตร์และจากการทดลองของฝักกาดชาวปาลี ในการลดอุณหภูมิโดยการลดขนาดของผ้าใบจากหัววัดที่ 1 ในการทดลองครั้งที่ 1



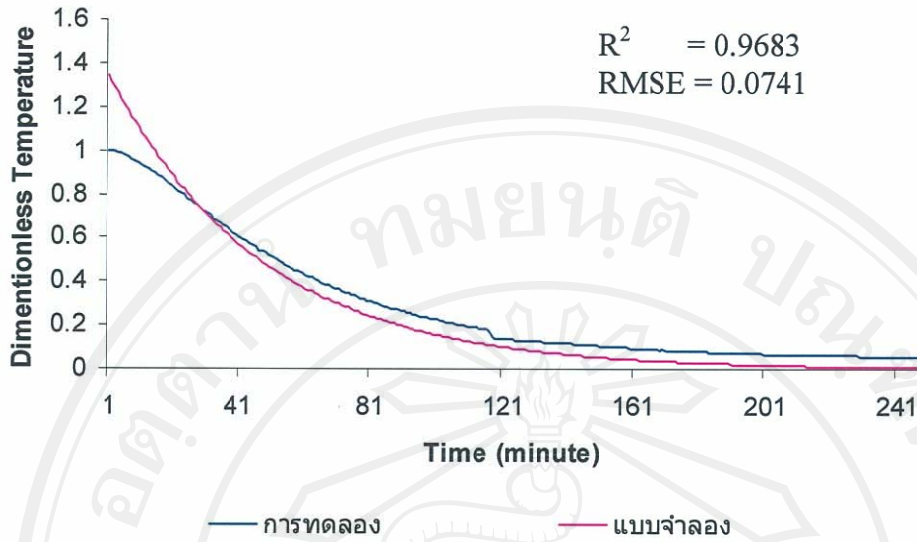
รูปที่ ค 30. การเปรียบเทียบค่าความคลาดเคลื่อนระหว่าง dimensionless temperature จากการคำนวณของแบบจำลองทางคณิตศาสตร์และจากการทดลองของฝักกาดชาวปาลี ในการลดอุณหภูมิโดยการลดขนาดของผ้าใบจากหัววัดที่ 2 ในการทดลองครั้งที่ 1



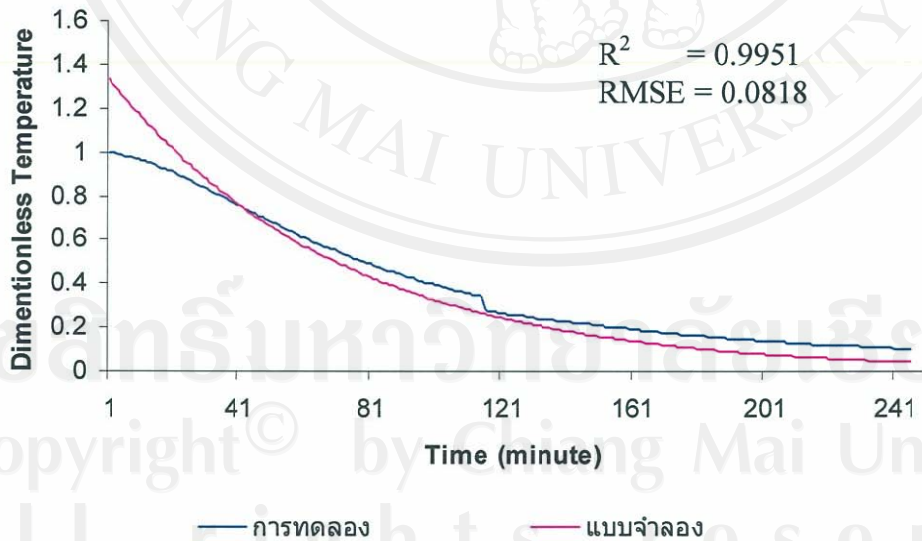
รูปที่ ค 31. การเปรียบเทียบค่าความคลาดเคลื่อนระหว่าง dimensionless temperature จากการคำนวณของแบบจำลองทางคณิตศาสตร์และจากการทดลองของฝักกาดชาวปดี ในการลดอุณหภูมิโดยการลดขนาดของผ้าใบจากหัววัดที่ 3 ในการทดลองครั้งที่ 1



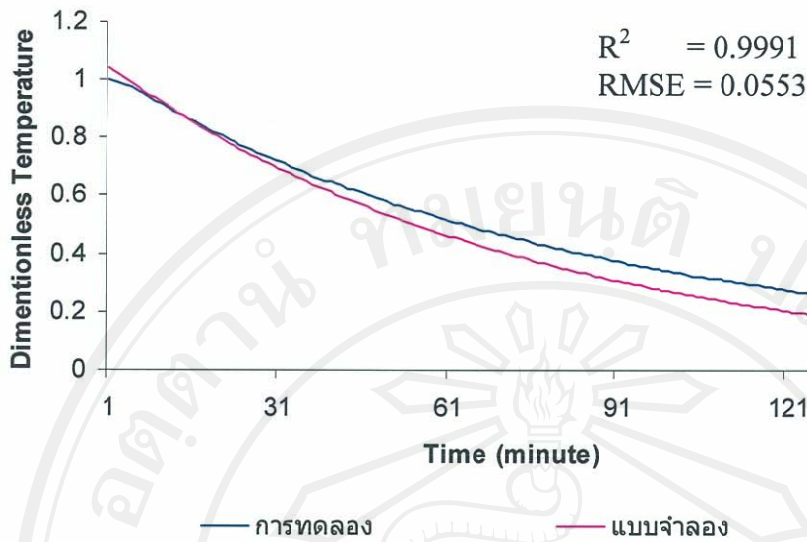
รูปที่ ค 32. การเปรียบเทียบค่าความคลาดเคลื่อนระหว่าง dimensionless temperature จากการคำนวณของแบบจำลองทางคณิตศาสตร์และจากการทดลองของฝักกาดชาวปดี ในการลดอุณหภูมิโดยการลดขนาดของผ้าใบจากหัววัดที่ 4 ในการทดลองครั้งที่ 1



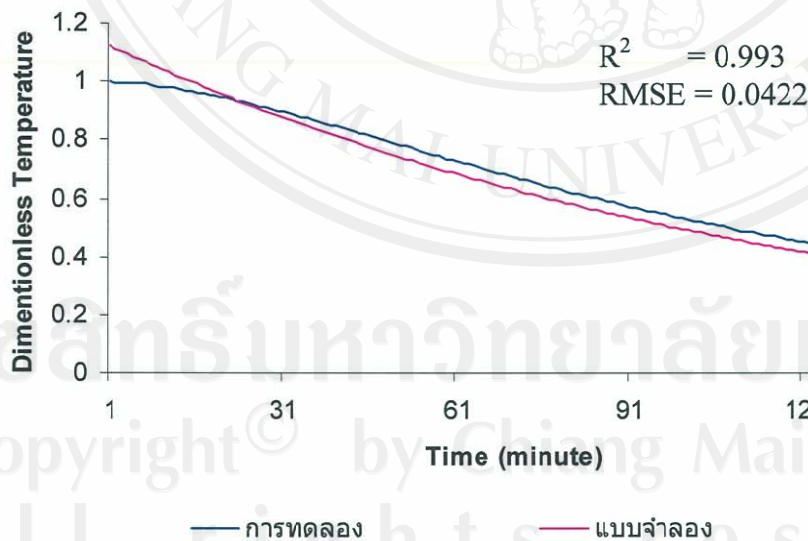
รูปที่ ค 33. การเปรียบเทียบค่าความคลาดเคลื่อนระหว่าง dimensionless temperature จากการคำนวณของแบบจำลองทางคณิตศาสตร์และจากการทดลองของฝักกาดชาวลี ในการลดอุณหภูมิโดยการลดขนาดของผ้าใบจากหัววัดที่ 5 ในการทดลองครั้งที่ 1



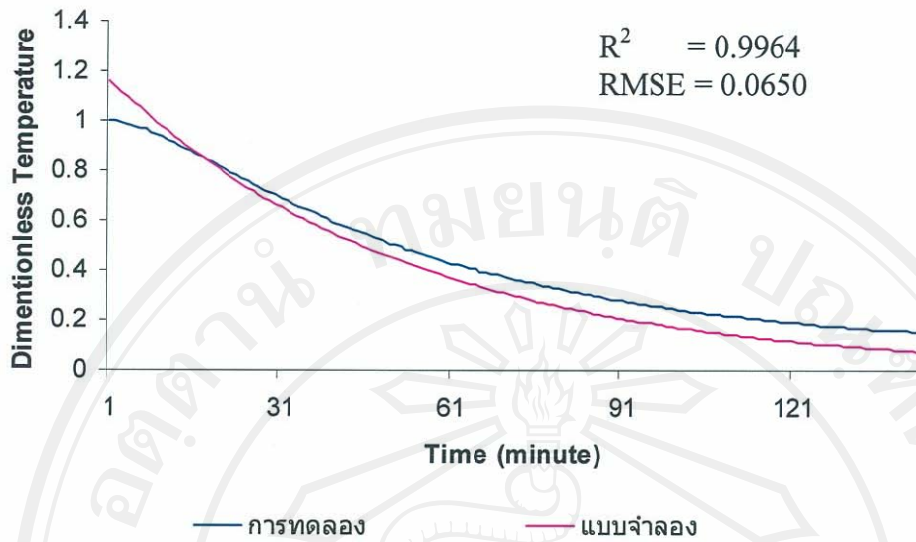
รูปที่ ค 34. การเปรียบเทียบค่าความคลาดเคลื่อนระหว่าง dimensionless temperature จากการคำนวณของแบบจำลองทางคณิตศาสตร์และจากการทดลองของฝักกาดชาวลี ในการลดอุณหภูมิโดยการลดขนาดของผ้าใบจากหัววัดที่ 6 ในการทดลองครั้งที่ 1



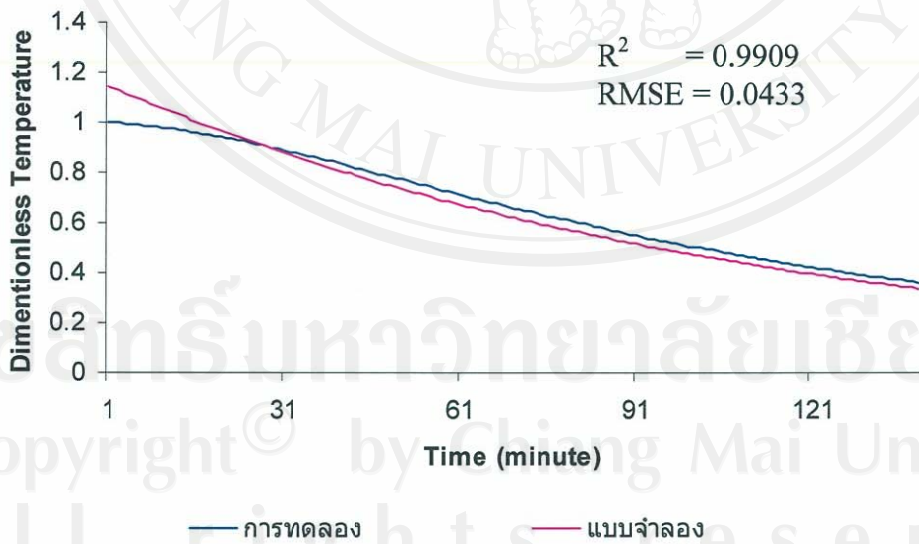
รูปที่ ค 35. การเปรียบเทียบค่าความคลาดเคลื่อนระหว่าง dimensionless temperature จากการคำนวณของแบบจำลองทางคณิตศาสตร์และจากการทดลองของฝักกาดชาวลี ในการลดอุณหภูมิโดยการลดขนาดของผ้าใบจากหัววัดที่ 3 ในการทดลองครั้งที่ 2



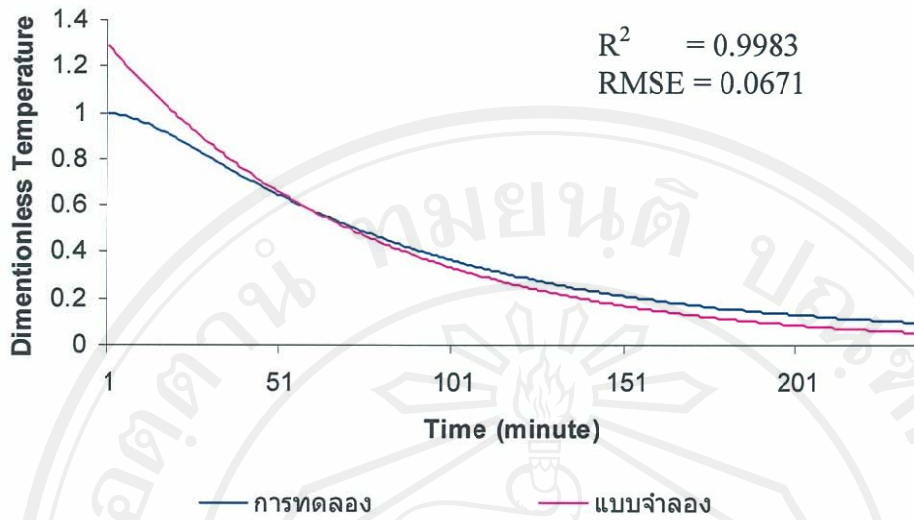
รูปที่ ค 36 การเปรียบเทียบค่าความคลาดเคลื่อนระหว่าง dimensionless temperature จากการคำนวณของแบบจำลองทางคณิตศาสตร์และจากการทดลองของฝักกาดชาวลี ในการลดอุณหภูมิโดยการลดขนาดของผ้าใบจากหัววัดที่ 4 ในการทดลองครั้งที่ 2



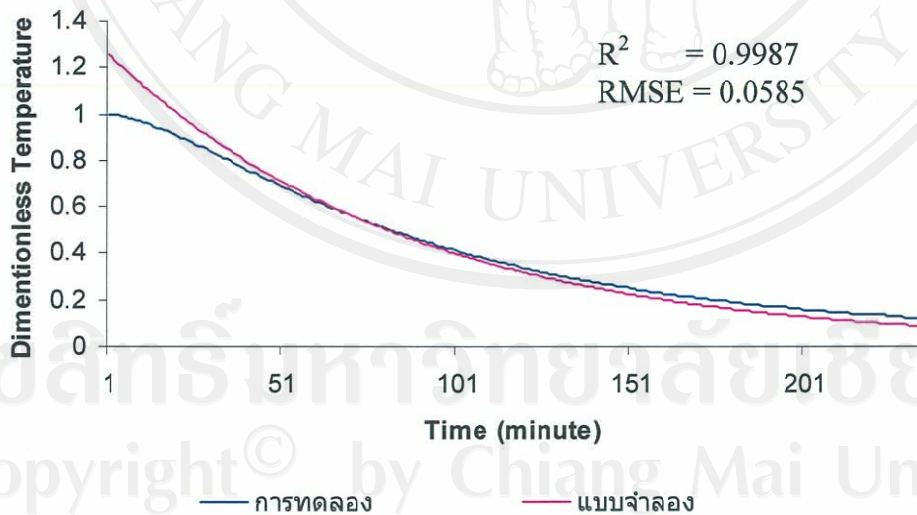
รูปที่ ค 37. การเปรียบเทียบค่าความคลาดเคลื่อนระหว่าง dimensionless temperature จากการคำนวณของแบบจำลองทางคณิตศาสตร์และจากการทดลองของฝักกาดชาวป्ली ในการลดอุณหภูมิโดยการลดขนาดของผ้าใบจากหัววัดที่ 5 ในการทดลองครั้งที่ 2



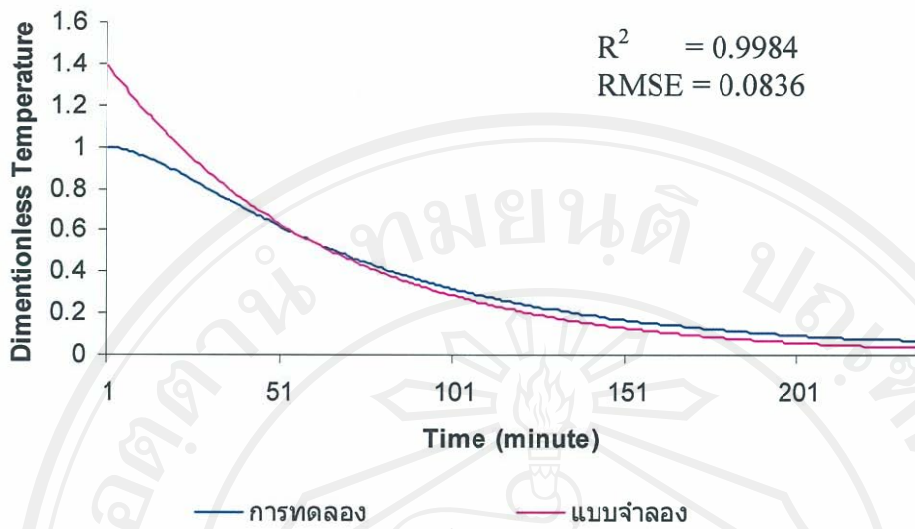
รูปที่ ค 38. การเปรียบเทียบค่าความคลาดเคลื่อนระหว่าง dimensionless temperature จากการคำนวณของแบบจำลองทางคณิตศาสตร์และจากการทดลองของฝักกาดชาวป्ली ในการลดอุณหภูมิโดยการลดขนาดของผ้าใบจากหัววัดที่ 6 ในการทดลองครั้งที่ 2



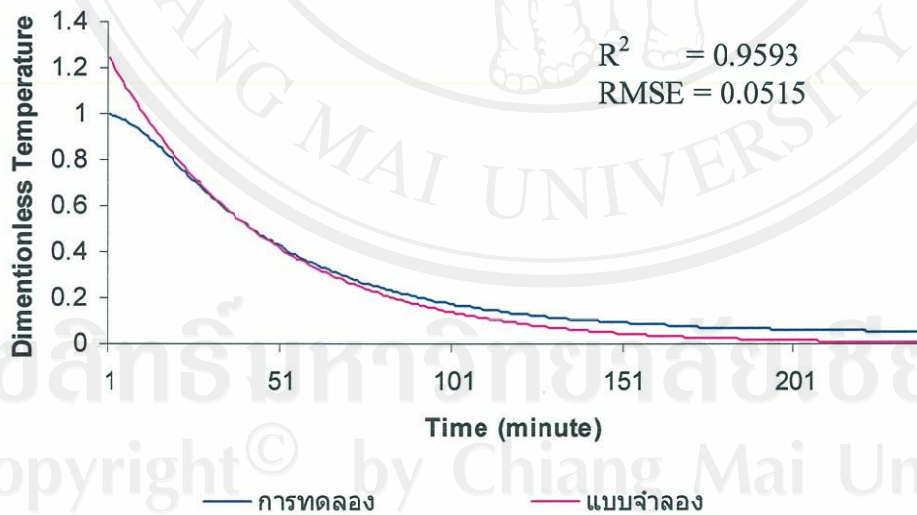
รูปที่ ค 39. การเปรียบเทียบค่าความคลาดเคลื่อนระหว่าง dimensionless temperature จากการคำนวณของแบบจำลองทางคณิตศาสตร์และจากการทดลองของฝักกาดชาวปติ ในการลดอุณหภูมิโดยการเพิ่มพื้นที่เปิดของตะกร้าจากหัววัดที่ 1 ในการทดลองครั้งที่ 1



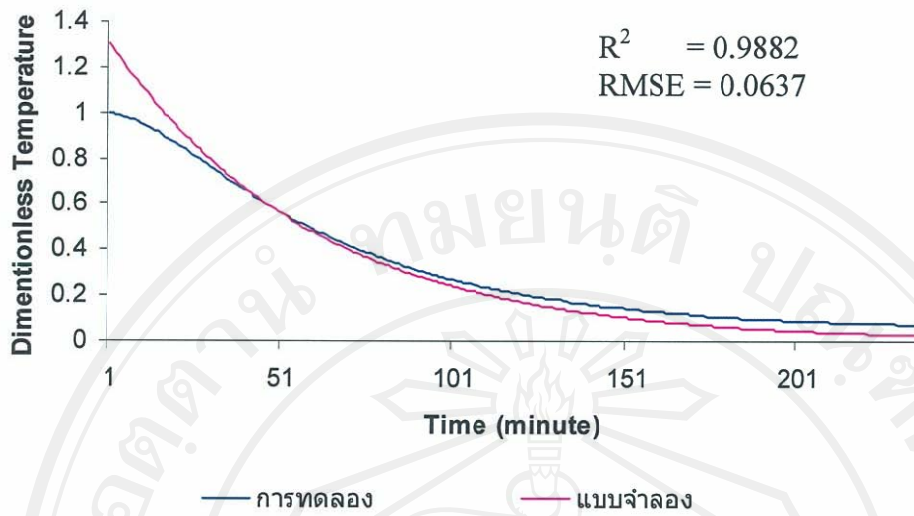
รูปที่ ค 40. การเปรียบเทียบค่าความคลาดเคลื่อนระหว่าง dimensionless temperature จากการคำนวณของแบบจำลองทางคณิตศาสตร์และจากการทดลองของฝักกาดชาวปติ ในการลดอุณหภูมิโดยการเพิ่มพื้นที่เปิดของตะกร้าจากหัววัดที่ 2 ในการทดลองครั้งที่ 1



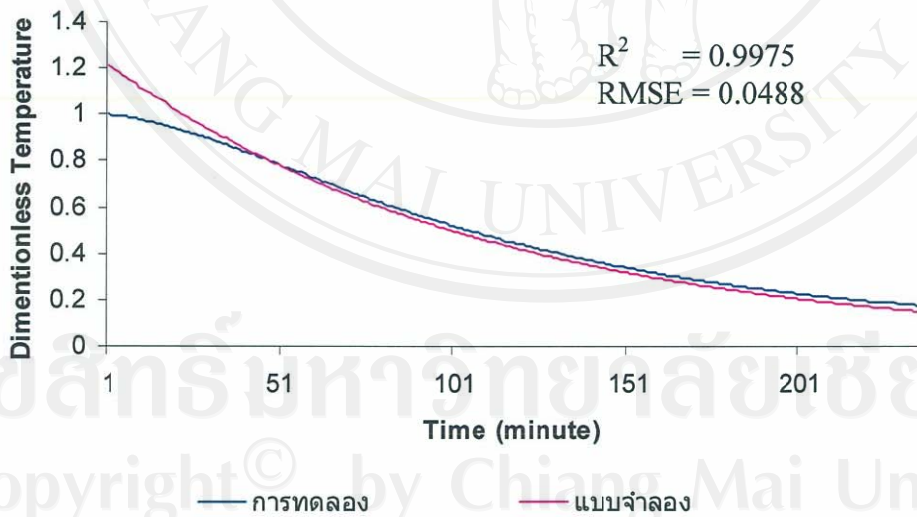
รูปที่ ค 41. การเปรียบเทียบค่าความคลาดเคลื่อนระหว่าง dimensionless temperature จากการคำนวณของแบบจำลองทางคณิตศาสตร์และจากการทดลองของฝักกาดชาวปาลี ในการลดอุณหภูมิโดยการเพิ่มพื้นที่เปิดของตะกร้าจากหัววัดที่ 3 ในการทดลองครั้งที่ 1



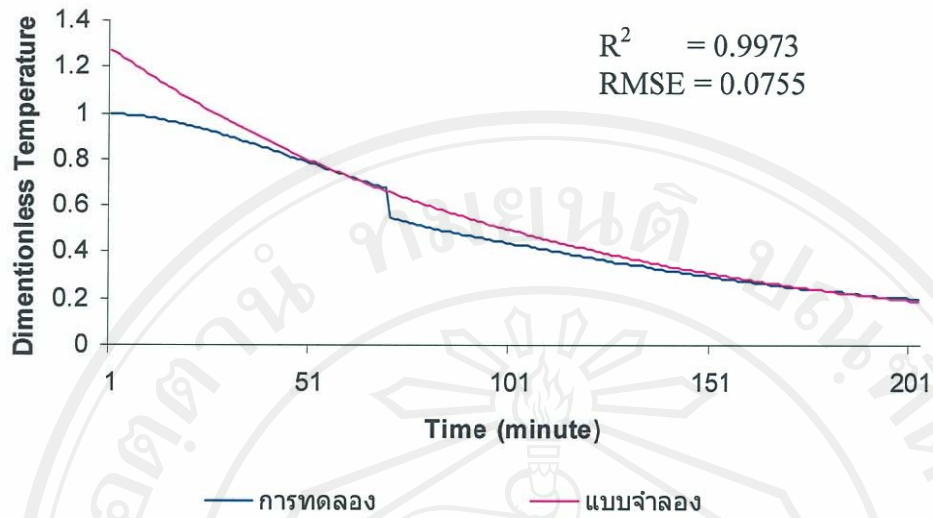
รูปที่ ค 42. การเปรียบเทียบค่าความคลาดเคลื่อนระหว่าง dimensionless temperature จากการคำนวณของแบบจำลองทางคณิตศาสตร์และจากการทดลองของฝักกาดชาวปาลี ในการลดอุณหภูมิโดยการเพิ่มพื้นที่เปิดของตะกร้าจากหัววัดที่ 4 ในการทดลองครั้งที่ 1



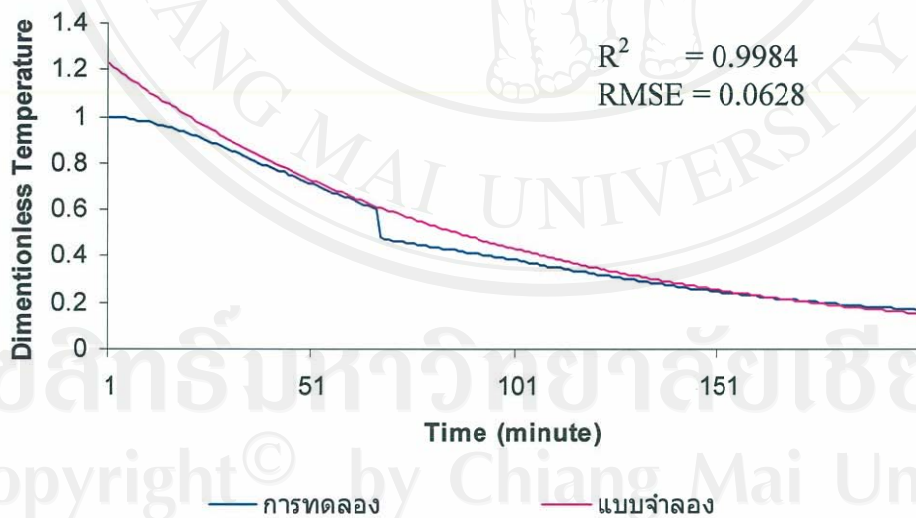
รูปที่ ค 43. การเปรียบเทียบค่าความคลาดเคลื่อนระหว่าง dimentionless temperature จากการคำนวณของแบบจำลองทางคณิตศาสตร์และจากการทดลองของฝักกาดชาวปดี ในการลดอุณหภูมิโดยการเพิ่มพื้นที่เปิดของตะกร้าจากหัววัดที่ 5 ในการทดลองครั้งที่ 1



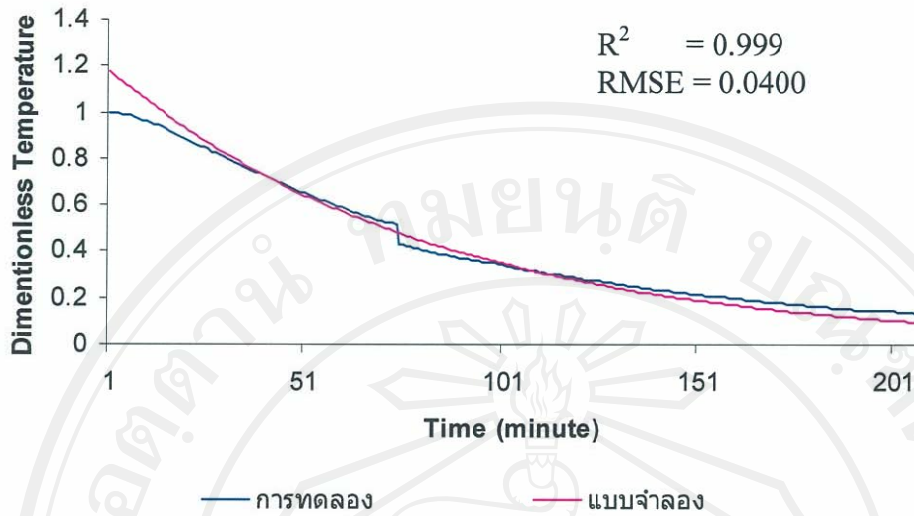
รูปที่ ค 44. การเปรียบเทียบค่าความคลาดเคลื่อนระหว่าง dimentionless temperature จากการคำนวณของแบบจำลองทางคณิตศาสตร์และจากการทดลองของฝักกาดชาวปดี ในการลดอุณหภูมิโดยการเพิ่มพื้นที่เปิดของตะกร้าจากหัววัดที่ 6 ในการทดลองครั้งที่ 1



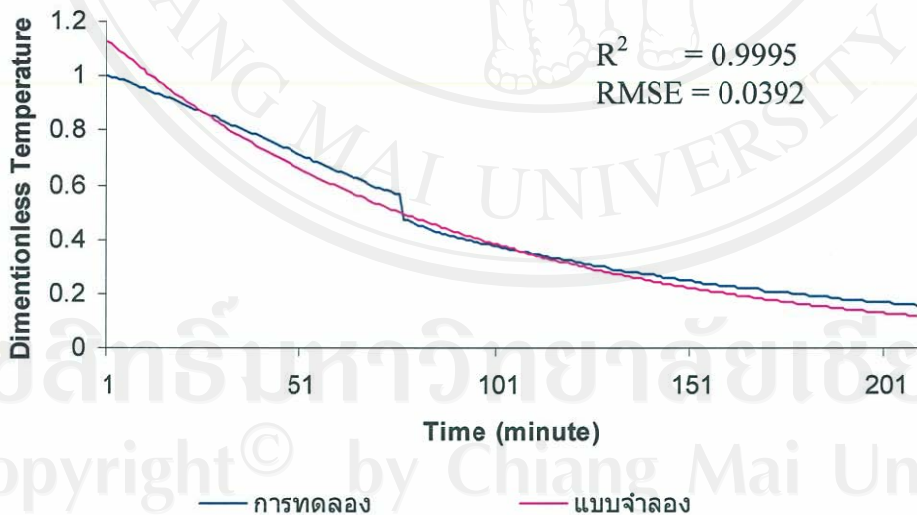
รูปที่ ค 45. การเปรียบเทียบค่าความคลาดเคลื่อนระหว่าง dimentionless temperature จากการคำนวณของแบบจำลองทางคณิตศาสตร์และจากการทดลองของฝักกาดชาวปดี ในการลดอุณหภูมิโดยการเพิ่มพื้นที่เปิดของตะกร้าจากหัววัดที่ 1 ในการทดลองครั้งที่ 2



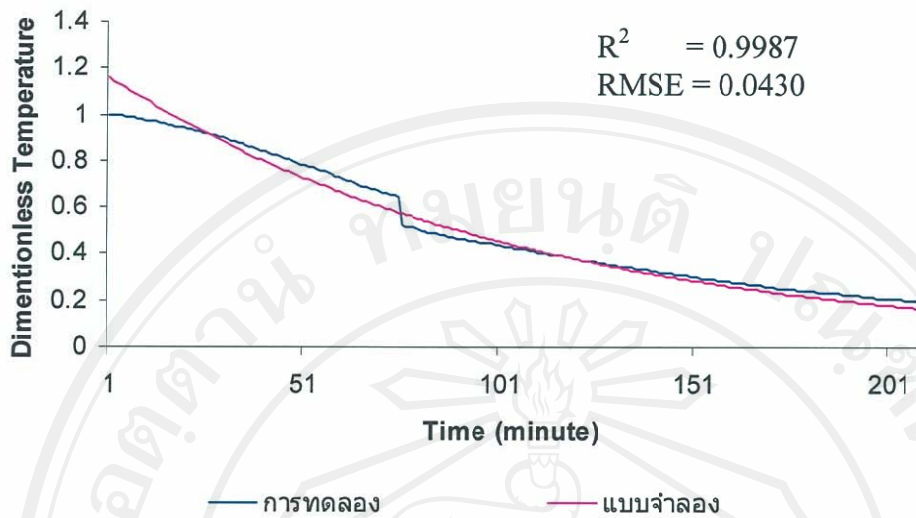
รูปที่ ค 46. การเปรียบเทียบค่าความคลาดเคลื่อนระหว่าง dimentionless temperature จากการคำนวณของแบบจำลองทางคณิตศาสตร์และจากการทดลองของฝักกาดชาวปดี ในการลดอุณหภูมิโดยการเพิ่มพื้นที่เปิดของตะกร้าจากหัววัดที่ 2 ในการทดลองครั้งที่ 2



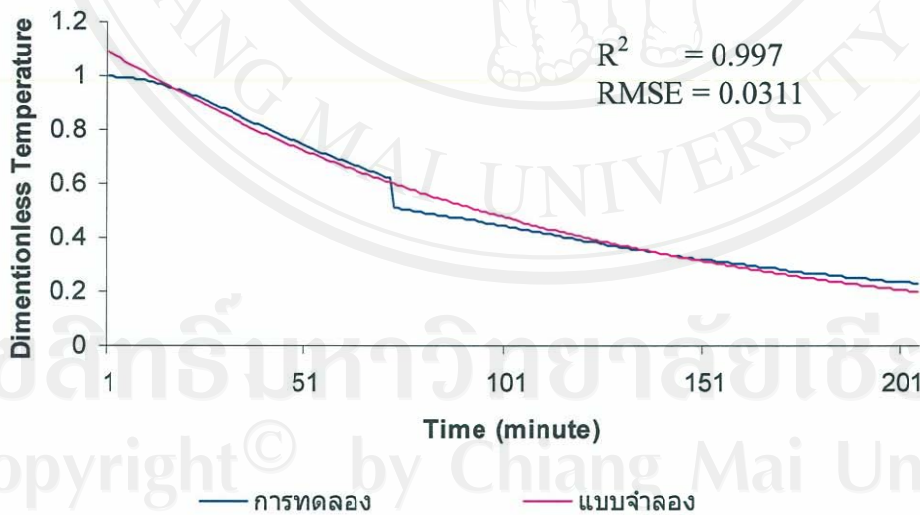
รูปที่ ค 47. การเปรียบเทียบค่าความคลาดเคลื่อนระหว่าง dimensionless temperature จากการคำนวณของแบบจำลองทางคณิตศาสตร์และจากการทดลองของผักกาดขาวปลี ในการลดอุณหภูมิโดยการเพิ่มพื้นที่เปิดของตะกร้าจากหัววัดที่ 3 ในการทดลองครั้งที่ 2



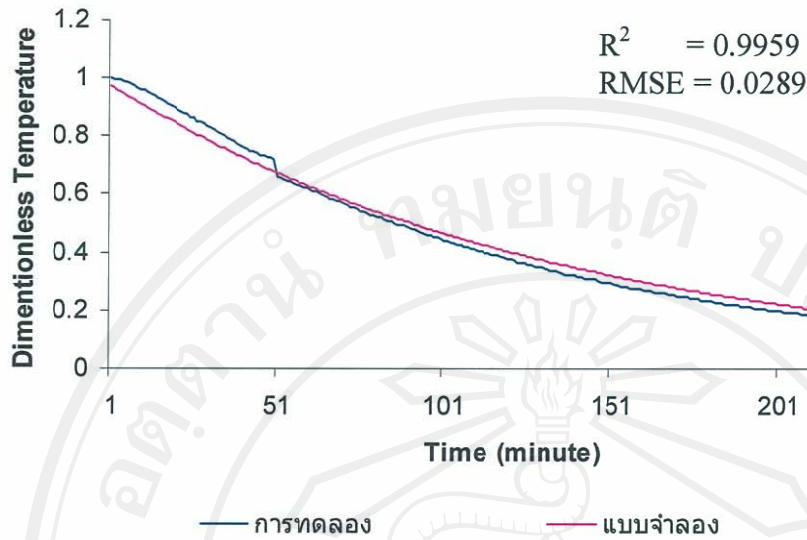
รูปที่ ค 48. การเปรียบเทียบค่าความคลาดเคลื่อนระหว่าง dimensionless temperature จากการคำนวณของแบบจำลองทางคณิตศาสตร์และจากการทดลองของผักกาดขาวปลี ในการลดอุณหภูมิโดยการเพิ่มพื้นที่เปิดของตะกร้าจากหัววัดที่ 4 ในการทดลองครั้งที่ 2



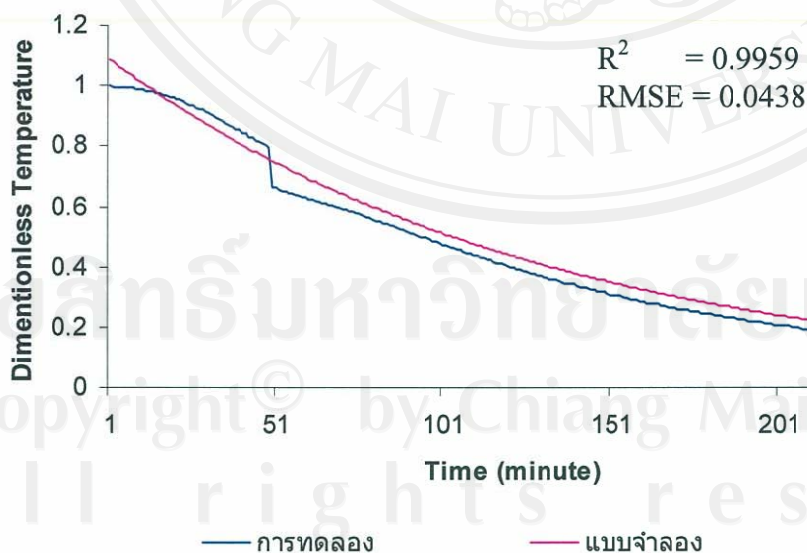
รูปที่ ค 49. การเปรียบเทียบค่าความคลาดเคลื่อนระหว่าง dimensionless temperature จากการคำนวณของแบบจำลองทางคณิตศาสตร์และจากการทดลองของฝักกาดชาวปดี ในการลดอุณหภูมิโดยการเพิ่มพื้นที่เปิดของตะกร้าจากหัววัดที่ 5 ในการทดลองครั้งที่ 2



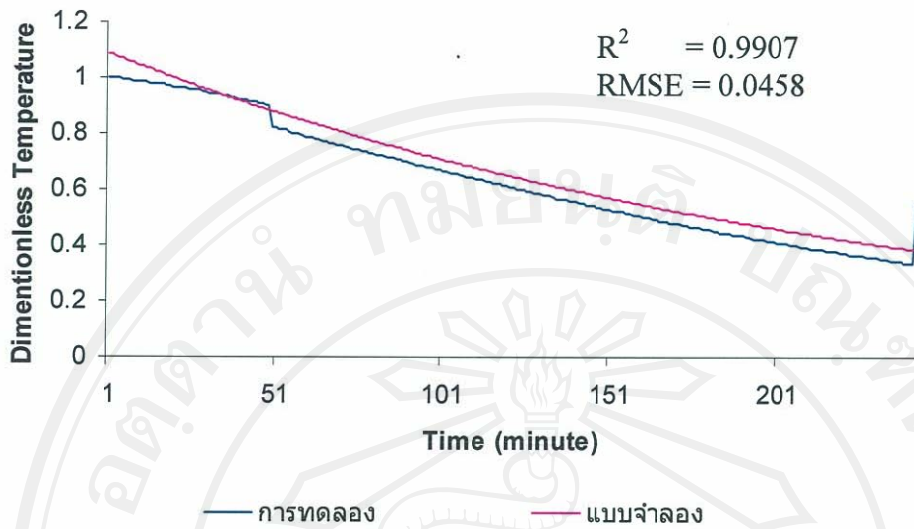
รูปที่ ค 50. การเปรียบเทียบค่าความคลาดเคลื่อนระหว่าง dimensionless temperature จากการคำนวณของแบบจำลองทางคณิตศาสตร์และจากการทดลองของฝักกาดชาวปดี ในการลดอุณหภูมิโดยการเพิ่มพื้นที่เปิดของตะกร้าจากหัววัดที่ 6 ในการทดลองครั้งที่ 2



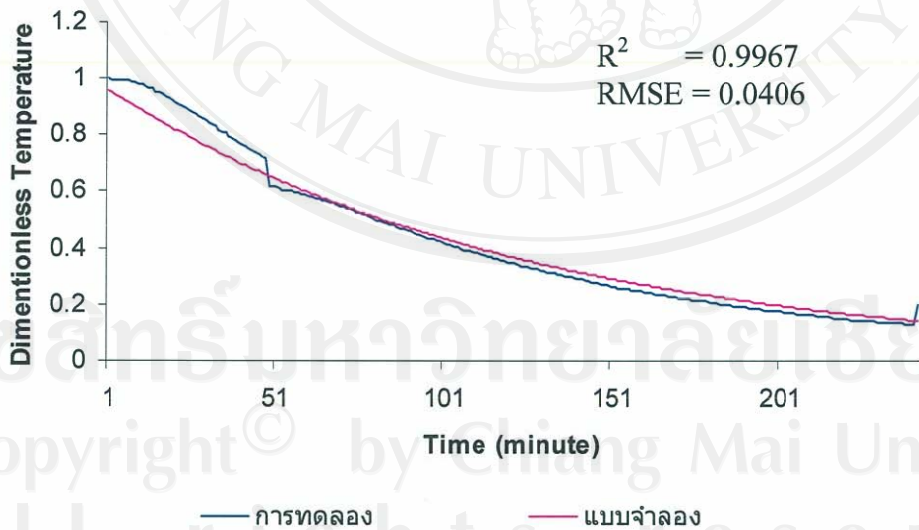
รูปที่ ค 51. การเปรียบเทียบค่าความคลาดเคลื่อนระหว่าง dimensionless temperature จากการคำนวณของแบบจำลองทางคณิตศาสตร์และจากการทดลองของผักกาดหางหงษ์ในการลดอุณหภูมิโดยวิธีที่ใช้ในปัจจุบันจากหัววัดที่ 1 ในการทดลองครั้งที่ 1



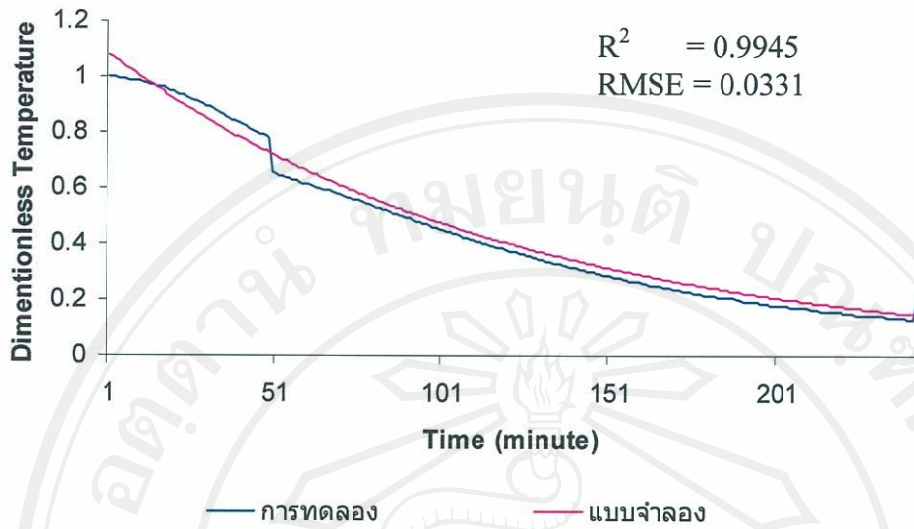
รูปที่ ค 52. การเปรียบเทียบค่าความคลาดเคลื่อนระหว่าง dimensionless temperature จากการคำนวณของแบบจำลองทางคณิตศาสตร์และจากการทดลองของผักกาดหางหงษ์ในการลดอุณหภูมิโดยวิธีที่ใช้ในปัจจุบันจากหัววัดที่ 2 ในการทดลองครั้งที่ 1



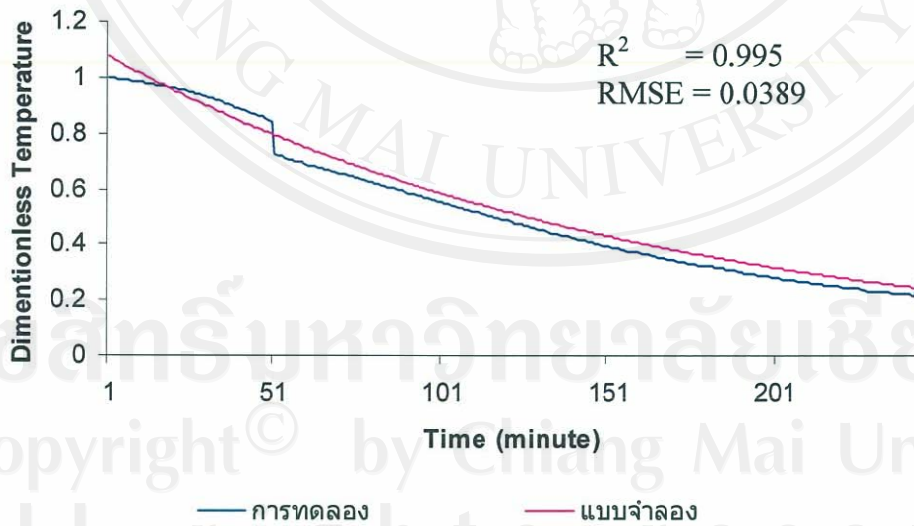
รูปที่ ค 53. การเปรียบเทียบค่าความคลาดเคลื่อนระหว่าง dimensionless temperature จากการคำนวณของแบบจำลองทางคณิตศาสตร์และจากการทดลองของฝักกาด หางหงษ์ในการลดอุณหภูมิโดยวิธีที่ใช้ในปัจจุบันจากหัววัดที่ 3 ในการทดลองครั้งที่ 1



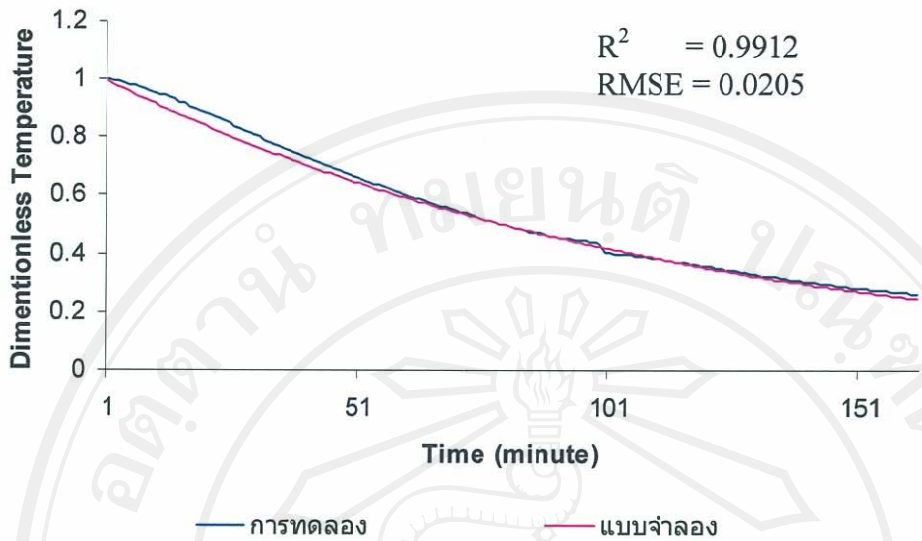
รูปที่ ค 54. การเปรียบเทียบค่าความคลาดเคลื่อนระหว่าง dimensionless temperature จากการคำนวณของแบบจำลองทางคณิตศาสตร์และจากการทดลองของฝักกาด หางหงษ์ในการลดอุณหภูมิโดยวิธีที่ใช้ในปัจจุบันจากหัววัดที่ 4 ในการทดลองครั้งที่ 1



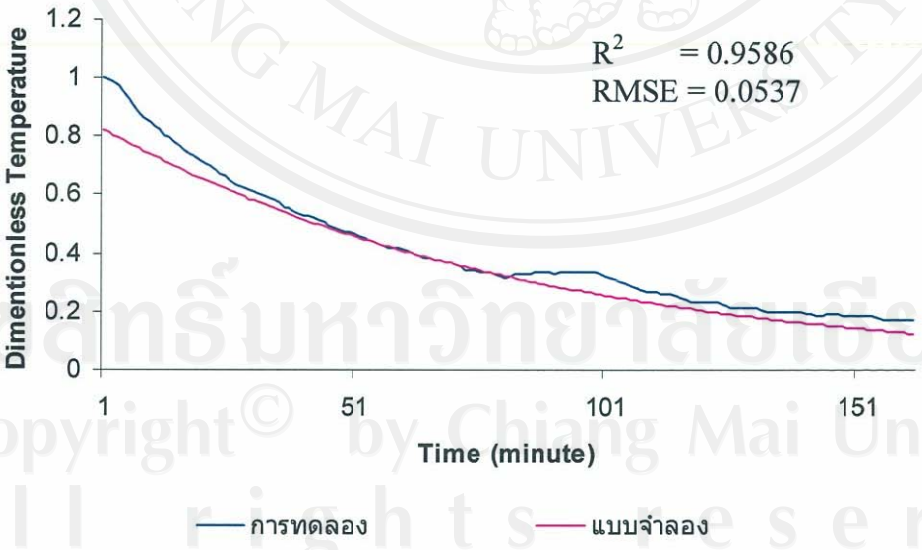
รูปที่ ค 55. การเปรียบเทียบค่าความคลาดเคลื่อนระหว่าง dimentionless temperature จากการคำนวณของแบบจำลองทางคณิตศาสตร์และจากการทดลองของฝักกาด หางหงษ์ในการลดอุณหภูมิโดยวิธีที่ใช้ในปัจจุบันจากหัววัดที่ 5 ในการทดลองครั้งที่ 1



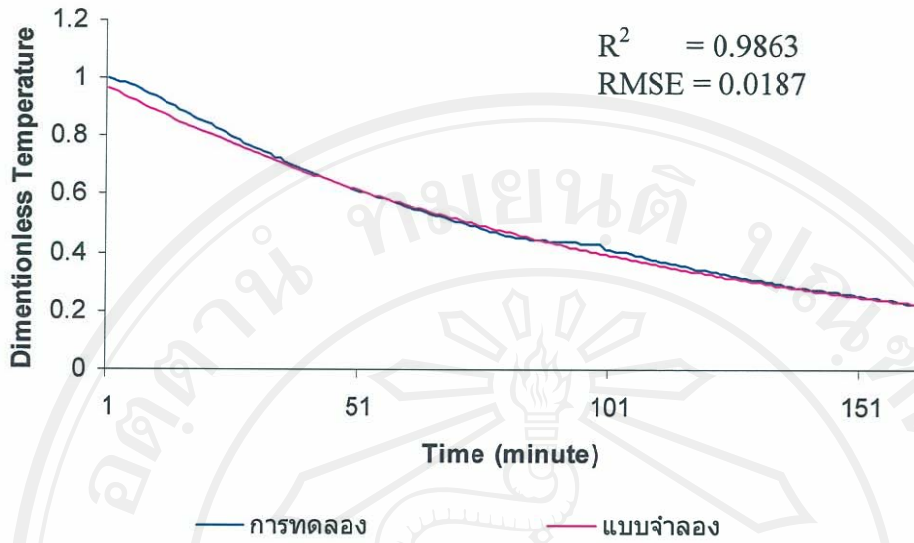
รูปที่ ค 56. การเปรียบเทียบค่าความคลาดเคลื่อนระหว่าง dimentionless temperature จากการคำนวณของแบบจำลองทางคณิตศาสตร์และจากการทดลองของฝักกาด หางหงษ์ในการลดอุณหภูมิโดยวิธีที่ใช้ในปัจจุบันจากหัววัดที่ 6 ในการทดลองครั้งที่ 1



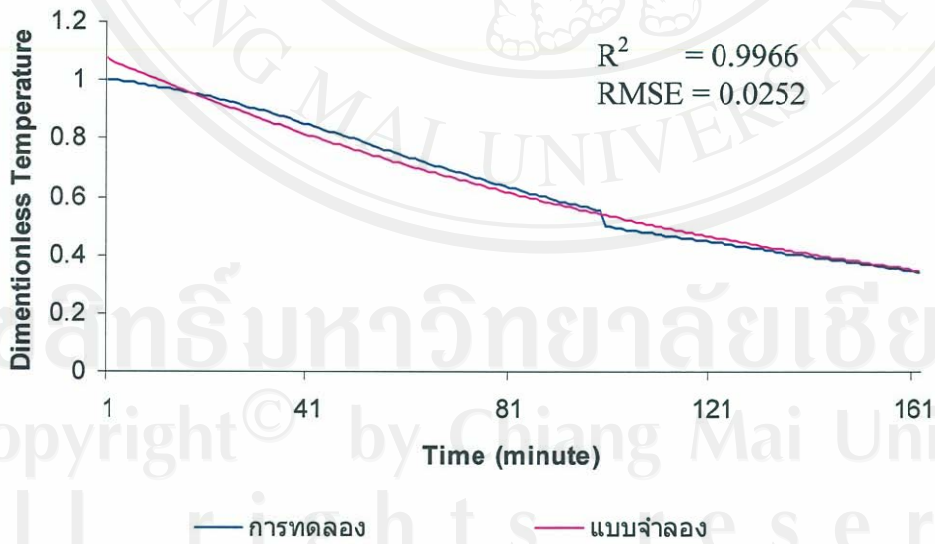
รูปที่ ค 57. การเปรียบเทียบค่าความคลาดเคลื่อนระหว่าง dimentionless temperature จากการคำนวณของแบบจำลองทางคณิตศาสตร์และจากการทดลองของฝักกาด หางหงษ์ในการลดอุณหภูมิโดยวิธีที่ใช้ในปัจจุบันจากหัววัดที่ 3 ในการทดลองครั้งที่ 2



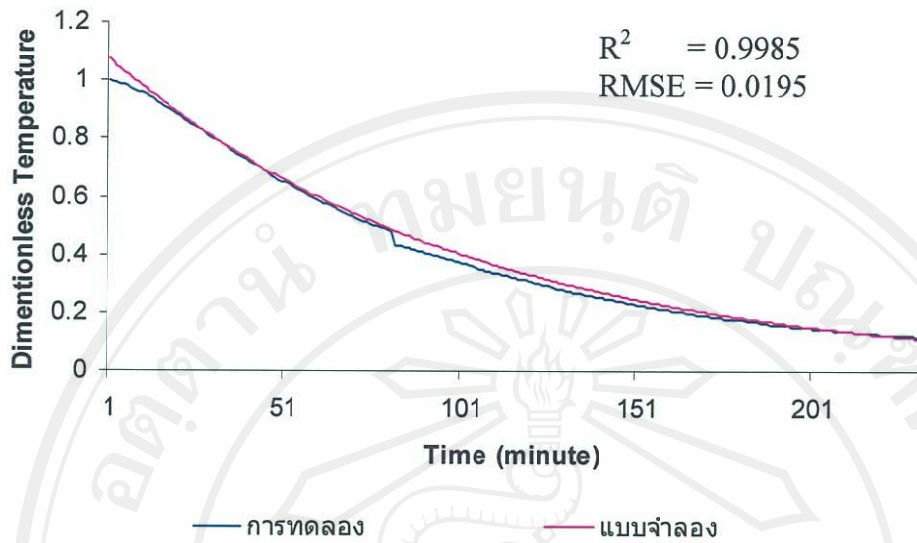
รูปที่ ค 58. การเปรียบเทียบค่าความคลาดเคลื่อนระหว่าง dimentionless temperature จากการคำนวณของแบบจำลองทางคณิตศาสตร์และจากการทดลองของฝักกาด หางหงษ์ในการลดอุณหภูมิโดยวิธีที่ใช้ในปัจจุบันจากหัววัดที่ 4 ในการทดลองครั้งที่ 2



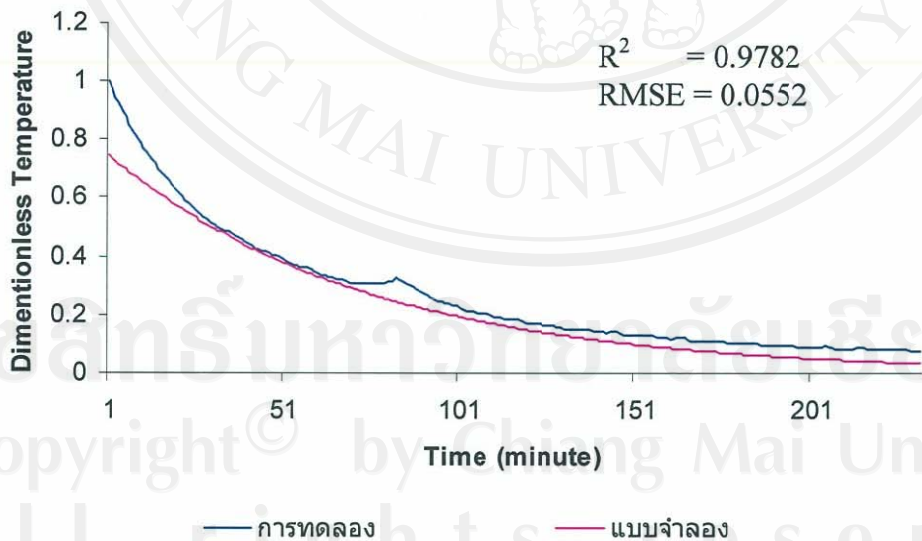
รูปที่ ค 59. การเปรียบเทียบค่าความคลาดเคลื่อนระหว่าง dimensionless temperature จากการคำนวณของแบบจำลองทางคณิตศาสตร์และจากการทดลองของฝักกาด หางหงษ์ในการลดอุณหภูมิโดยวิธีที่ใช้ในปัจจุบันจากหัววัดที่ 5 ในการทดลองครั้งที่ 2



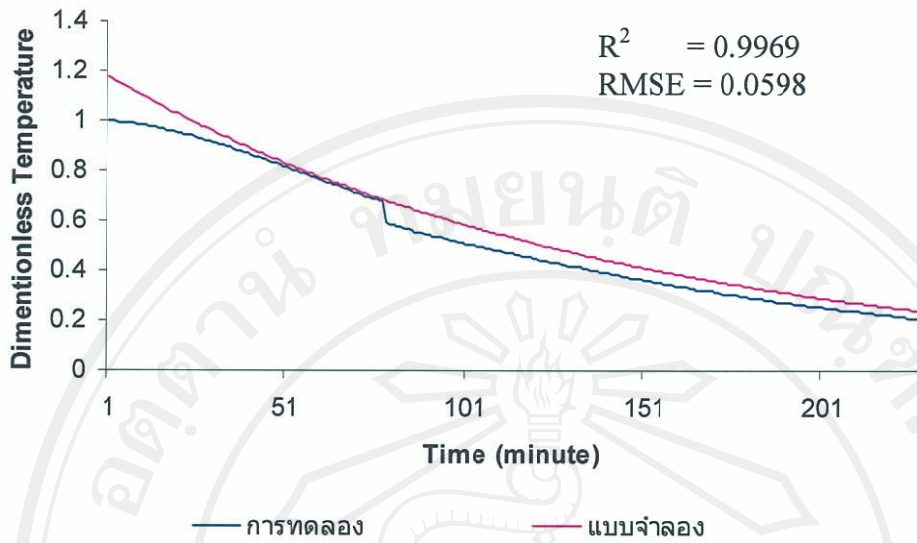
รูปที่ ค 60. การเปรียบเทียบค่าความคลาดเคลื่อนระหว่าง dimensionless temperature จากการคำนวณของแบบจำลองทางคณิตศาสตร์และจากการทดลองของฝักกาด หางหงษ์ในการลดอุณหภูมิโดยวิธีที่ใช้ในปัจจุบันจากหัววัดที่ 6 ในการทดลองครั้งที่ 2



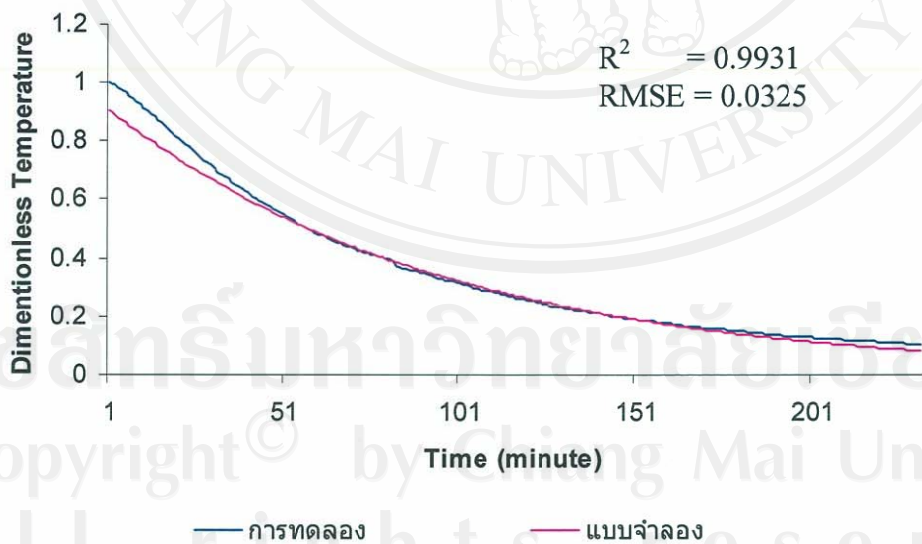
รูปที่ ค 61. การเปรียบเทียบค่าความคลาดเคลื่อนระหว่าง dimentionless temperature จากการคำนวณของแบบจำลองทางคณิตศาสตร์และจากการทดลองของฝักกาด หางหงษ์ในการลดอุณหภูมิโดยการลดขนาดของผ้าใบจากหัววัดที่ 1 ในการทดลองครั้งที่ 1



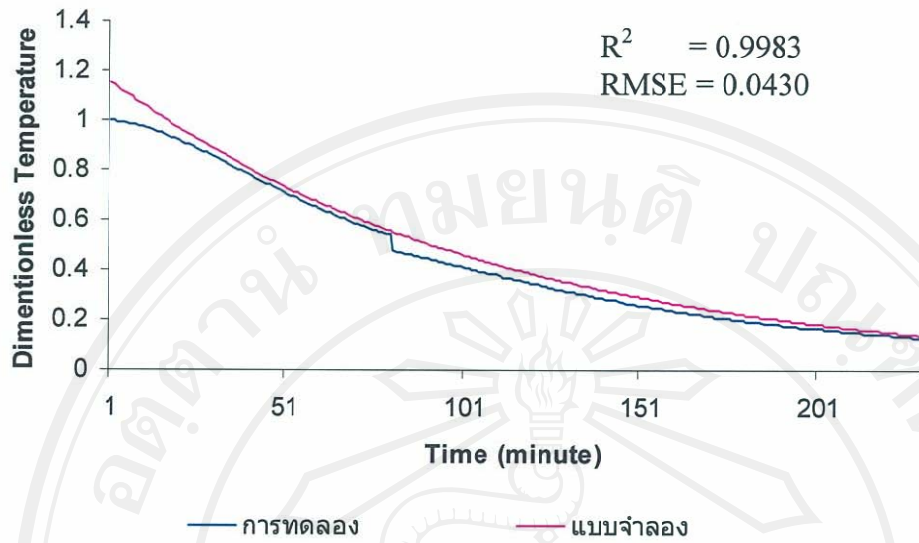
รูปที่ ค 62. การเปรียบเทียบค่าความคลาดเคลื่อนระหว่าง dimentionless temperature จากการคำนวณของแบบจำลองทางคณิตศาสตร์และจากการทดลองของฝักกาด หางหงษ์ในการลดอุณหภูมิโดยการลดขนาดของผ้าใบจากหัววัดที่ 2 ในการทดลองครั้งที่ 1



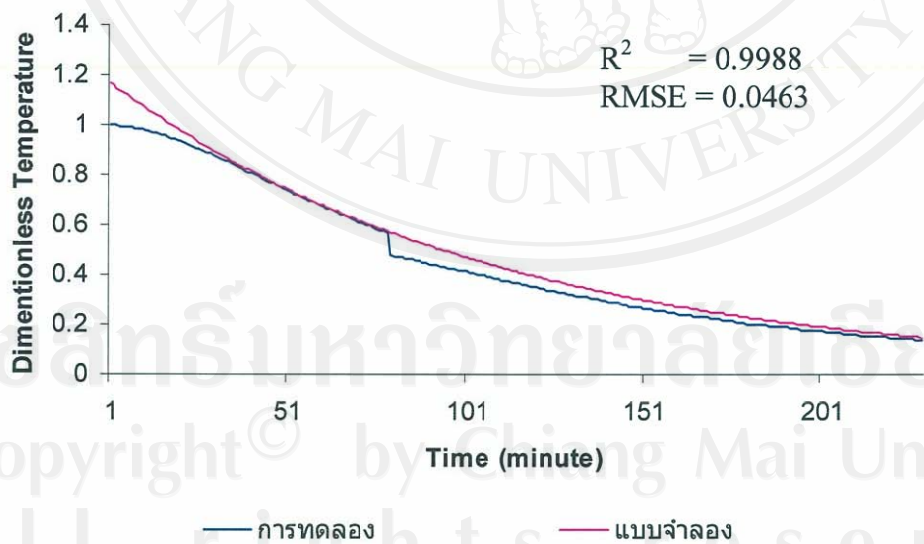
รูปที่ ค 63. การเปรียบเทียบค่าความคลาดเคลื่อนระหว่าง dimensionless temperature จากการคำนวณของแบบจำลองทางคณิตศาสตร์และจากการทดลองของפקกาดหางหงษ์ในการลดอุณหภูมิโดยการลดขนาดของผ้าใบจากหัววัดที่ 3 ในการทดลองครั้งที่ 1



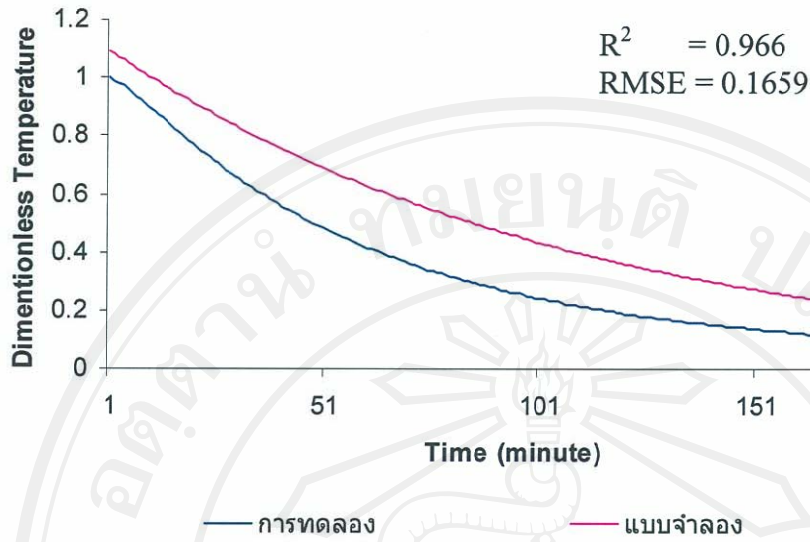
รูปที่ ค 64. การเปรียบเทียบค่าความคลาดเคลื่อนระหว่าง dimensionless temperature จากการคำนวณของแบบจำลองทางคณิตศาสตร์และจากการทดลองของפקกาดหางหงษ์ในการลดอุณหภูมิโดยการลดขนาดของผ้าใบจากหัววัดที่ 4 ในการทดลองครั้งที่ 1



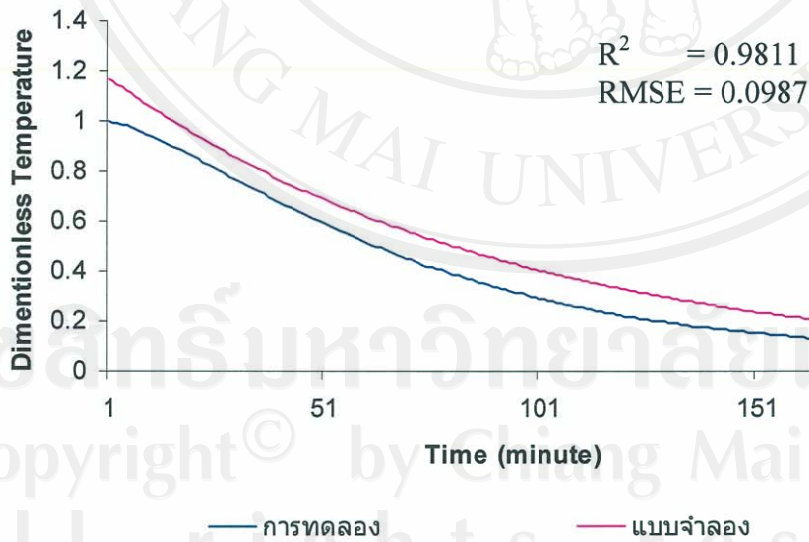
รูปที่ ค 65. การเปรียบเทียบค่าความคลาดเคลื่อนระหว่าง dimensionless temperature จากการคำนวณของแบบจำลองทางคณิตศาสตร์และจากการทดลองของฝักกาดหางหงษ์ในการลดอุณหภูมิโดยการลดขนาดของผ้าใบจากหัววัดที่ 5 ในการทดลองครั้งที่ 1



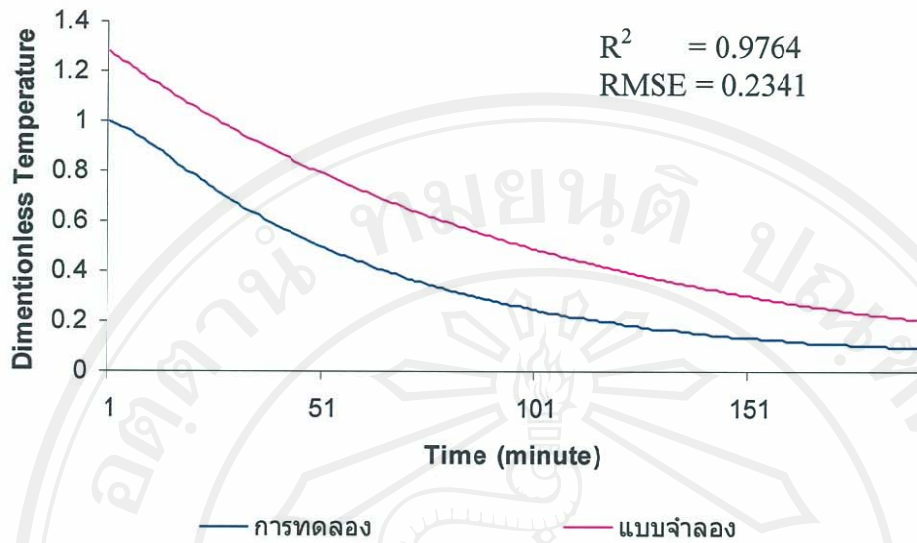
รูปที่ ค 66. การเปรียบเทียบค่าความคลาดเคลื่อนระหว่าง dimensionless temperature จากการคำนวณของแบบจำลองทางคณิตศาสตร์และจากการทดลองของฝักกาดหางหงษ์ในการลดอุณหภูมิโดยการลดขนาดของผ้าใบจากหัววัดที่ 6 ในการทดลองครั้งที่ 1



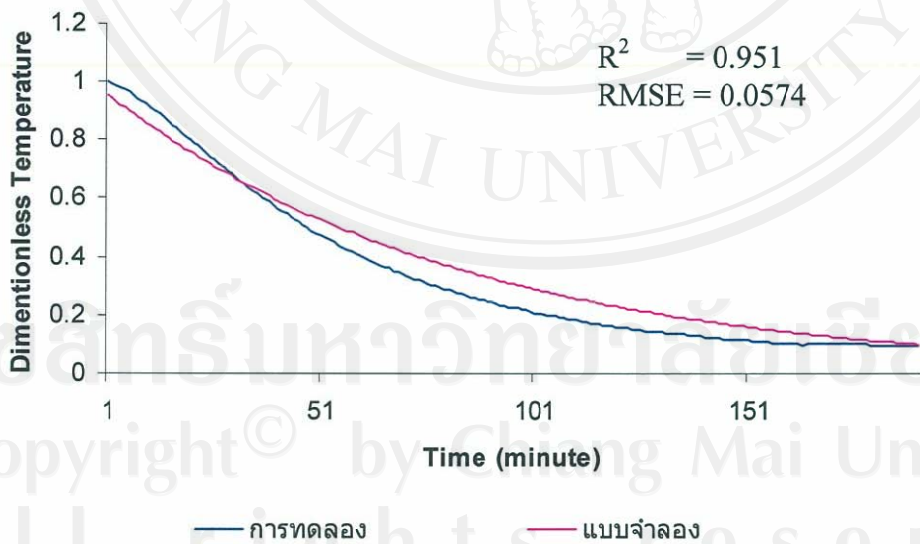
รูปที่ ค 67. การเปรียบเทียบค่าความคลาดเคลื่อนระหว่าง dimensionless temperature จากการคำนวณของแบบจำลองทางคณิตศาสตร์และจากการทดลองของפקกาดหางหงษ์ในการลดอุณหภูมิโดยการลดขนาดของผ้าใบจากหัววัดที่ 1 ในการทดลองครั้งที่ 2



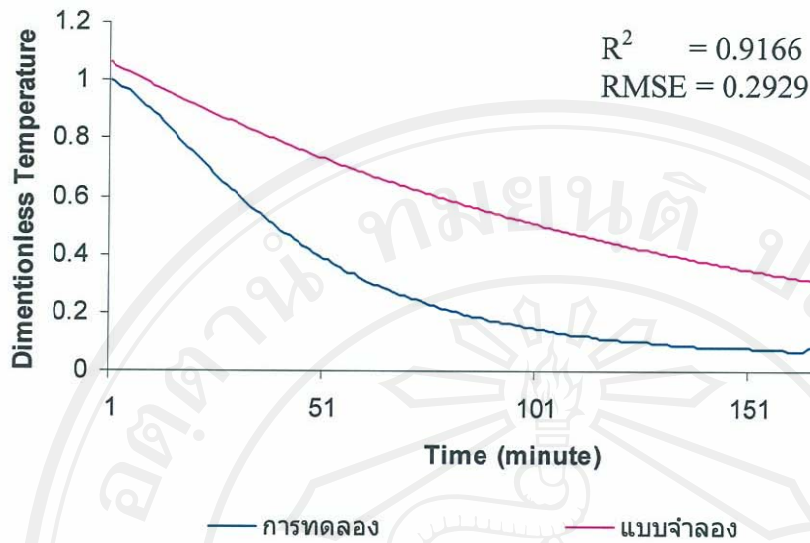
รูปที่ ค 68. การเปรียบเทียบค่าความคลาดเคลื่อนระหว่าง dimensionless temperature จากการคำนวณของแบบจำลองทางคณิตศาสตร์และจากการทดลองของפקกาดหางหงษ์ในการลดอุณหภูมิโดยการลดขนาดของผ้าใบจากหัววัดที่ 2 ในการทดลองครั้งที่ 2



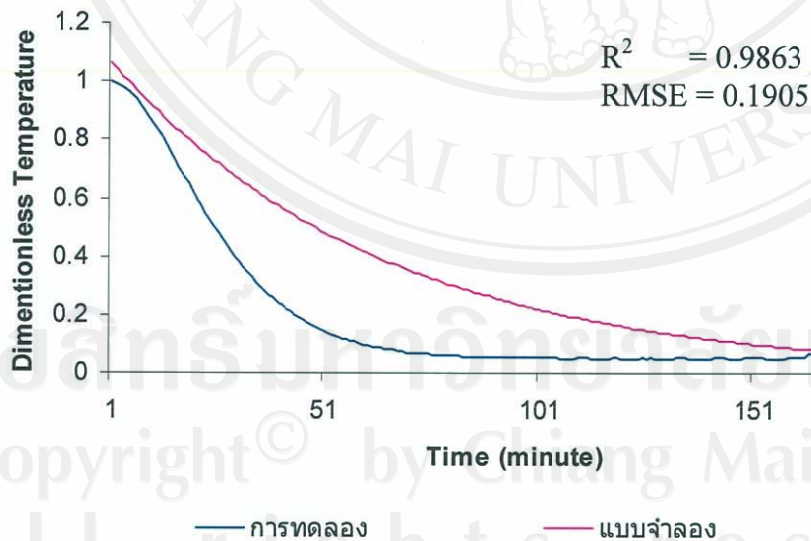
รูปที่ ค 69. การเปรียบเทียบค่าความคลาดเคลื่อนระหว่าง dimensionless temperature จากการคำนวณของแบบจำลองทางคณิตศาสตร์และจากการทดลองของฝักกาดหางหงษ์ในการลดอุณหภูมิโดยการลดขนาดของผ้าใบจากหัววัดที่ 3 ในการทดลองครั้งที่ 2



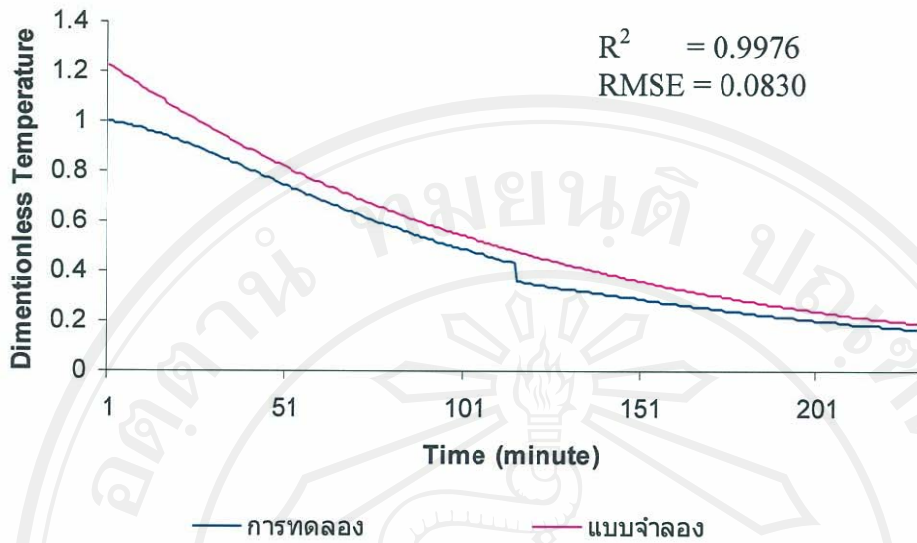
รูปที่ ค 70. การเปรียบเทียบค่าความคลาดเคลื่อนระหว่าง dimensionless temperature จากการคำนวณของแบบจำลองทางคณิตศาสตร์และจากการทดลองของฝักกาดหางหงษ์ในการลดอุณหภูมิโดยการลดขนาดของผ้าใบจากหัววัดที่ 4 ในการทดลองครั้งที่ 2



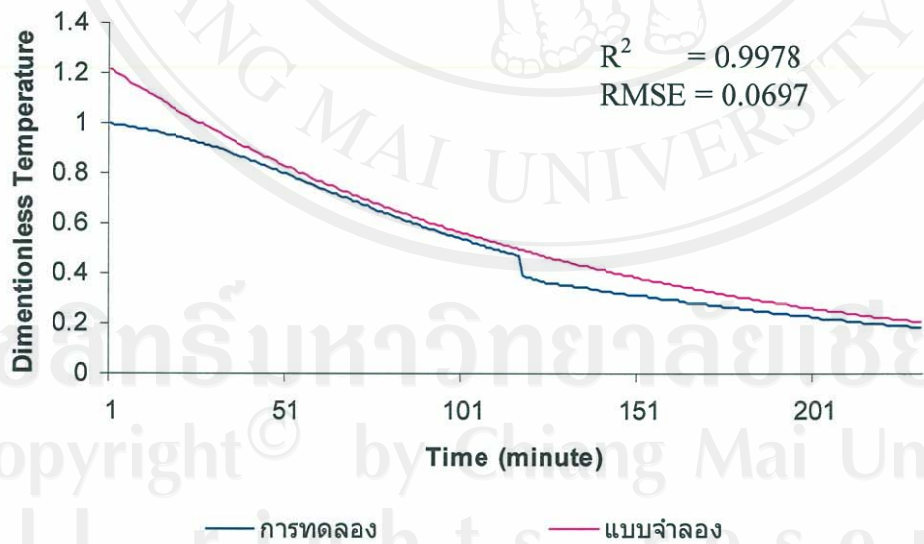
รูปที่ ค 71. การเปรียบเทียบค่าความคลาดเคลื่อนระหว่าง dimensionless temperature จากการคำนวณของแบบจำลองทางคณิตศาสตร์และจากการทดลองของฝักกาดหางหงษ์ในการลดอุณหภูมิโดยการลดขนาดของผ้าใบจากหัววัดที่ 5 ในการทดลองครั้งที่ 2



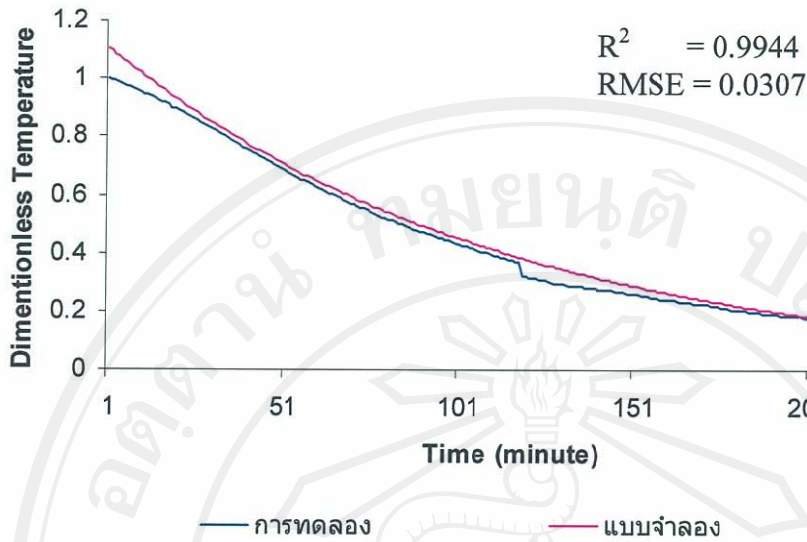
รูปที่ ค 72. การเปรียบเทียบค่าความคลาดเคลื่อนระหว่าง dimensionless temperature จากการคำนวณของแบบจำลองทางคณิตศาสตร์และจากการทดลองของฝักกาดหางหงษ์ในการลดอุณหภูมิโดยการลดขนาดของผ้าใบจากหัววัดที่ 6 ในการทดลองครั้งที่ 2



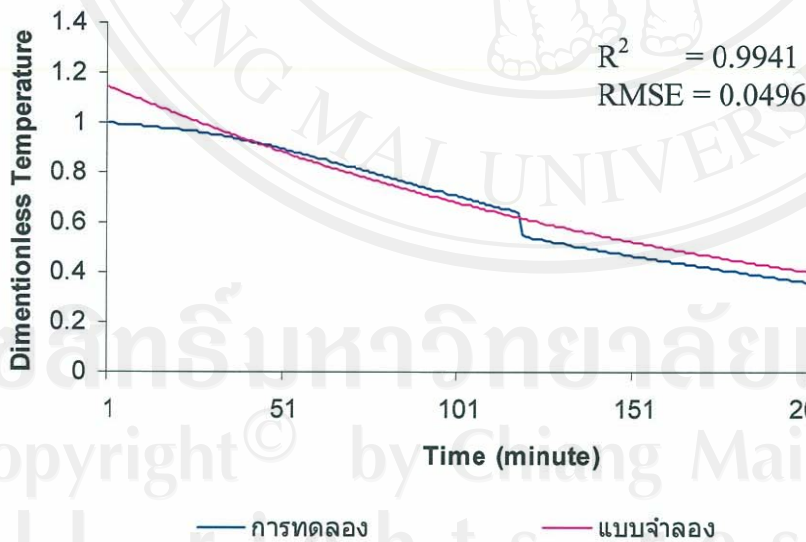
รูปที่ ค 73. การเปรียบเทียบค่าความคลาดเคลื่อนระหว่าง dimensionless temperature จากการคำนวณของแบบจำลองทางคณิตศาสตร์และจากการทดลองของฝักกาดหางหงษ์ ในการลดอุณหภูมิโดยการเพิ่มพื้นที่เปิดของตะกร้าจากหัววัดที่ 1 ในการทดลองครั้งที่ 1



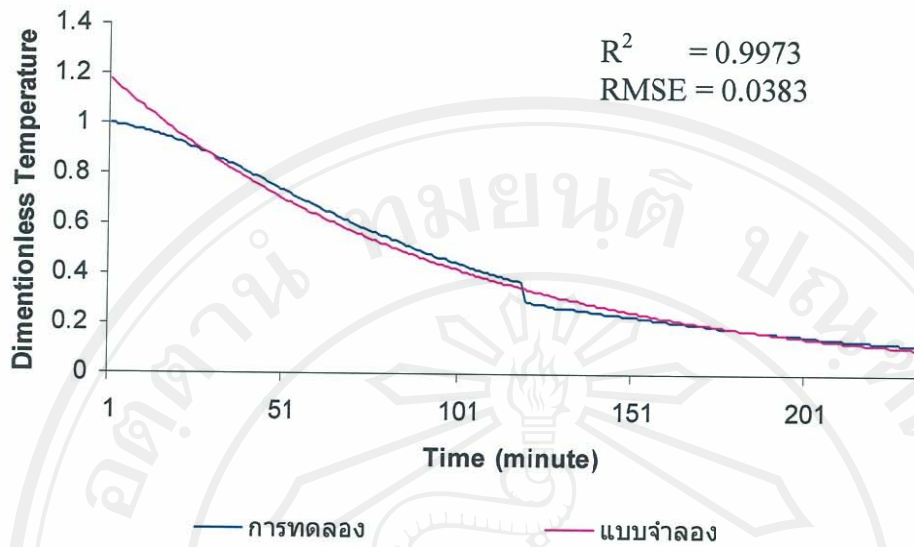
รูปที่ ค 74. การเปรียบเทียบค่าความคลาดเคลื่อนระหว่าง dimensionless temperature จากการคำนวณของแบบจำลองทางคณิตศาสตร์และจากการทดลองของฝักกาดหางหงษ์ ในการลดอุณหภูมิโดยการเพิ่มพื้นที่เปิดของตะกร้าจากหัววัดที่ 2 ในการทดลองครั้งที่ 1



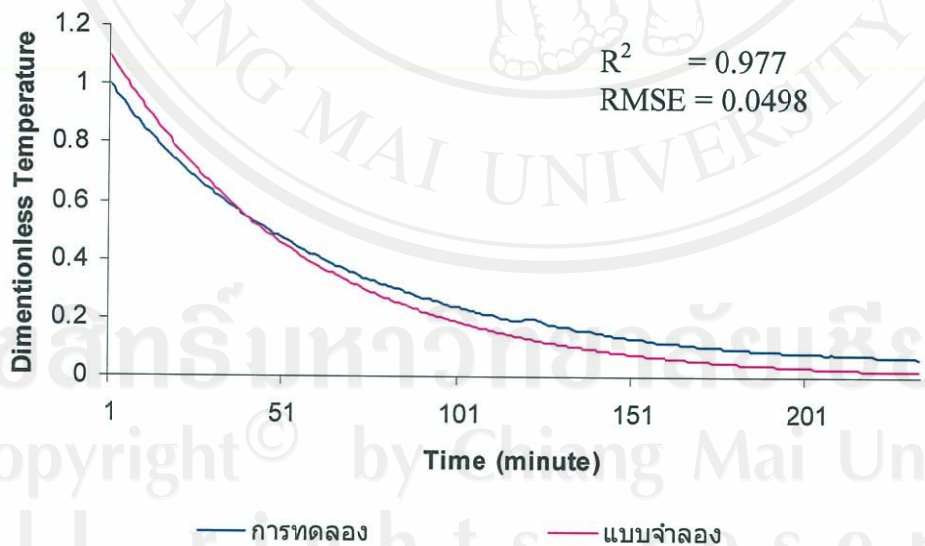
รูปที่ ค 75. การเปรียบเทียบค่าความคลาดเคลื่อนระหว่าง dimensionless temperature จากการคำนวณของแบบจำลองทางคณิตศาสตร์และจากการทดลองของฝักกาดหางหงษ์ ในการลดอุณหภูมิโดยการเพิ่มพื้นที่เปิดของตะกร้าจากหัววัดที่ 3 ในการทดลองครั้งที่ 1



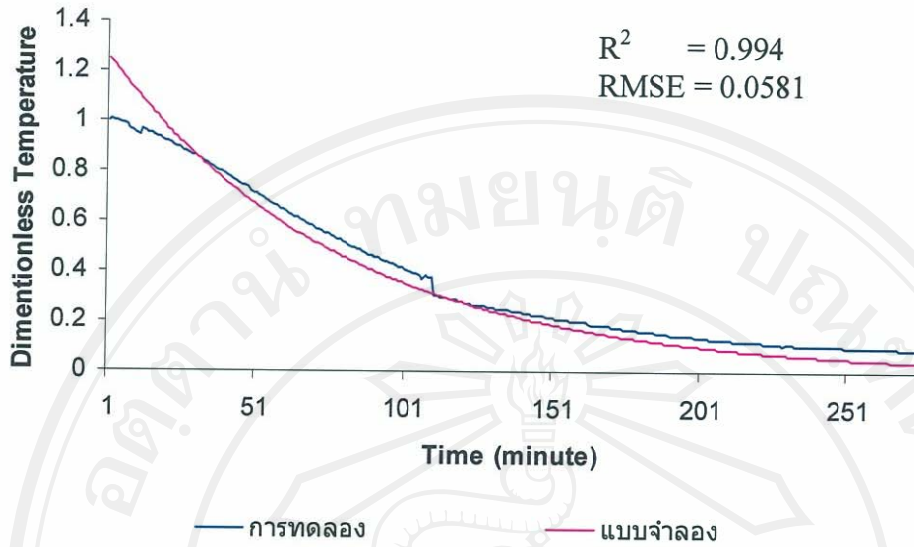
รูปที่ ค 76. การเปรียบเทียบค่าความคลาดเคลื่อนระหว่าง dimensionless temperature จากการคำนวณของแบบจำลองทางคณิตศาสตร์และจากการทดลองของฝักกาดหางหงษ์ ในการลดอุณหภูมิโดยการเพิ่มพื้นที่เปิดของตะกร้าจากหัววัดที่ 4 ในการทดลองครั้งที่ 1



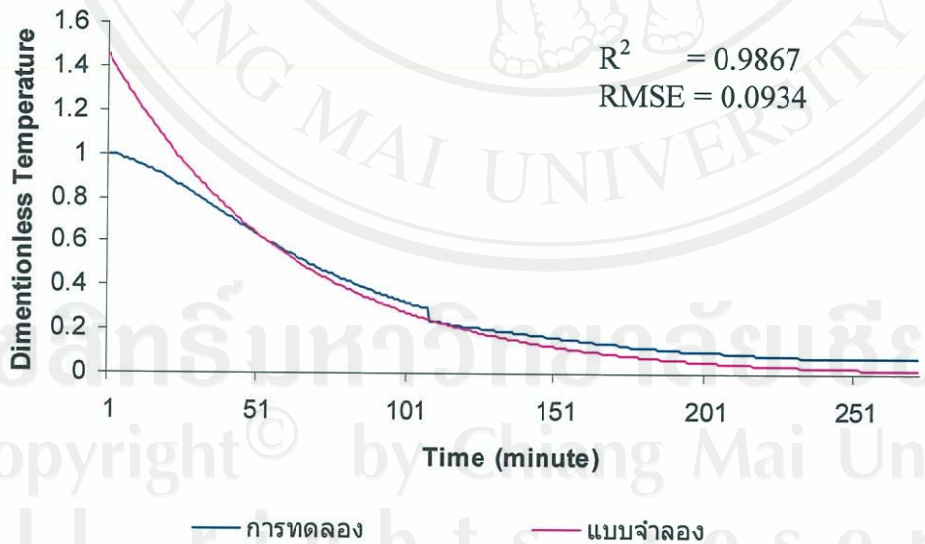
รูปที่ ค 77. การเปรียบเทียบค่าความคลาดเคลื่อนระหว่าง dimensionless temperature จากการคำนวณของแบบจำลองทางคณิตศาสตร์และจากการทดลองของฝักกาดหางหงษ์ ในการลดอุณหภูมิโดยการเพิ่มพื้นที่เปิดของตะกร้าจากหัววัดที่ 5 ในการทดลองครั้งที่ 1



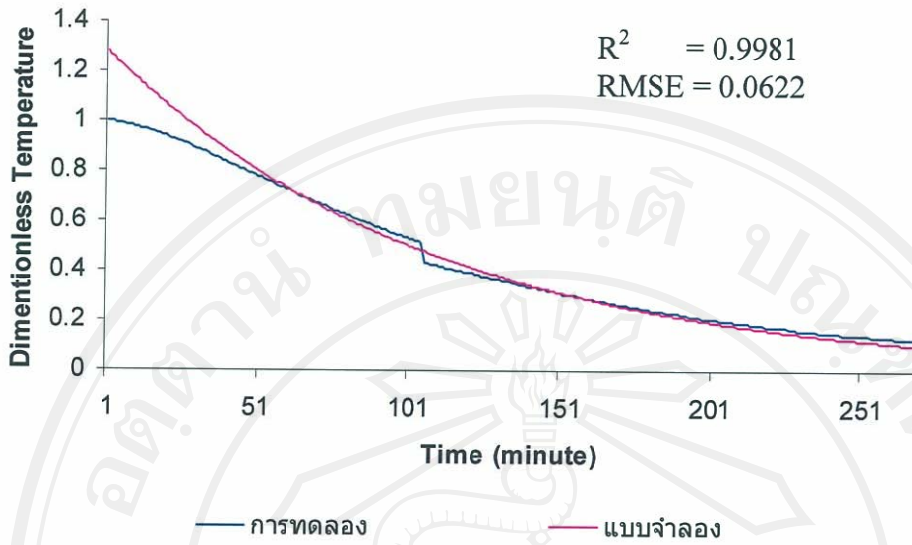
รูปที่ ค 78. การเปรียบเทียบค่าความคลาดเคลื่อนระหว่าง dimensionless temperature จากการคำนวณของแบบจำลองทางคณิตศาสตร์และจากการทดลองของฝักกาดหางหงษ์ ในการลดอุณหภูมิโดยการเพิ่มพื้นที่เปิดของตะกร้าจากหัววัดที่ 6 ในการทดลองครั้งที่ 1



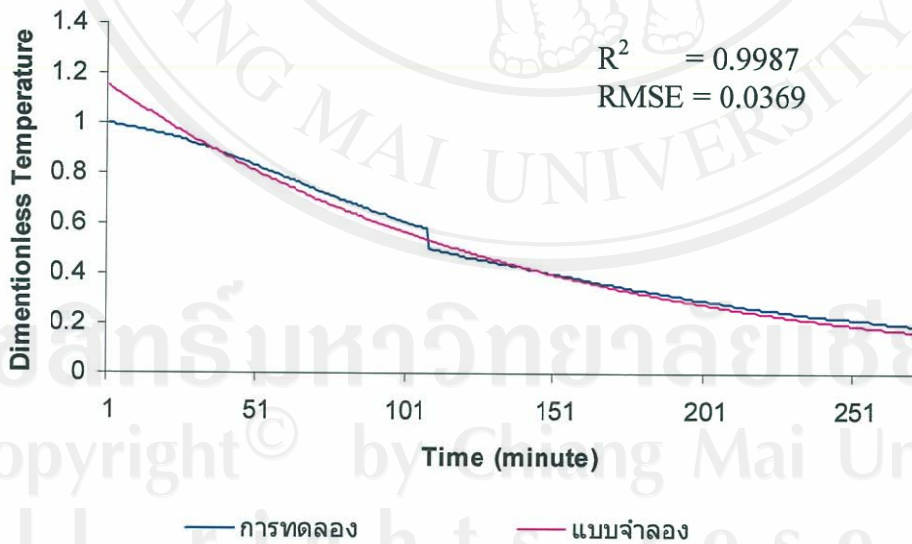
รูปที่ ค 79. การเปรียบเทียบค่าความคลาดเคลื่อนระหว่าง dimensionless temperature จากการคำนวณของแบบจำลองทางคณิตศาสตร์และจากการทดลองของผักกาดหางหงษ์ ในการลดอุณหภูมิโดยการเพิ่มพื้นที่เปิดของตะกร้าจากหัววัดที่ 1 ในการทดลองครั้งที่ 2



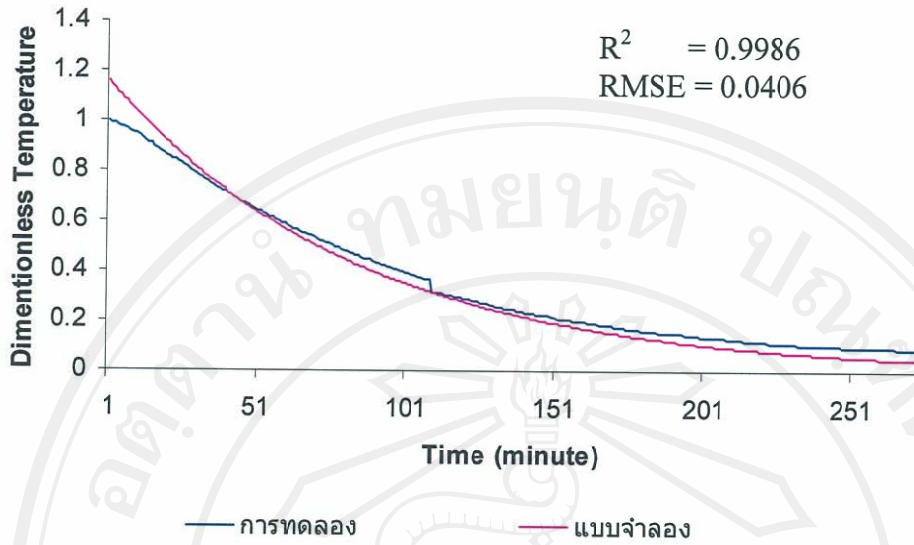
รูปที่ ค 80. การเปรียบเทียบค่าความคลาดเคลื่อนระหว่าง dimensionless temperature จากการคำนวณของแบบจำลองทางคณิตศาสตร์และจากการทดลองของผักกาดหางหงษ์ ในการลดอุณหภูมิโดยการเพิ่มพื้นที่เปิดของตะกร้าจากหัววัดที่ 2 ในการทดลองครั้งที่ 2



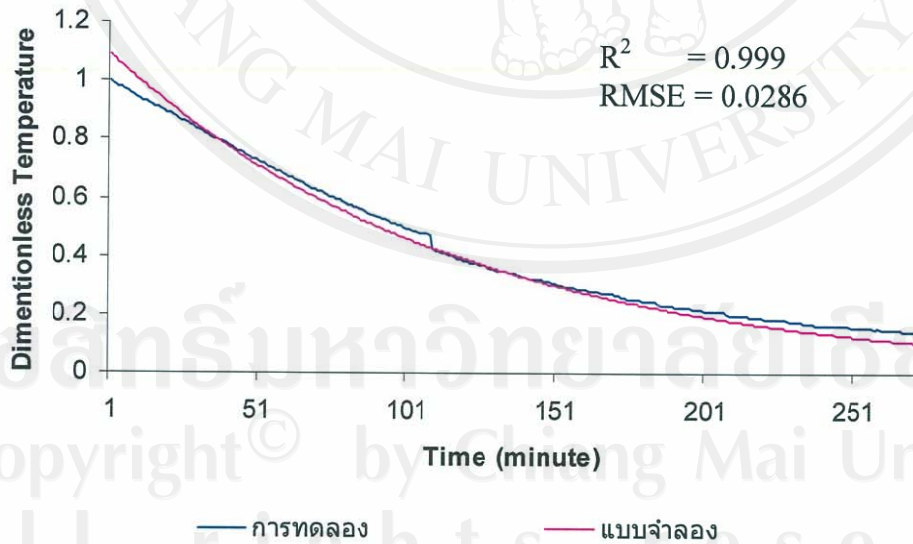
รูปที่ ค 81. การเปรียบเทียบค่าความคลาดเคลื่อนระหว่าง dimensionless temperature จากการคำนวณของแบบจำลองทางคณิตศาสตร์และจากการทดลองของผักกาดหางหงษ์ ในการลดอุณหภูมิโดยการเพิ่มพื้นที่เปิดของตะกร้าจากหัววัดที่ 3 ในการทดลองครั้งที่ 2



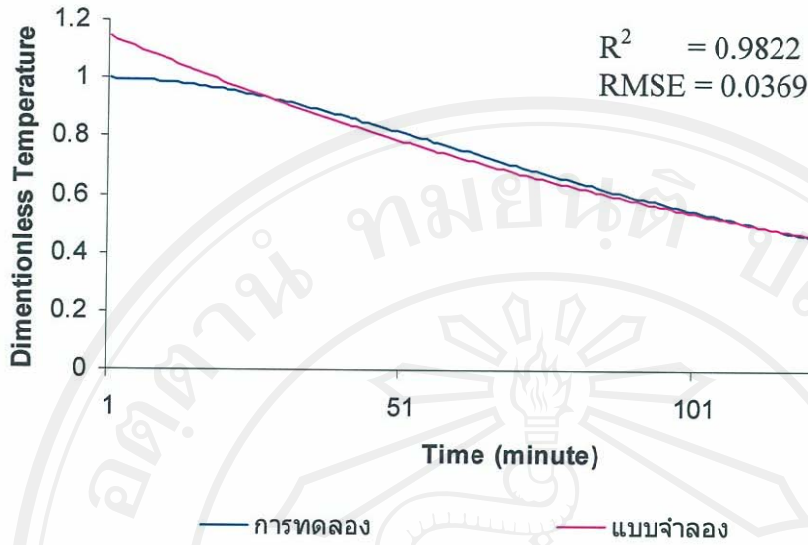
รูปที่ ค 82. การเปรียบเทียบค่าความคลาดเคลื่อนระหว่าง dimensionless temperature จากการคำนวณของแบบจำลองทางคณิตศาสตร์และจากการทดลองของผักกาดหางหงษ์ ในการลดอุณหภูมิโดยการเพิ่มพื้นที่เปิดของตะกร้าจากหัววัดที่ 4 ในการทดลองครั้งที่ 2



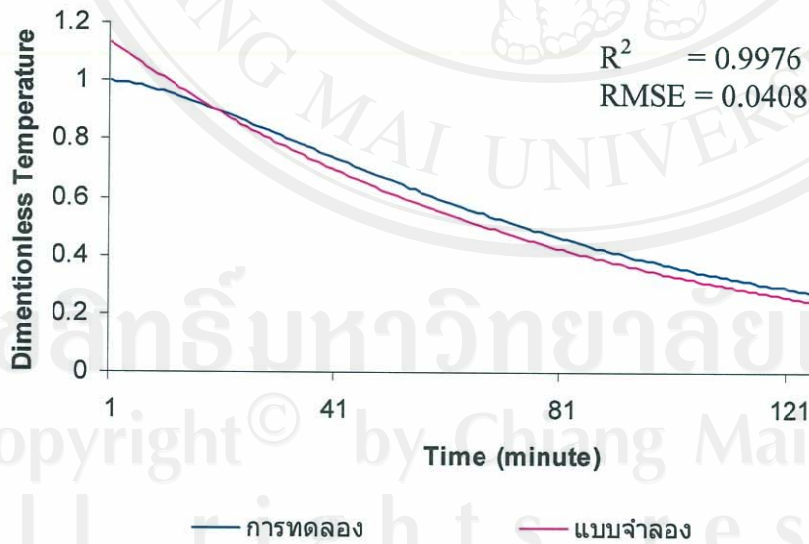
รูปที่ ค 83. การเปรียบเทียบค่าความคลาดเคลื่อนระหว่าง dimentionless temperature จากการคำนวณของแบบจำลองทางคณิตศาสตร์และจากการทดลองของผักกาดหางหงษ์ ในการลดอุณหภูมิโดยการเพิ่มพื้นที่เปิดของตะกร้าจากหัววัดที่ 5 ในการทดลองครั้งที่ 2



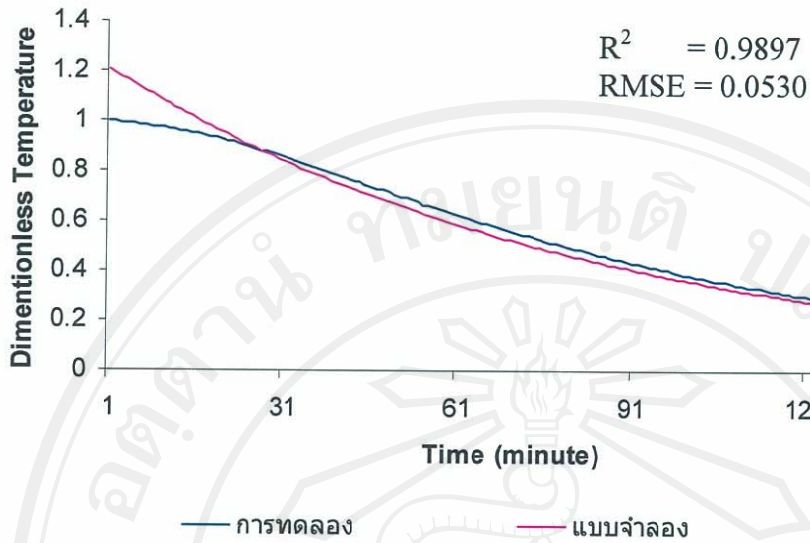
รูปที่ ค 84. การเปรียบเทียบค่าความคลาดเคลื่อนระหว่าง dimentionless temperature จากการคำนวณของแบบจำลองทางคณิตศาสตร์และจากการทดลองของผักกาดหางหงษ์ ในการลดอุณหภูมิโดยการเพิ่มพื้นที่เปิดของตะกร้าจากหัววัดที่ 6 ในการทดลองครั้งที่ 2



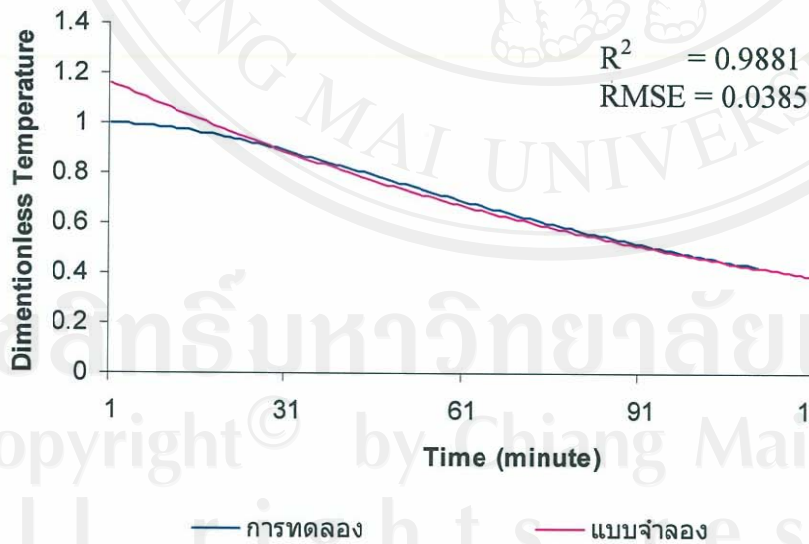
รูปที่ ค 85. การเปรียบเทียบค่าความคลาดเคลื่อนระหว่าง dimensionless temperature จากการคำนวณของแบบจำลองทางคณิตศาสตร์และจากการทดลองของฝักกาดหอมห่อ ในการลดอุณหภูมิโดยวิธีที่ใช้ในปัจจุบันจากหัววัดที่ 1 ในการทดลองครั้งที่ 1



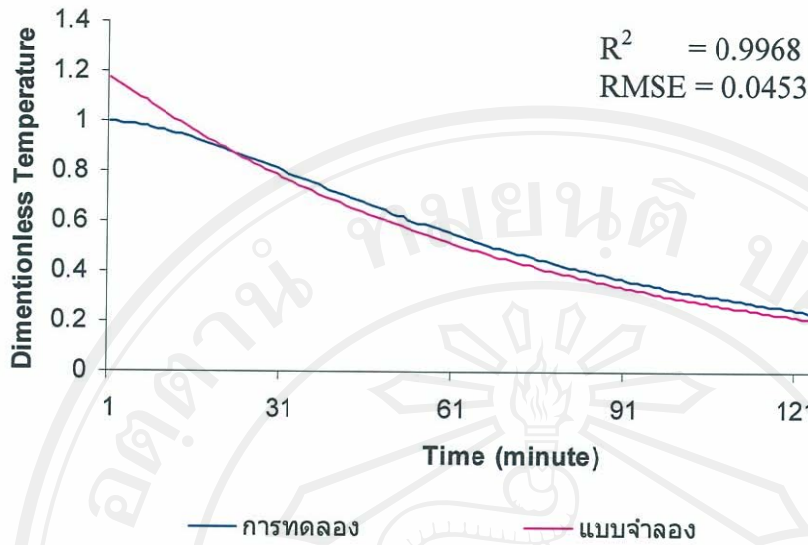
รูปที่ ค 86. การเปรียบเทียบค่าความคลาดเคลื่อนระหว่าง dimensionless temperature จากการคำนวณของแบบจำลองทางคณิตศาสตร์และจากการทดลองของฝักกาดหอมห่อ ในการลดอุณหภูมิโดยวิธีที่ใช้ในปัจจุบันจากหัววัดที่ 2 ในการทดลองครั้งที่ 1



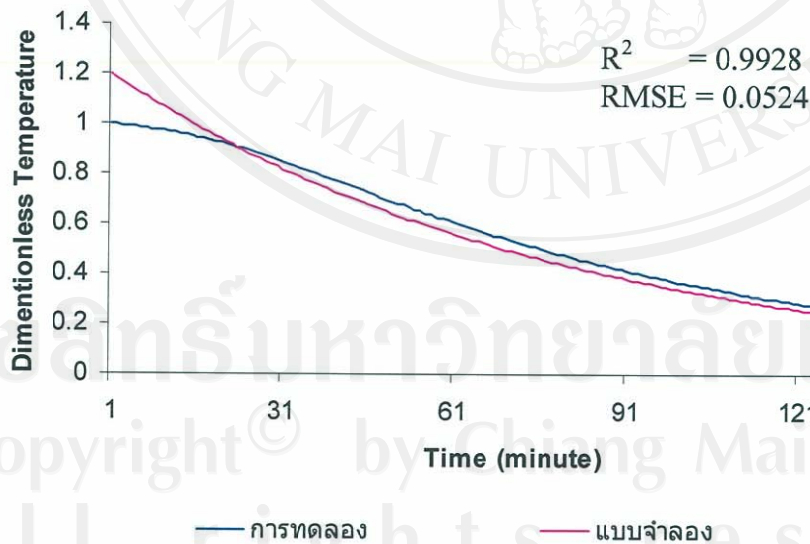
รูปที่ ค 87. การเปรียบเทียบค่าความคลาดเคลื่อนระหว่าง dimensionless temperature จากการคำนวณของแบบจำลองทางคณิตศาสตร์และจากการทดลองของผักกาดหอมห่อ ในการลดอุณหภูมิโดยวิธีที่ใช้ในปัจจุบันจากหัววัดที่ 3 ในการทดลองครั้งที่ 1



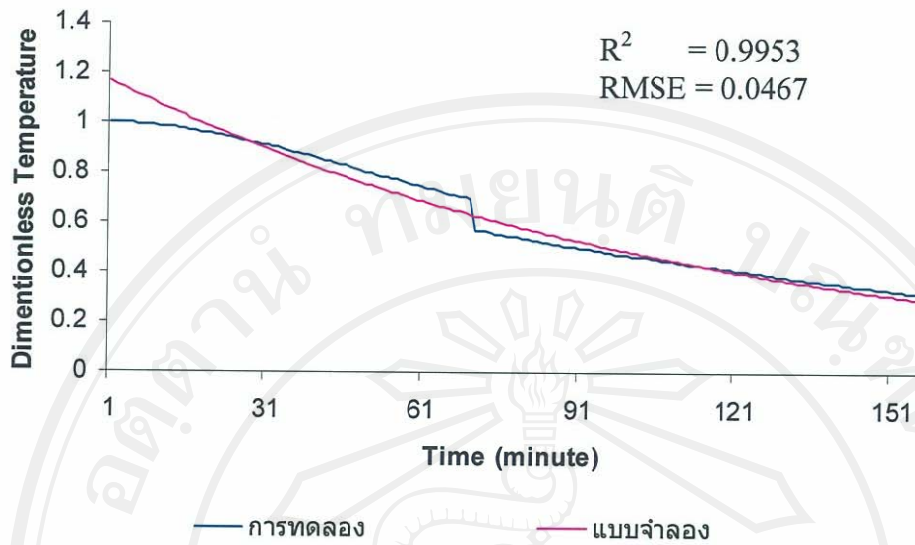
รูปที่ ค 88. การเปรียบเทียบค่าความคลาดเคลื่อนระหว่าง dimensionless temperature จากการคำนวณของแบบจำลองทางคณิตศาสตร์และจากการทดลองของผักกาดหอมห่อ ในการลดอุณหภูมิโดยวิธีที่ใช้ในปัจจุบันจากหัววัดที่ 4 ในการทดลองครั้งที่ 1



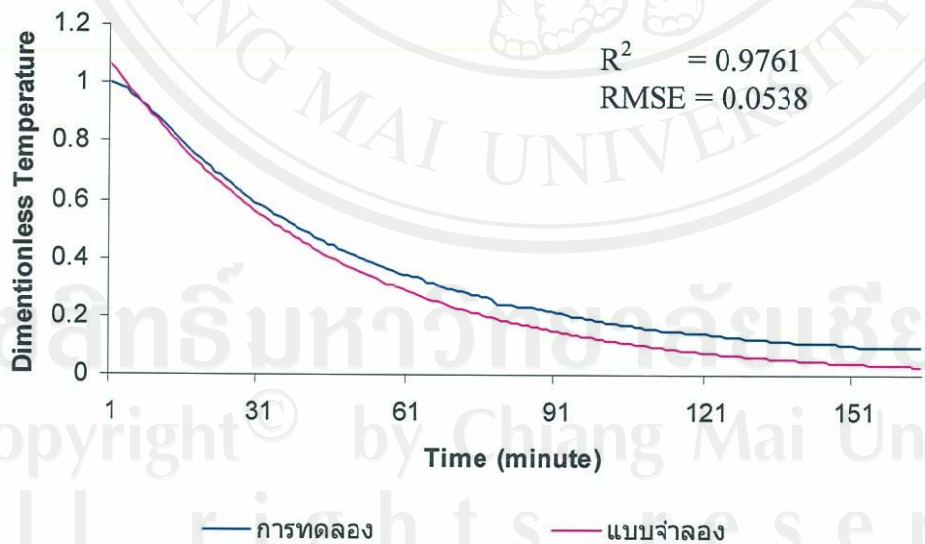
รูปที่ ค 89. การเปรียบเทียบค่าความคลาดเคลื่อนระหว่าง dimensionless temperature จากการคำนวณของแบบจำลองทางคณิตศาสตร์และจากการทดลองของฝักกาดหอมห่อ ในการลดอุณหภูมิโดยวิธีที่ใช้ในปัจจุบันจากหัววัดที่ 5 ในการทดลองครั้งที่ 1



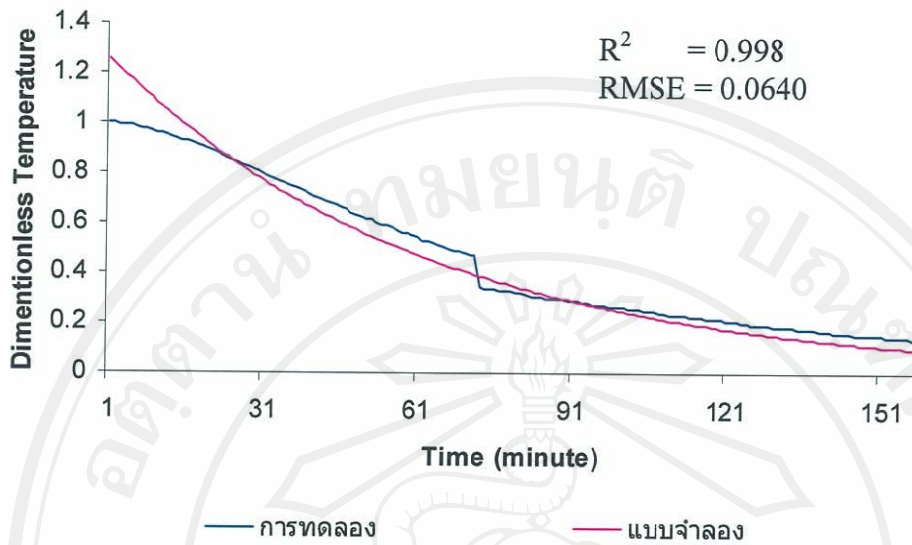
รูปที่ ค 90. การเปรียบเทียบค่าความคลาดเคลื่อนระหว่าง dimensionless temperature จากการคำนวณของแบบจำลองทางคณิตศาสตร์และจากการทดลองของฝักกาดหอมห่อ ในการลดอุณหภูมิโดยวิธีที่ใช้ในปัจจุบันจากหัววัดที่ 6 ในการทดลองครั้งที่ 1



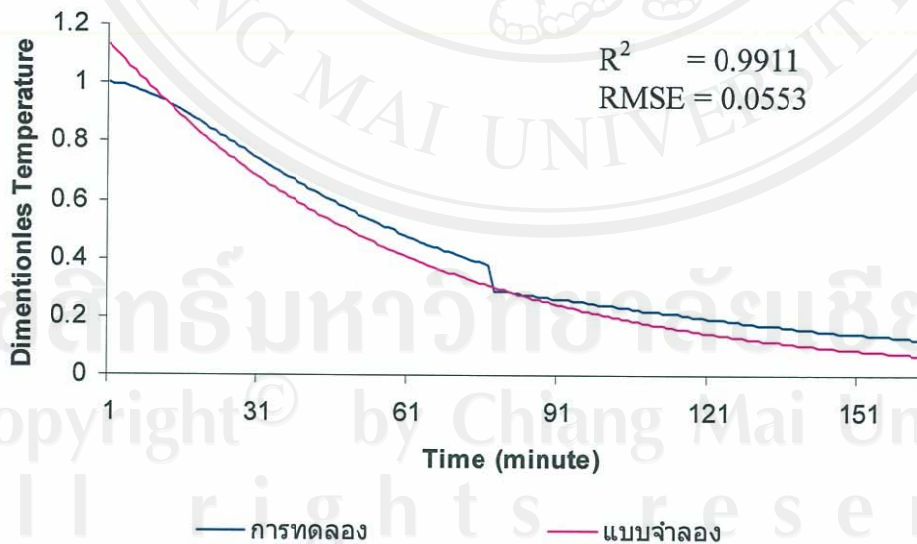
รูปที่ ค 91. การเปรียบเทียบค่าความคลาดเคลื่อนระหว่าง dimensionless temperature จากการคำนวณของแบบจำลองทางคณิตศาสตร์และจากการทดลองของฝักกาดหอมห่อ ในการลดอุณหภูมิโดยวิธีที่ใช้ในปัจจุบันจากหัววัดที่ 1 ในการทดลองครั้งที่ 2



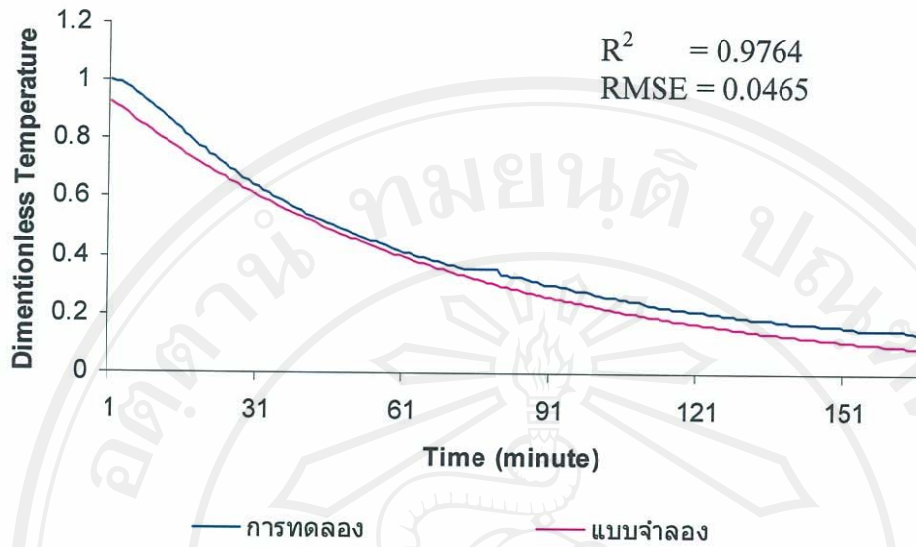
รูปที่ ค 92. การเปรียบเทียบค่าความคลาดเคลื่อนระหว่าง dimensionless temperature จากการคำนวณของแบบจำลองทางคณิตศาสตร์และจากการทดลองของฝักกาดหอมห่อ ในการลดอุณหภูมิโดยวิธีที่ใช้ในปัจจุบันจากหัววัดที่ 2 ในการทดลองครั้งที่ 2



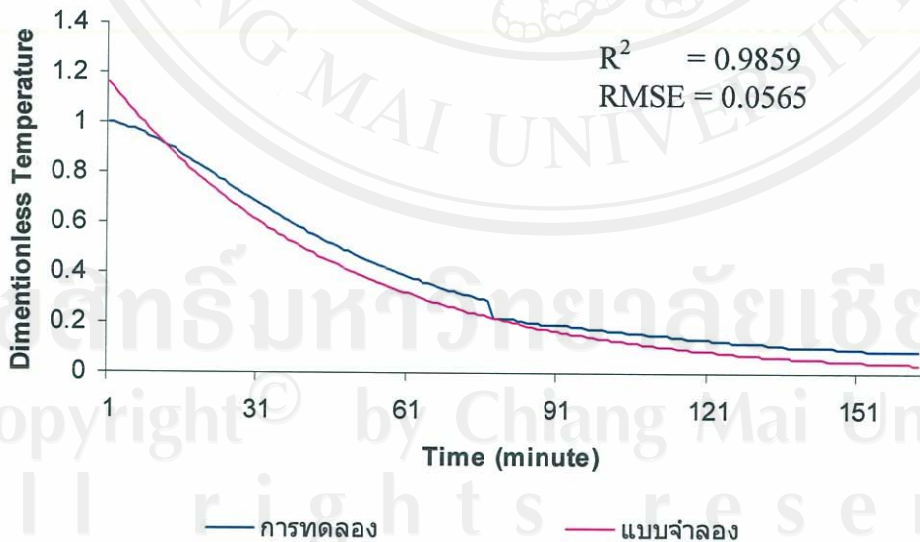
รูปที่ ค 93. การเปรียบเทียบค่าความคลาดเคลื่อนระหว่าง dimensionless temperature จากการคำนวณของแบบจำลองทางคณิตศาสตร์และจากการทดลองของฝักกาดหอมห่อ ในการลดอุณหภูมิโดยวิธีที่ใช้ในปัจจุบันจากหัววัดที่ 3 ในการทดลองครั้งที่ 2



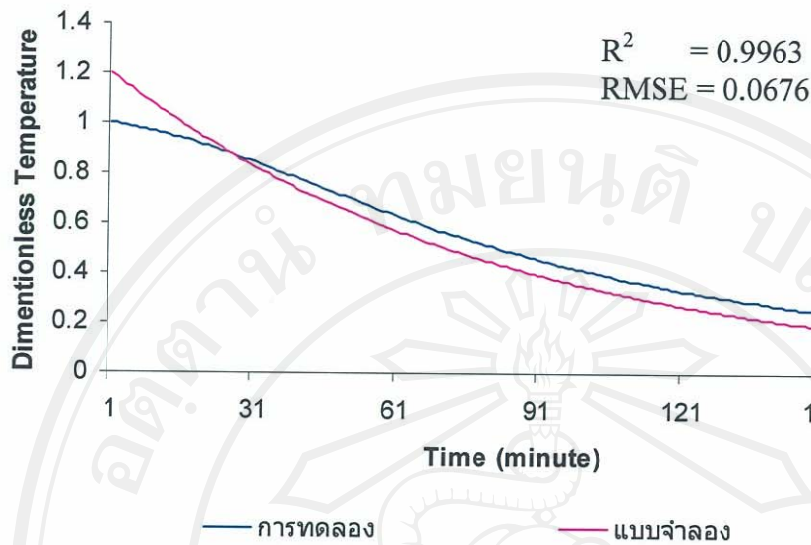
รูปที่ ค 94. การเปรียบเทียบค่าความคลาดเคลื่อนระหว่าง dimensionless temperature จากการคำนวณของแบบจำลองทางคณิตศาสตร์และจากการทดลองของฝักกาดหอมห่อ ในการลดอุณหภูมิโดยวิธีที่ใช้ในปัจจุบันจากหัววัดที่ 4 ในการทดลองครั้งที่ 2



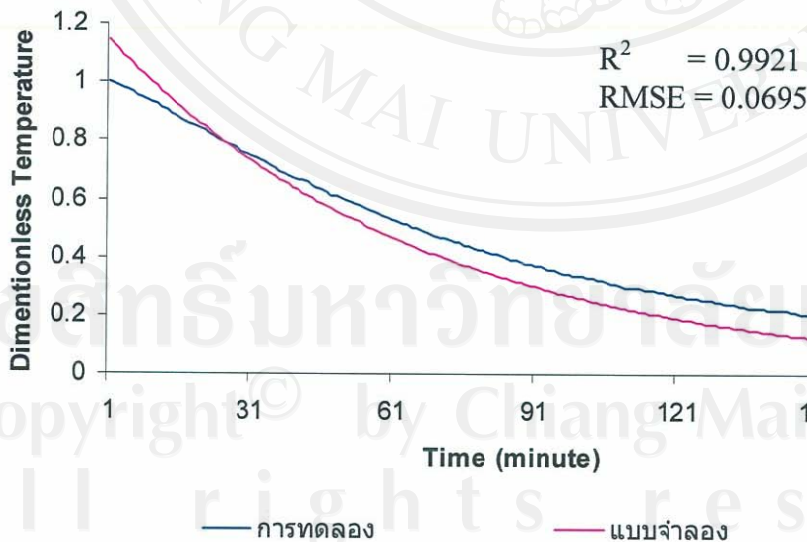
รูปที่ ค 95. การเปรียบเทียบค่าความคลาดเคลื่อนระหว่าง dimensionless temperature จากการคำนวณของแบบจำลองทางคณิตศาสตร์และจากการทดลองของผักกาดหอมห่อ ในการลดอุณหภูมิโดยวิธีที่ใช้ในปัจจุบันจากหัววัดที่ 5 ในการทดลองครั้งที่ 2



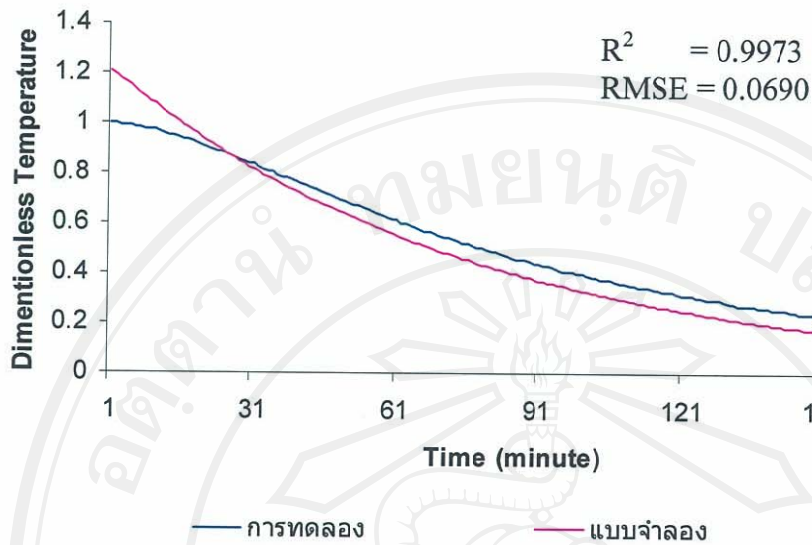
รูปที่ ค 96. การเปรียบเทียบค่าความคลาดเคลื่อนระหว่าง dimensionless temperature จากการคำนวณของแบบจำลองทางคณิตศาสตร์และจากการทดลองของผักกาดหอมห่อ ในการลดอุณหภูมิโดยวิธีที่ใช้ในปัจจุบันจากหัววัดที่ 6 ในการทดลองครั้งที่ 2



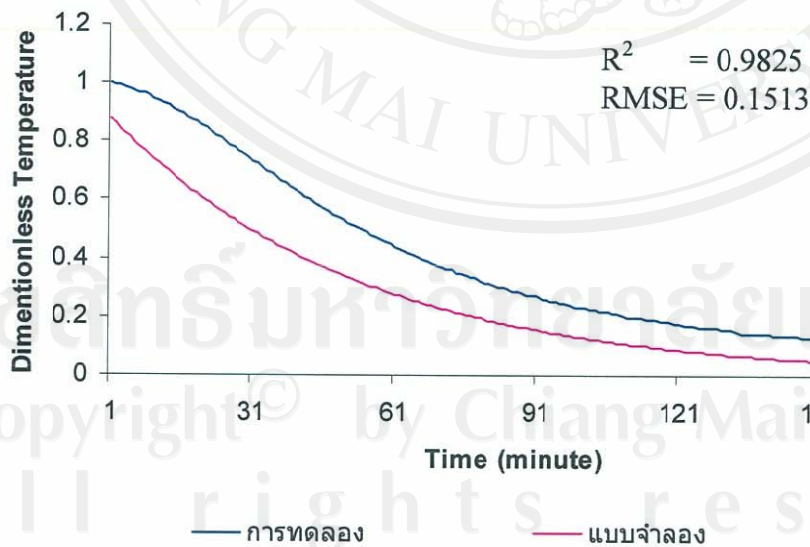
รูปที่ ค 97. การเปรียบเทียบค่าความคลาดเคลื่อนระหว่าง dimensionless temperature จากการคำนวณของแบบจำลองทางคณิตศาสตร์และจากการทดลองของฝักกาดหอมห่อ ในการลดอุณหภูมิโดยการลดขนาดของผ้าใบจากหัววัดที่ 1 ในการทดลองครั้งที่ 1



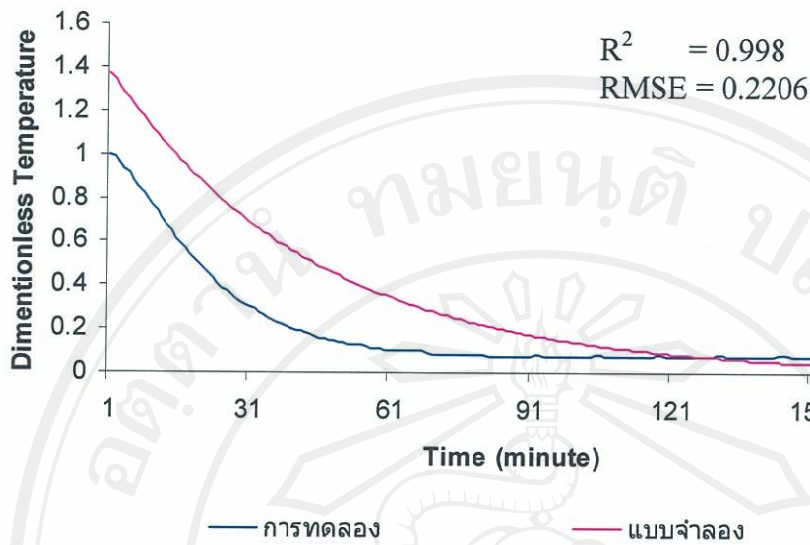
รูปที่ ค 98. การเปรียบเทียบค่าความคลาดเคลื่อนระหว่าง dimensionless temperature จากการคำนวณของแบบจำลองทางคณิตศาสตร์และจากการทดลองของฝักกาดหอมห่อ ในการลดอุณหภูมิโดยการลดขนาดของผ้าใบจากหัววัดที่ 2 ในการทดลองครั้งที่ 1



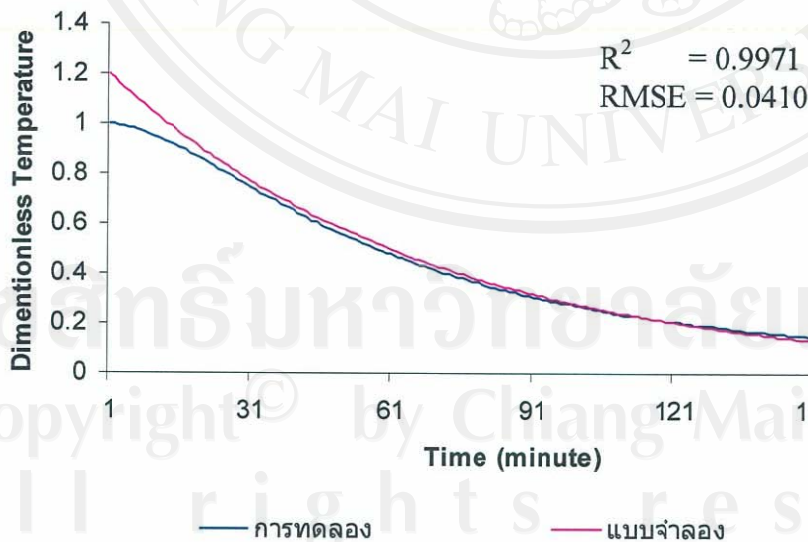
รูปที่ ค 99. การเปรียบเทียบค่าความคลาดเคลื่อนระหว่าง dimensionless temperature จากการคำนวณของแบบจำลองทางคณิตศาสตร์และจากการทดลองของפקกาดหอมห่อ ในการลดอุณหภูมิโดยการลดขนาดของผ้าใบจากหัววัดที่ 3 ในการทดลองครั้งที่ 1



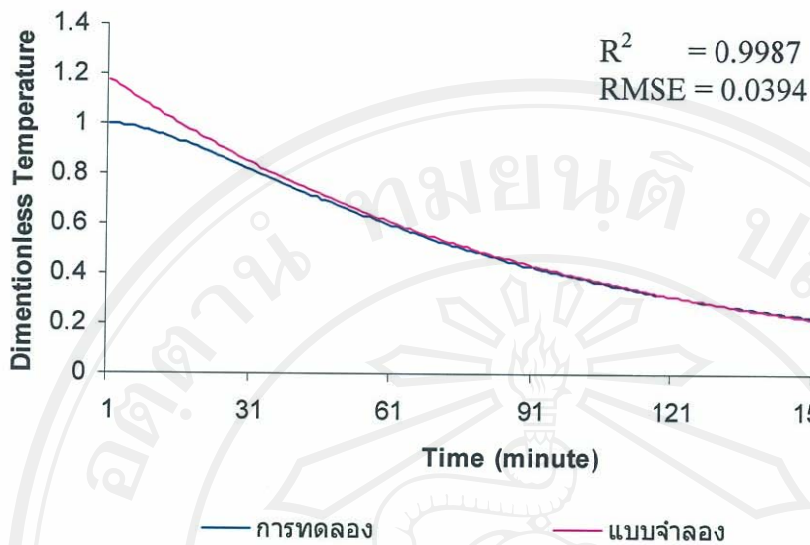
รูปที่ ค 100. การเปรียบเทียบค่าความคลาดเคลื่อนระหว่าง dimensionless temperature จากการคำนวณของแบบจำลองทางคณิตศาสตร์และจากการทดลองของפקกาดหอมห่อ ในการลดอุณหภูมิโดยการลดขนาดของผ้าใบจากหัววัดที่ 5 ในการทดลองครั้งที่ 1



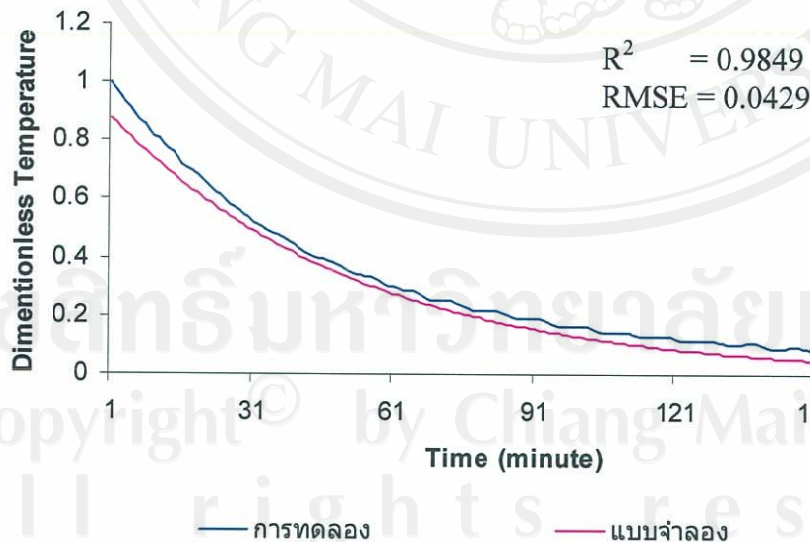
รูปที่ ค 101. การเปรียบเทียบค่าความคลาดเคลื่อนระหว่าง dimensionless temperature จากการคำนวณของแบบจำลองทางคณิตศาสตร์และจากการทดลองของฝักกาดหอมห่อ ในการลดอุณหภูมิโดยการลดขนาดของผ้าใบจากหัววัดที่ 6 ในการทดลองครั้งที่ 1



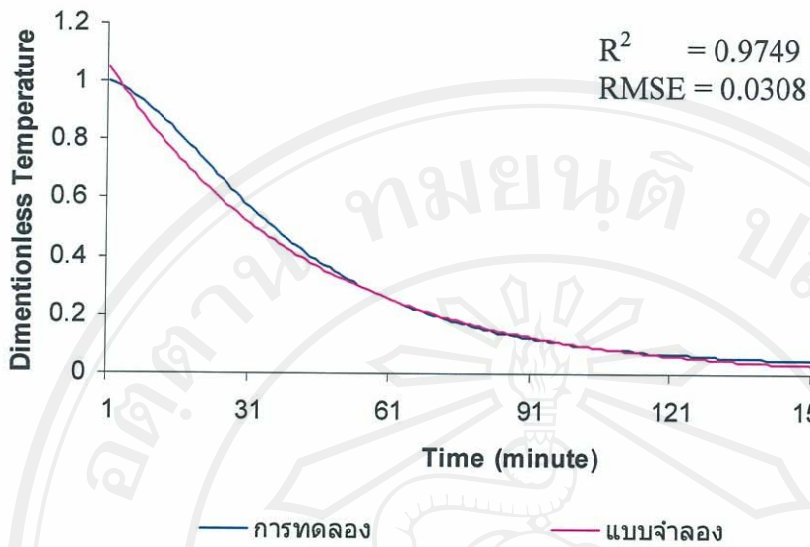
รูปที่ ค 102. การเปรียบเทียบค่าความคลาดเคลื่อนระหว่าง dimensionless temperature จากการคำนวณของแบบจำลองทางคณิตศาสตร์และจากการทดลองของฝักกาดหอมห่อ ในการลดอุณหภูมิโดยการลดขนาดของผ้าใบจากหัววัดที่ 1 ในการทดลองครั้งที่ 2



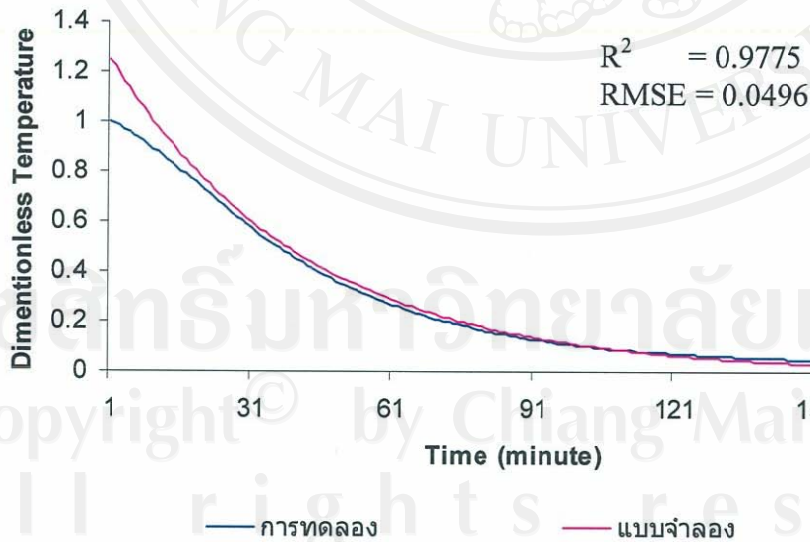
รูปที่ ค 103. การเปรียบเทียบค่าความคลาดเคลื่อนระหว่าง dimentionless temperature จากการคำนวณของแบบจำลองทางคณิตศาสตร์และจากการทดลองของฝักกาดหอมห่อ ในการลดอุณหภูมิโดยการลดขนาดของผ้าใบจากหัววัดที่ 2 ในการทดลองครั้งที่ 2



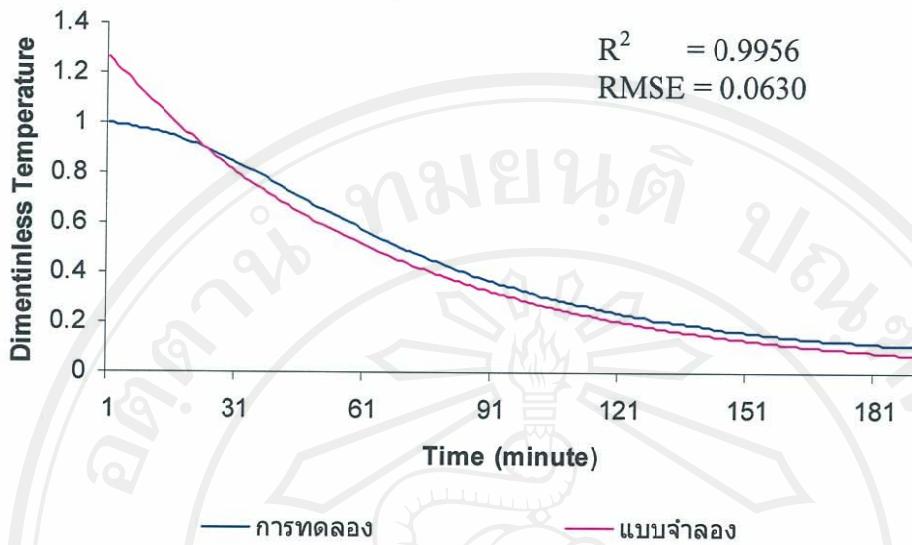
รูปที่ ค 104. การเปรียบเทียบค่าความคลาดเคลื่อนระหว่าง dimentionless temperature จากการคำนวณของแบบจำลองทางคณิตศาสตร์และจากการทดลองของฝักกาดหอมห่อ ในการลดอุณหภูมิโดยการลดขนาดของผ้าใบจากหัววัดที่ 3 ในการทดลองครั้งที่ 2



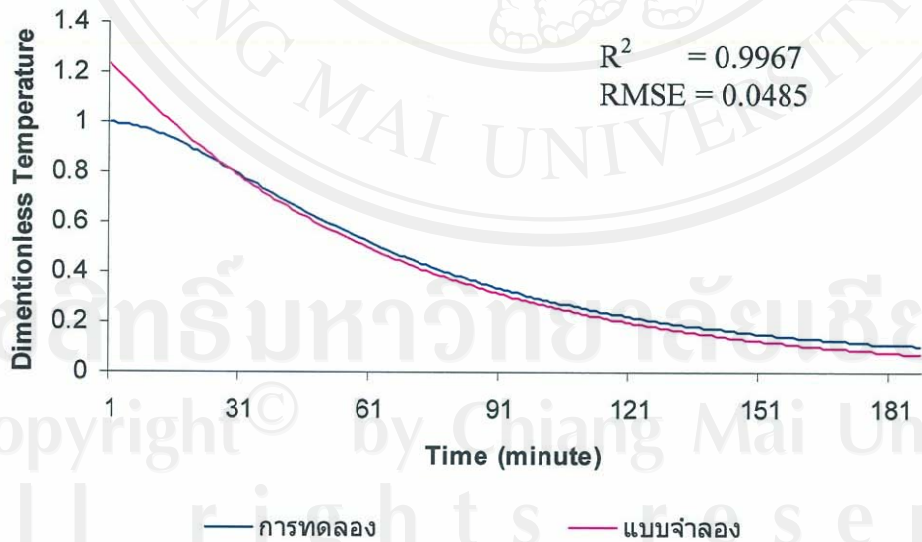
รูปที่ ค 105. การเปรียบเทียบค่าความคลาดเคลื่อนระหว่าง dimensionless temperature จากการคำนวณของแบบจำลองทางคณิตศาสตร์และจากการทดลองของฝักกาดหอมห่อ ในการลดอุณหภูมิโดยการลดขนาดของผ้าใบจากหัววัดที่ 5 ในการทดลองครั้งที่ 2



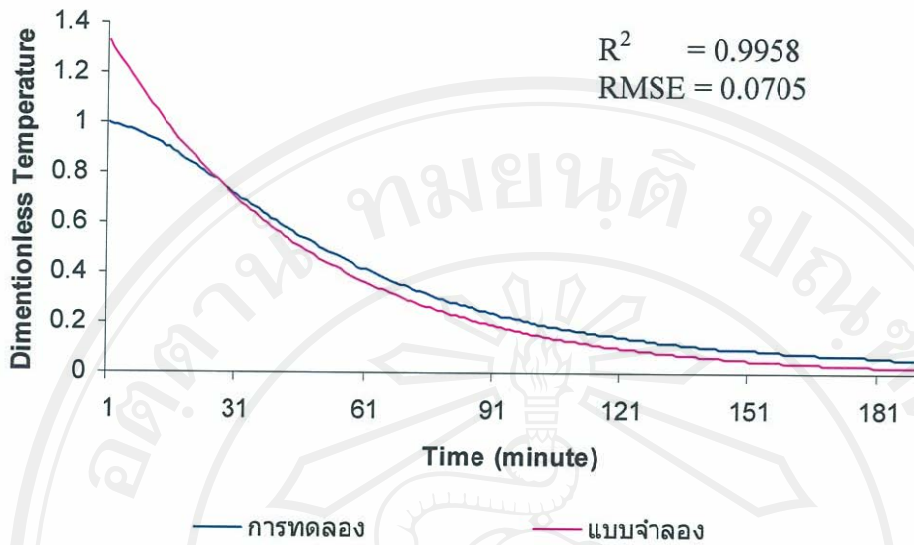
รูปที่ ค 106. การเปรียบเทียบค่าความคลาดเคลื่อนระหว่าง dimensionless temperature จากการคำนวณของแบบจำลองทางคณิตศาสตร์และจากการทดลองของฝักกาดหอมห่อ ในการลดอุณหภูมิโดยการลดขนาดของผ้าใบจากหัววัดที่ 6 ในการทดลองครั้งที่ 2



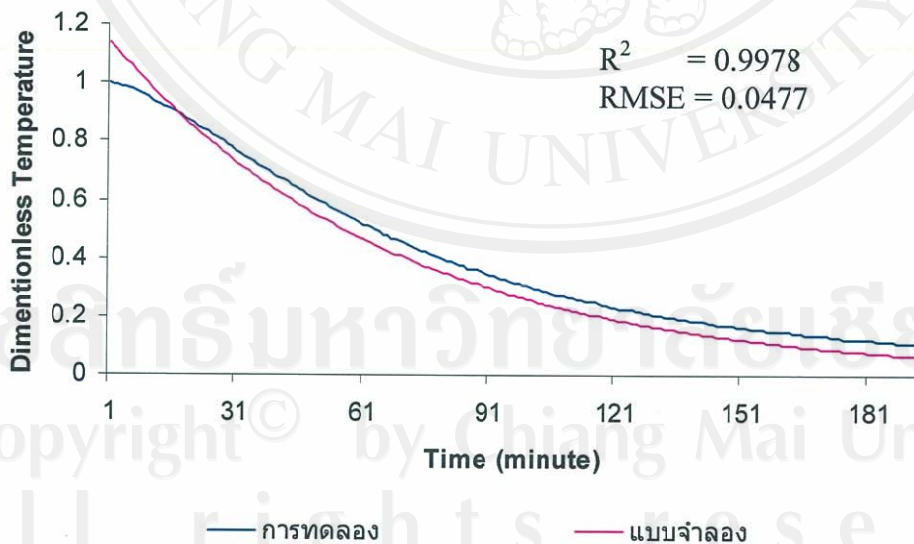
รูปที่ ค 107. การเปรียบเทียบค่าความคลาดเคลื่อนระหว่าง dimensionless temperature จากการคำนวณของแบบจำลองทางคณิตศาสตร์และจากการทดลองของผักกาดหอมห่อ ในการลดอุณหภูมิโดยการเพิ่มพื้นที่เปิดของตะกร้าจากหัววัดที่ 1 ในการทดลองครั้งที่ 1



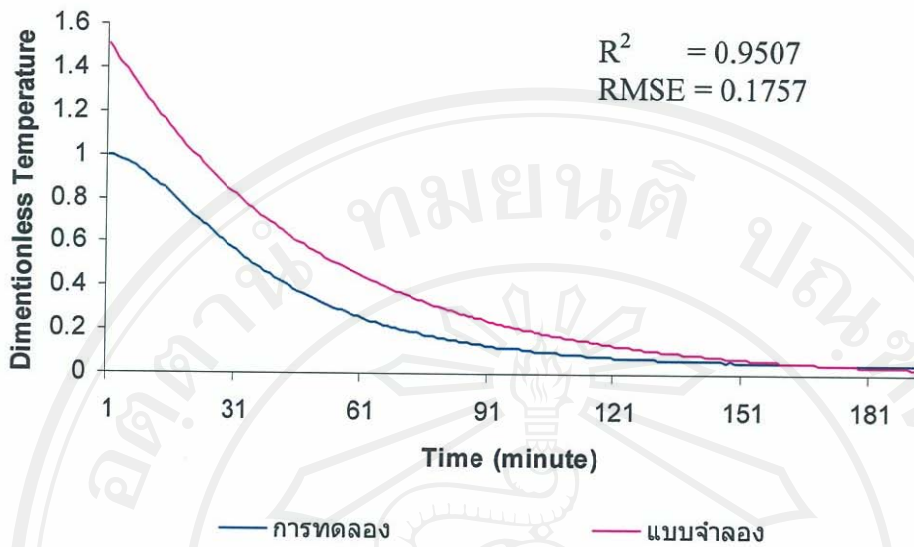
รูปที่ ค 108. การเปรียบเทียบค่าความคลาดเคลื่อนระหว่าง dimensionless temperature จากการคำนวณของแบบจำลองทางคณิตศาสตร์และจากการทดลองของผักกาดหอมห่อ ในการลดอุณหภูมิโดยการเพิ่มพื้นที่เปิดของตะกร้าจากหัววัดที่ 2 ในการทดลองครั้งที่ 1



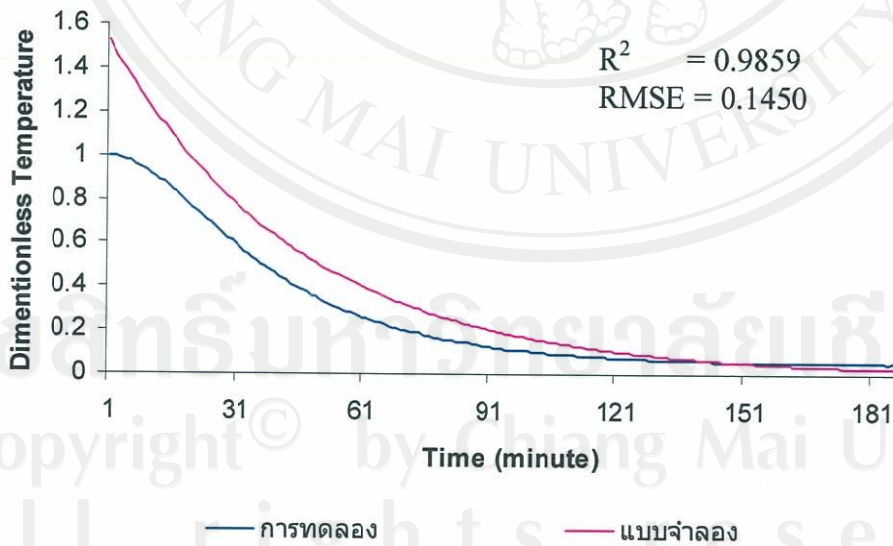
รูปที่ ค 109. การเปรียบเทียบค่าความคลาดเคลื่อนระหว่าง dimentionless temperature จากการคำนวณของแบบจำลองทางคณิตศาสตร์และจากการทดลองของผักกาดหอมห่อ ในการลดอุณหภูมิโดยการเพิ่มพื้นที่เปิดของตะกร้าจากหัววัดที่ 3 ในการทดลองครั้งที่ 1



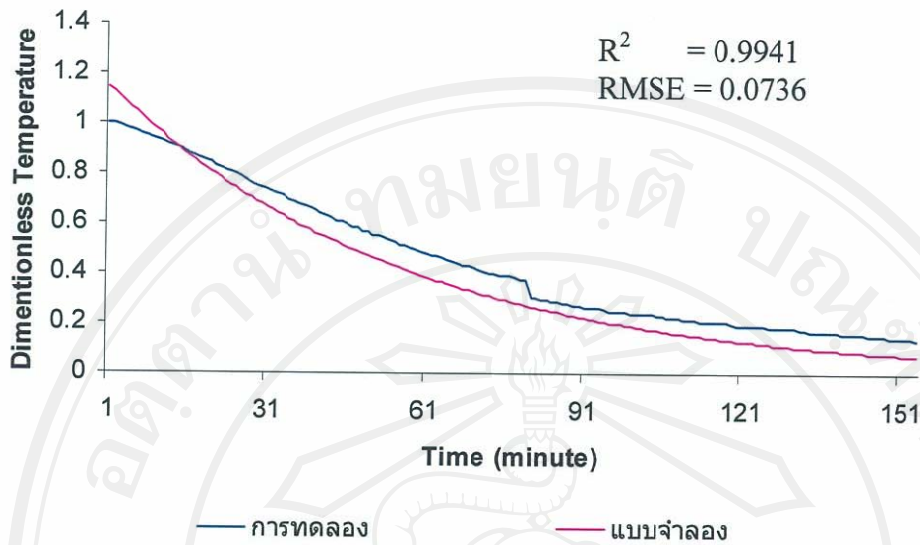
รูปที่ ค 110. การเปรียบเทียบค่าความคลาดเคลื่อนระหว่าง dimentionless temperature จากการคำนวณของแบบจำลองทางคณิตศาสตร์และจากการทดลองของผักกาดหอมห่อ ในการลดอุณหภูมิโดยการเพิ่มพื้นที่เปิดของตะกร้าจากหัววัดที่ 4 ในการทดลองครั้งที่ 1



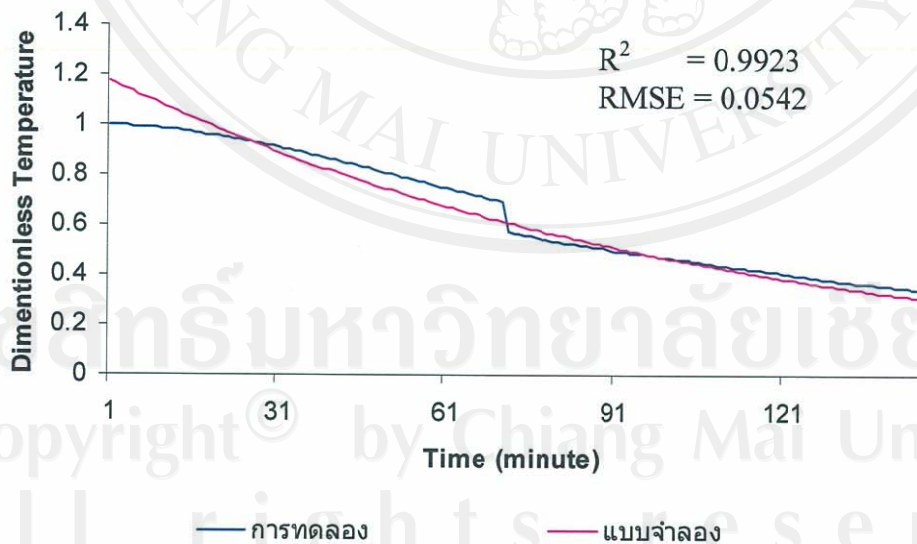
รูปที่ ค 111. การเปรียบเทียบค่าความคลาดเคลื่อนระหว่าง dimensionless temperature จากการคำนวณของแบบจำลองทางคณิตศาสตร์และจากการทดลองของผักกาดหอมห่อ ในการลดอุณหภูมิโดยการเพิ่มพื้นที่เปิดของตะกร้าจากหัววัดที่ 5 ในการทดลองครั้งที่ 1



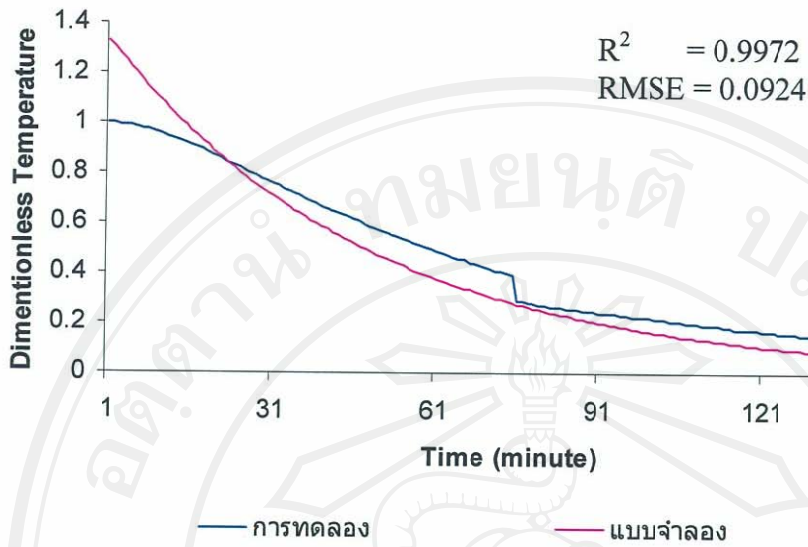
รูปที่ ค 112. การเปรียบเทียบค่าความคลาดเคลื่อนระหว่าง dimensionless temperature จากการคำนวณของแบบจำลองทางคณิตศาสตร์และจากการทดลองของผักกาดหอมห่อ ในการลดอุณหภูมิโดยการเพิ่มพื้นที่เปิดของตะกร้าจากหัววัดที่ 6 ในการทดลองครั้งที่ 1



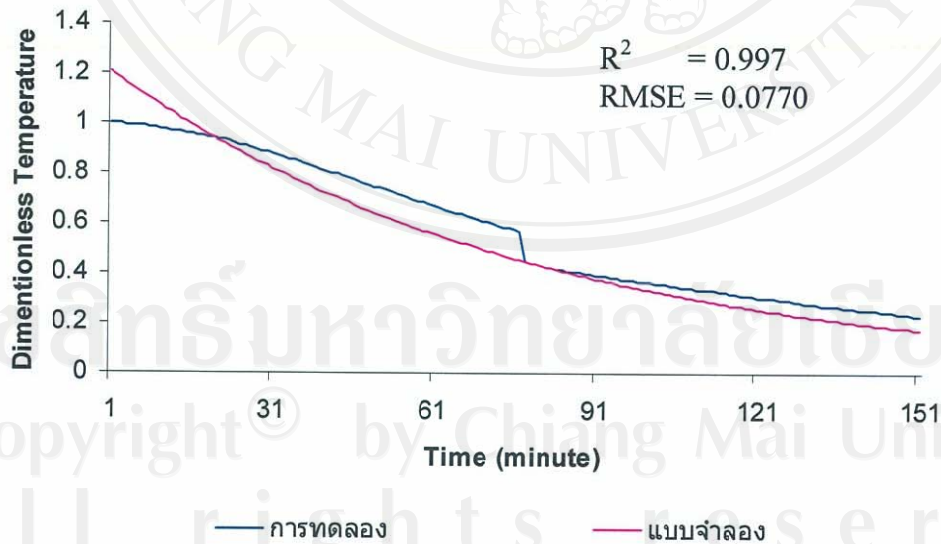
รูปที่ ค 113. การเปรียบเทียบค่าความคลาดเคลื่อนระหว่าง dimentionless temperature จากการคำนวณของแบบจำลองทางคณิตศาสตร์และจากการทดลองของผักกาดหอมห่อ ในการลดอุณหภูมิโดยการเพิ่มพื้นที่เปิดของตะกร้าจากหัววัดที่ 1 ในการทดลองครั้งที่ 2



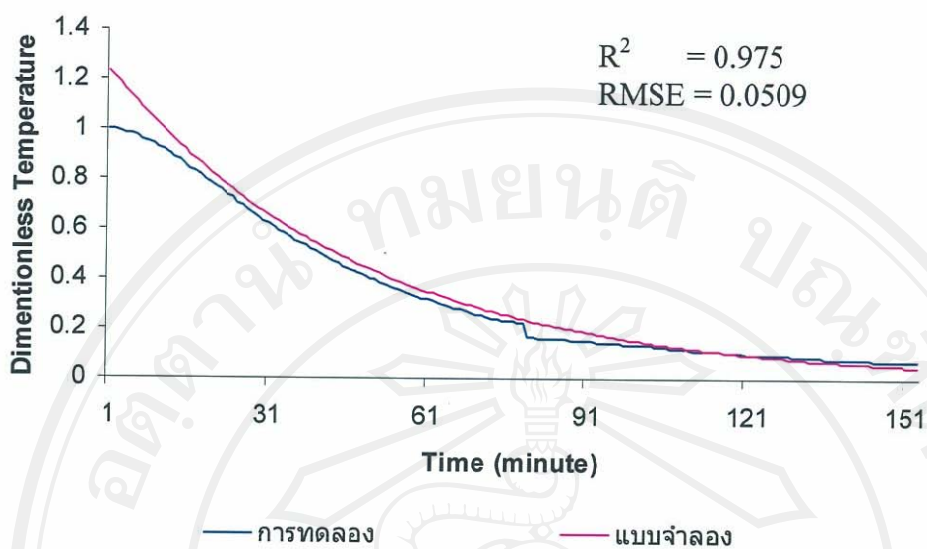
รูปที่ ค 114. การเปรียบเทียบค่าความคลาดเคลื่อนระหว่าง dimentionless temperature จากการคำนวณของแบบจำลองทางคณิตศาสตร์และจากการทดลองของผักกาดหอมห่อ ในการลดอุณหภูมิโดยการเพิ่มพื้นที่เปิดของตะกร้าจากหัววัดที่ 2 ในการทดลองครั้งที่ 2



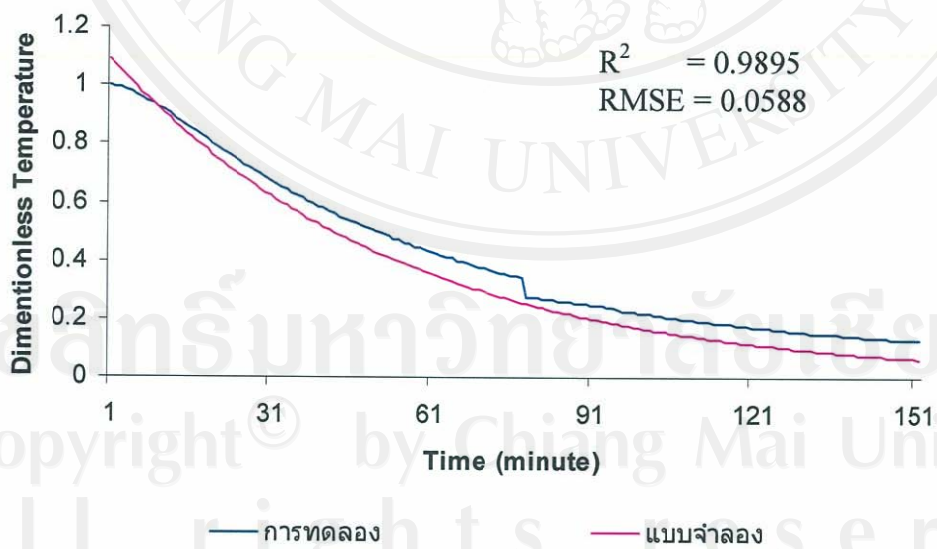
รูปที่ ค 115. การเปรียบเทียบค่าความคลาดเคลื่อนระหว่าง dimentionless temperature จากการคำนวณของแบบจำลองทางคณิตศาสตร์และจากการทดลองของผักกาดหอมห่อ ในการลดอุณหภูมิโดยการเพิ่มพื้นที่เปิดของตะกร้าจากหัววัดที่ 3 ในการทดลองครั้งที่ 2



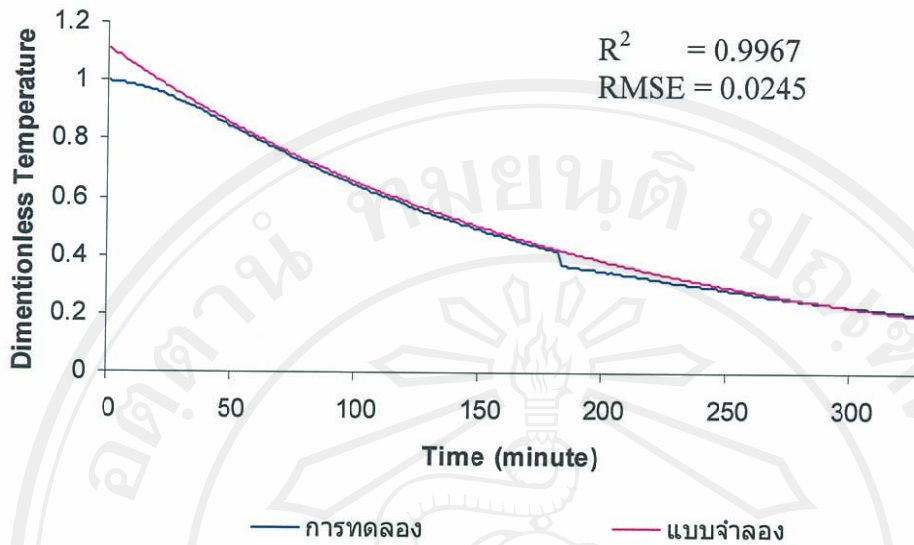
รูปที่ ค 116. การเปรียบเทียบค่าความคลาดเคลื่อนระหว่าง dimentionless temperature จากการคำนวณของแบบจำลองทางคณิตศาสตร์และจากการทดลองของผักกาดหอมห่อ ในการลดอุณหภูมิโดยการเพิ่มพื้นที่เปิดของตะกร้าจากหัววัดที่ 4 ในการทดลองครั้งที่ 2



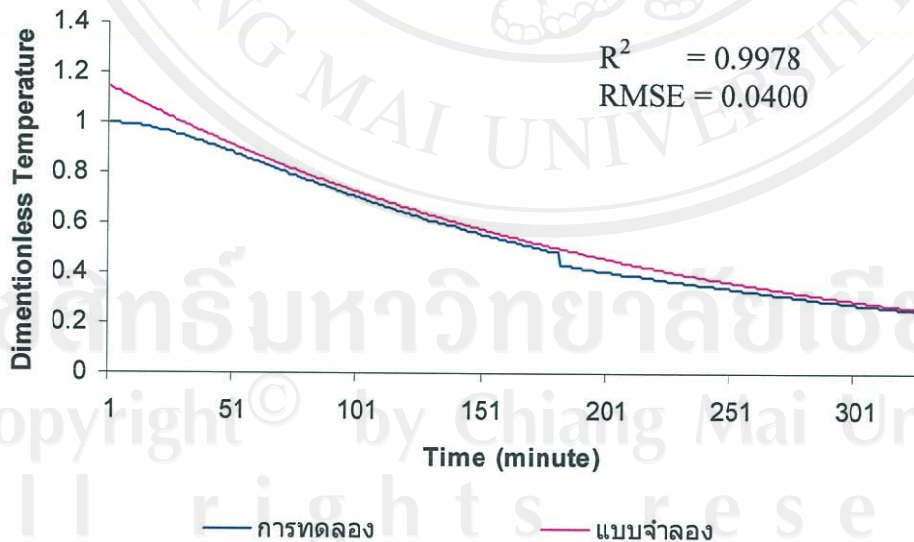
รูปที่ ค 117. การเปรียบเทียบค่าความคลาดเคลื่อนระหว่าง dimentionless temperature จากการคำนวณของแบบจำลองทางคณิตศาสตร์และจากการทดลองของผักกาดหอมห่อ ในการลดอุณหภูมิโดยการเพิ่มพื้นที่เปิดของตะกร้าจากหัววัดที่ 5 ในการทดลองครั้งที่ 2



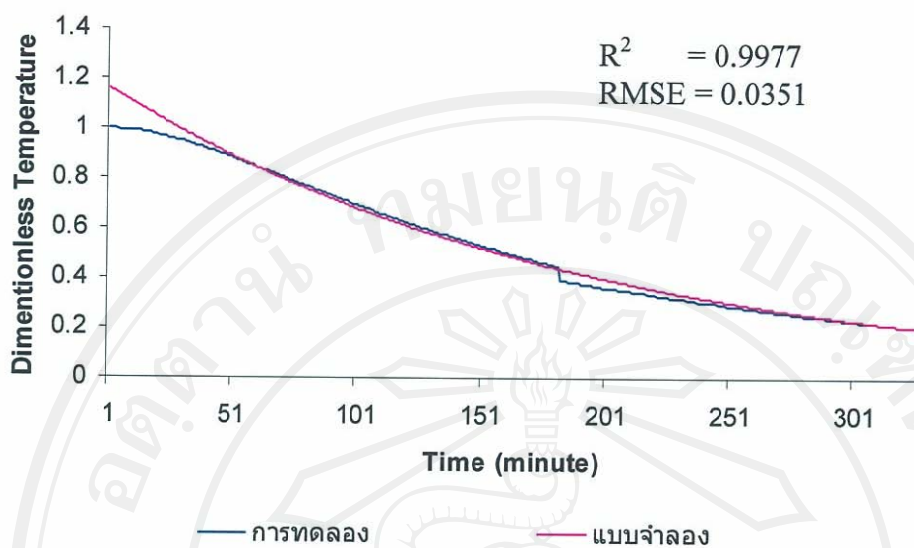
รูปที่ ค 118. การเปรียบเทียบค่าความคลาดเคลื่อนระหว่าง dimentionless temperature จากการคำนวณของแบบจำลองทางคณิตศาสตร์และจากการทดลองของผักกาดหอมห่อ ในการลดอุณหภูมิโดยการเพิ่มพื้นที่เปิดของตะกร้าจากหัววัดที่ 6 ในการทดลองครั้งที่ 2



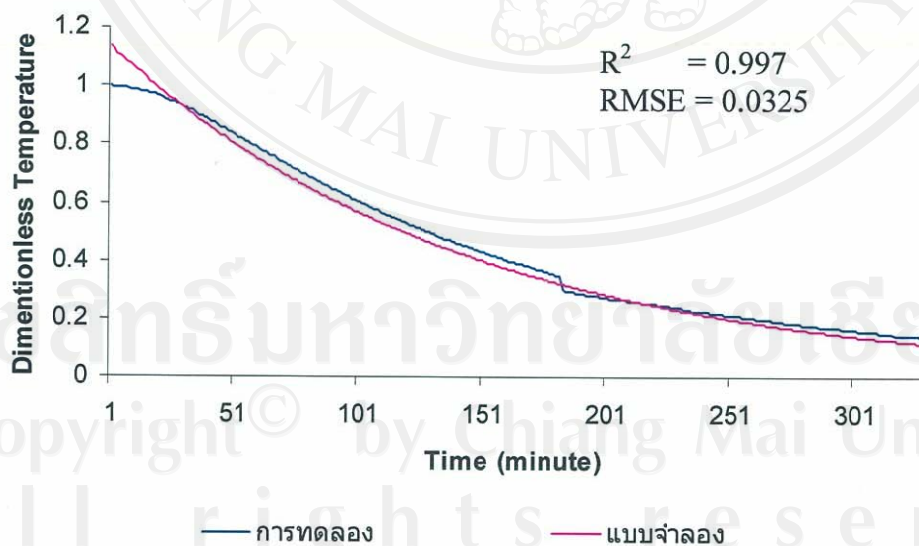
รูปที่ ค 119. การเปรียบเทียบค่าความคลาดเคลื่อนระหว่าง dimentionless temperature จากการคำนวณของแบบจำลองทางคณิตศาสตร์และจากการทดลองของฝักกะหล่ำปลี ในการลดอุณหภูมิโดยวิธีที่ใช้ในปัจจุบันจากหัววัดที่ 1 ในการทดลองครั้งที่ 1



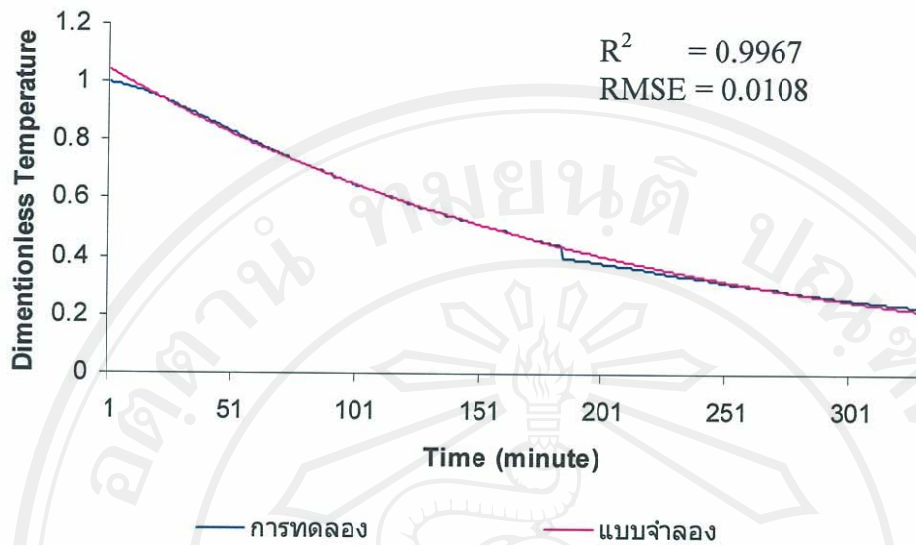
รูปที่ ค 120. การเปรียบเทียบค่าความคลาดเคลื่อนระหว่าง dimentionless temperature จากการคำนวณของแบบจำลองทางคณิตศาสตร์และจากการทดลองของฝักกะหล่ำปลี ในการลดอุณหภูมิโดยวิธีที่ใช้ในปัจจุบันจากหัววัดที่ 2 ในการทดลองครั้งที่ 1



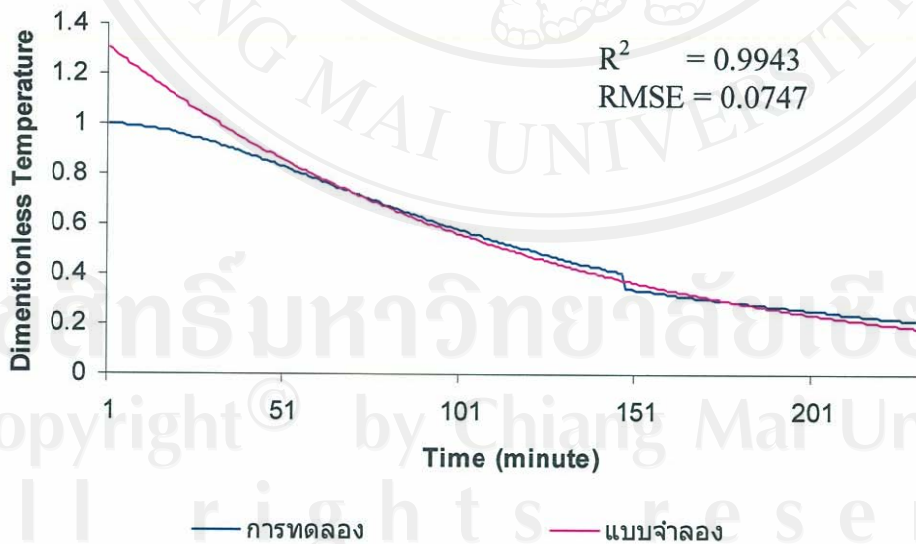
รูปที่ ค 121. การเปรียบเทียบค่าความคลาดเคลื่อนระหว่าง dimentionless temperature จากการคำนวณของแบบจำลองทางคณิตศาสตร์และจากการทดลองของผักกะหล่ำปลี ในการลดอุณหภูมิโดยวิธีที่ใช้ในปัจจุบันจากหัววัดที่ 4 ในการทดลองครั้งที่ 1



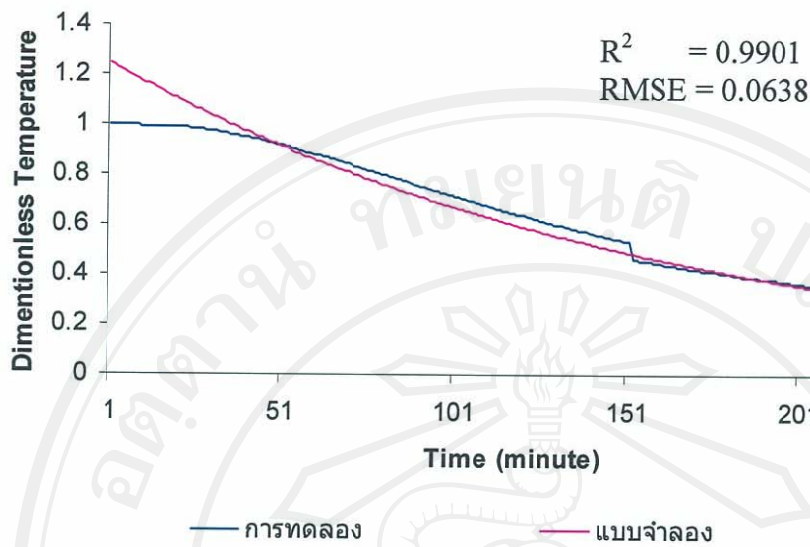
รูปที่ ค 122. การเปรียบเทียบค่าความคลาดเคลื่อนระหว่าง dimentionless temperature จากการคำนวณของแบบจำลองทางคณิตศาสตร์และจากการทดลองของผักกะหล่ำปลี ในการลดอุณหภูมิโดยวิธีที่ใช้ในปัจจุบันจากหัววัดที่ 5 ในการทดลองครั้งที่ 1



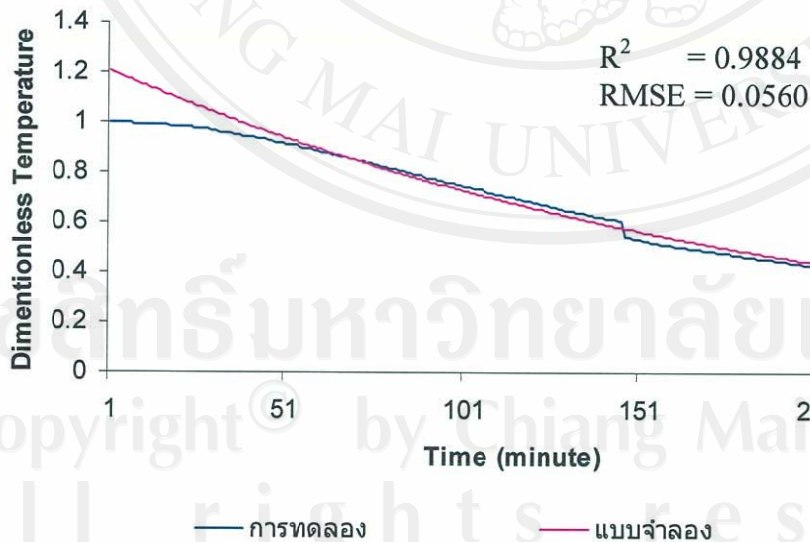
รูปที่ ค 123. การเปรียบเทียบค่าความคลาดเคลื่อนระหว่าง dimentionless temperature จากการคำนวณของแบบจำลองทางคณิตศาสตร์และจากการทดลองของฝักกะหล่ำปลี ในการลดอุณหภูมิโดยวิธีที่ใช้ในปัจจุบันจากหัววัดที่ 6 ในการทดลองครั้งที่ 1



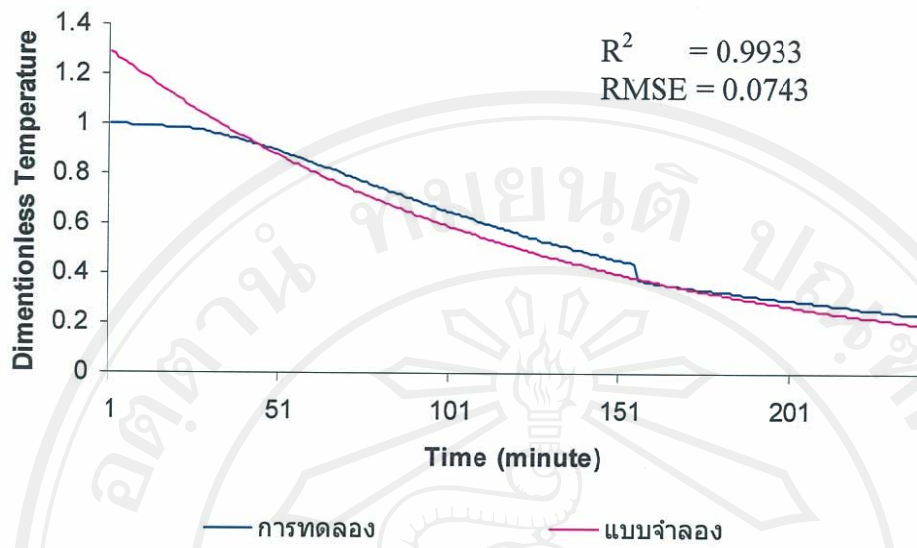
รูปที่ ค 124. การเปรียบเทียบค่าความคลาดเคลื่อนระหว่าง dimentionless temperature จากการคำนวณของแบบจำลองทางคณิตศาสตร์และจากการทดลองของฝักกะหล่ำปลี ในการลดอุณหภูมิโดยวิธีที่ใช้ในปัจจุบันจากหัววัดที่ 1 ในการทดลองครั้งที่ 2



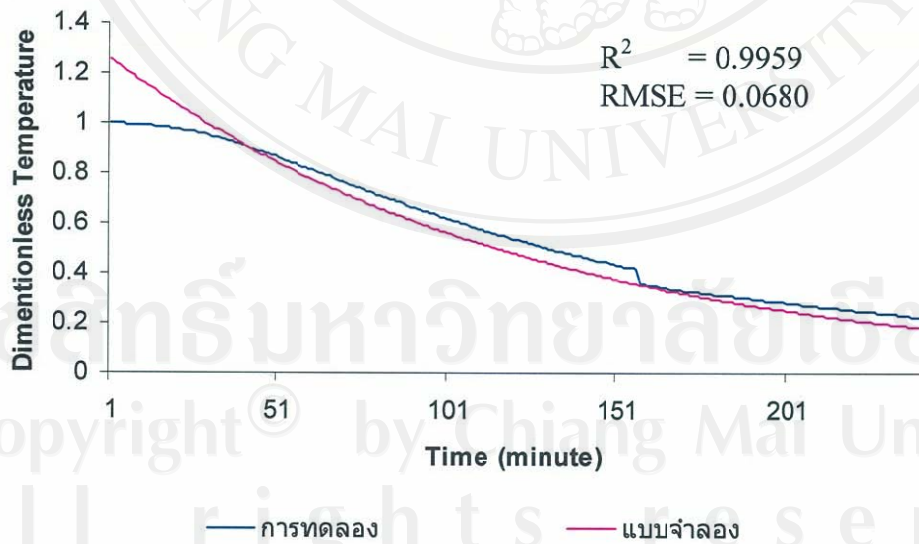
รูปที่ ค 125. การเปรียบเทียบค่าความคลาดเคลื่อนระหว่าง dimensionless temperature จากการคำนวณของแบบจำลองทางคณิตศาสตร์และจากการทดลองของฟักกะหล่ำปลี ในการลดอุณหภูมิโดยวิธีที่ใช้ในปัจจุบันจากหัววัดที่ 2 ในการทดลองครั้งที่ 2



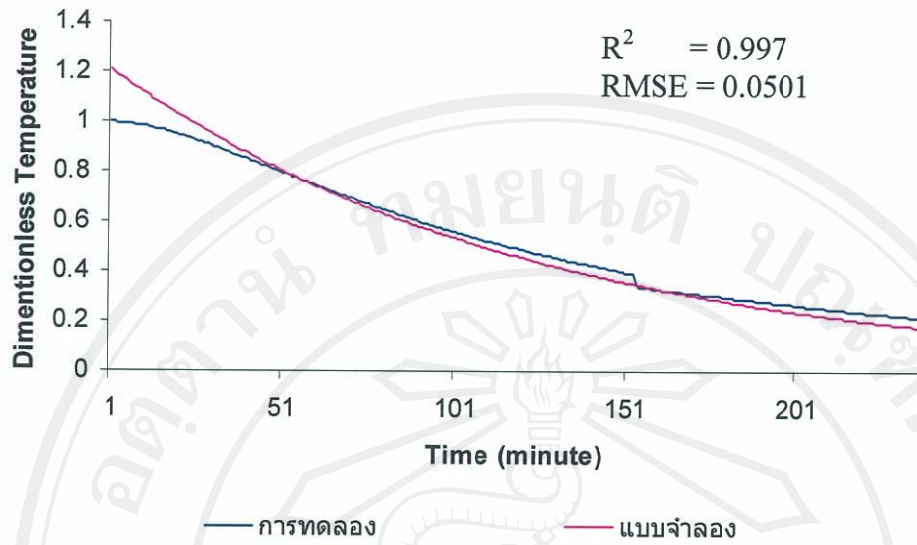
รูปที่ ค 126. การเปรียบเทียบค่าความคลาดเคลื่อนระหว่าง dimensionless temperature จากการคำนวณของแบบจำลองทางคณิตศาสตร์และจากการทดลองของฟักกะหล่ำปลี ในการลดอุณหภูมิโดยวิธีที่ใช้ในปัจจุบันจากหัววัดที่ 3 ในการทดลองครั้งที่ 2



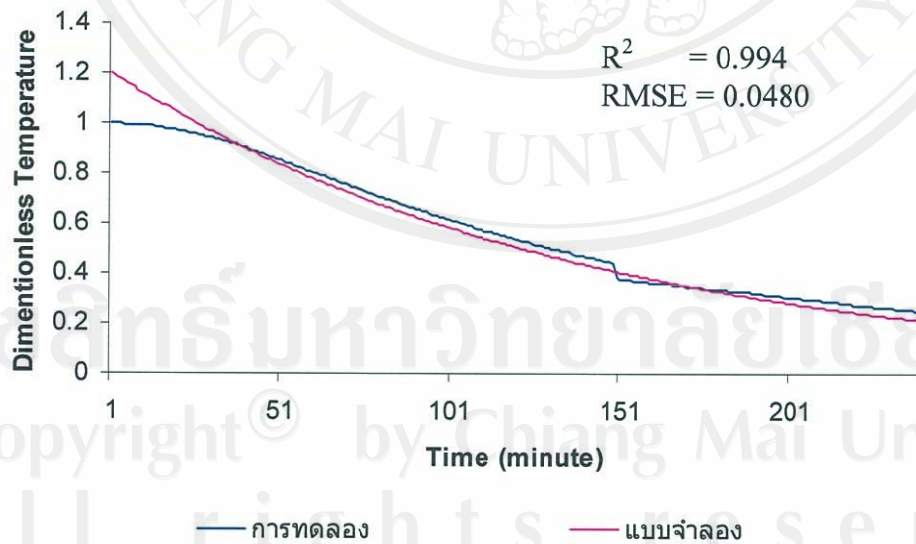
รูปที่ ค 127. การเปรียบเทียบค่าความคลาดเคลื่อนระหว่าง dimentionless temperature จากการคำนวณของแบบจำลองทางคณิตศาสตร์และจากการทดลองของฝักกะหล่ำปลี ในการลดอุณหภูมิโดยวิธีที่ใช้ในปัจจุบันจากหัววัดที่ 4 ในการทดลองครั้งที่ 2



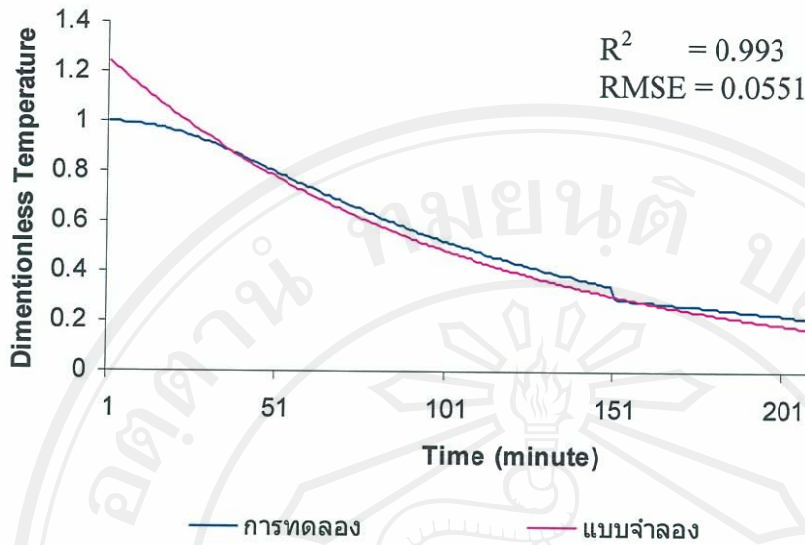
รูปที่ ค 128. การเปรียบเทียบค่าความคลาดเคลื่อนระหว่าง dimentionless temperature จากการคำนวณของแบบจำลองทางคณิตศาสตร์และจากการทดลองของฝักกะหล่ำปลี ในการลดอุณหภูมิโดยวิธีที่ใช้ในปัจจุบันจากหัววัดที่ 5 ในการทดลองครั้งที่ 2



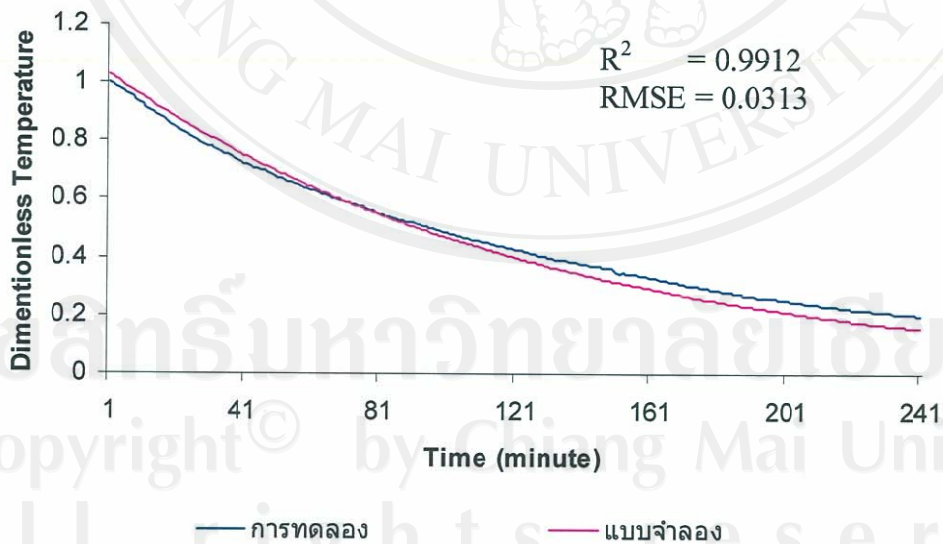
รูปที่ ค 129. การเปรียบเทียบค่าความคลาดเคลื่อนระหว่าง dimentionless temperature จากการคำนวณของแบบจำลองทางคณิตศาสตร์และจากการทดลองของฝักกะหล่ำปลี ในการลดอุณหภูมิโดยวิธีที่ใช้ในปัจจุบันจากหัววัดที่ 6 ในการทดลองครั้งที่ 2



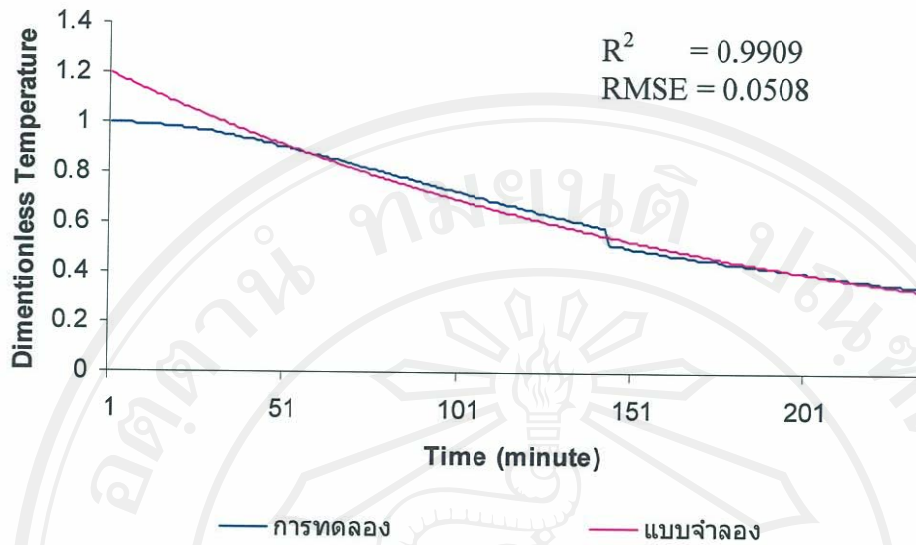
รูปที่ ค 130. การเปรียบเทียบค่าความคลาดเคลื่อนระหว่าง dimentionless temperature จากการคำนวณของแบบจำลองทางคณิตศาสตร์และจากการทดลองของฝักกะหล่ำปลี ในการลดอุณหภูมิโดยการลดขนาดของผ้าใบจากหัววัดที่ 1 ในการทดลองครั้งที่ 1



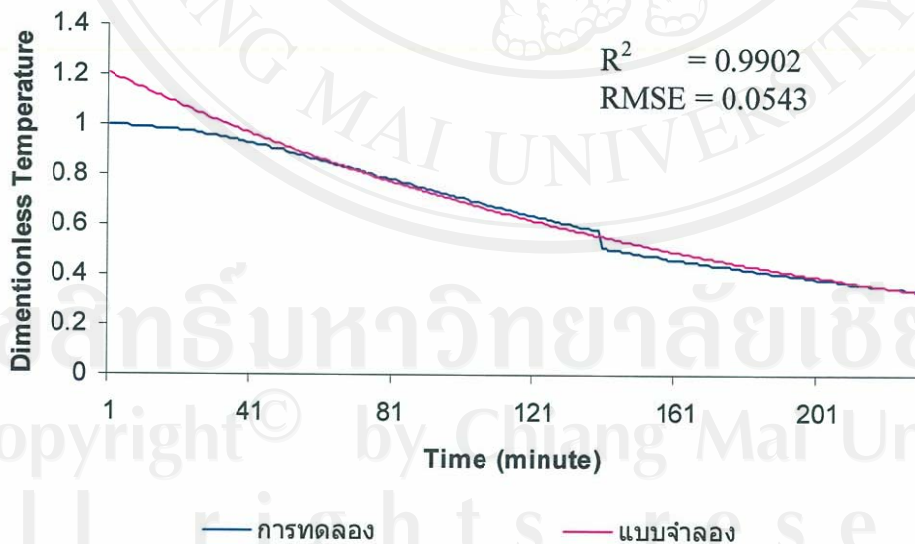
รูปที่ ค 131. การเปรียบเทียบค่าความคลาดเคลื่อนระหว่าง dimensionless temperature จากการคำนวณของแบบจำลองทางคณิตศาสตร์และจากการทดลองของฝักกะหล่ำปลี ในการลดอุณหภูมิโดยการลดขนาดของผ้าใบจากหัววัดที่ 2 ในการทดลองครั้งที่ 1



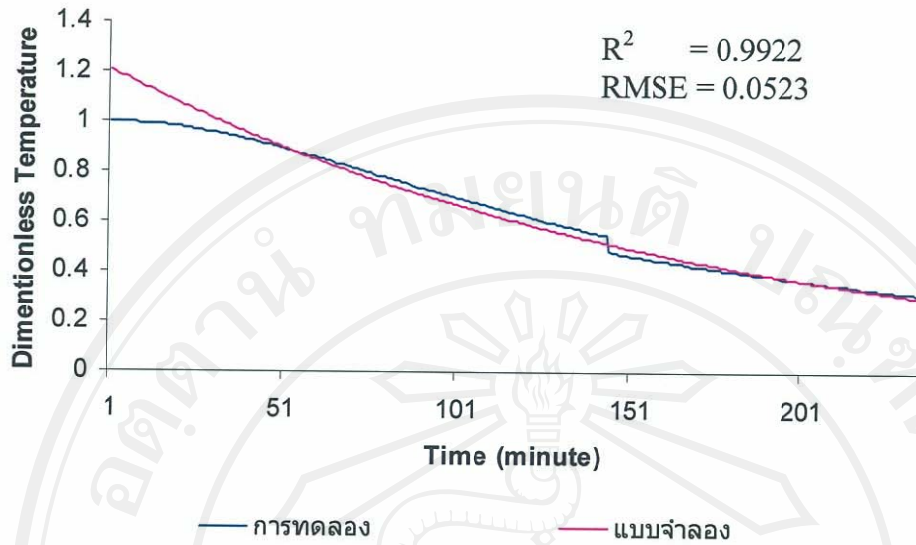
รูปที่ ค 132. การเปรียบเทียบค่าความคลาดเคลื่อนระหว่าง dimensionless temperature จากการคำนวณของแบบจำลองทางคณิตศาสตร์และจากการทดลองของฝักกะหล่ำปลี ในการลดอุณหภูมิโดยการลดขนาดของผ้าใบจากหัววัดที่ 3 ในการทดลองครั้งที่ 1



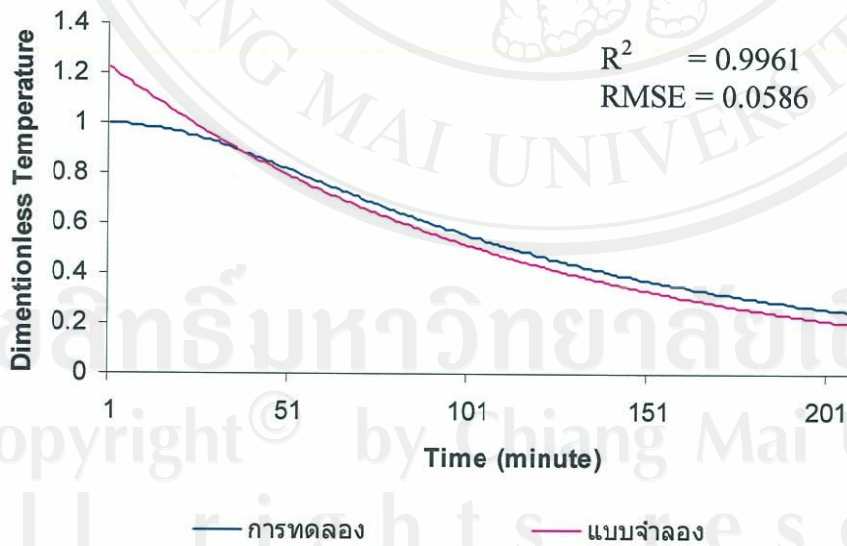
รูปที่ ค 133. การเปรียบเทียบค่าความคลาดเคลื่อนระหว่าง dimensionless temperature จากการคำนวณของแบบจำลองทางคณิตศาสตร์และจากการทดลองของฝักกะหล่ำปลี ในการลดอุณหภูมิโดยการลดขนาดของผ้าใบจากหัววัดที่ 4 ในการทดลองครั้งที่ 1



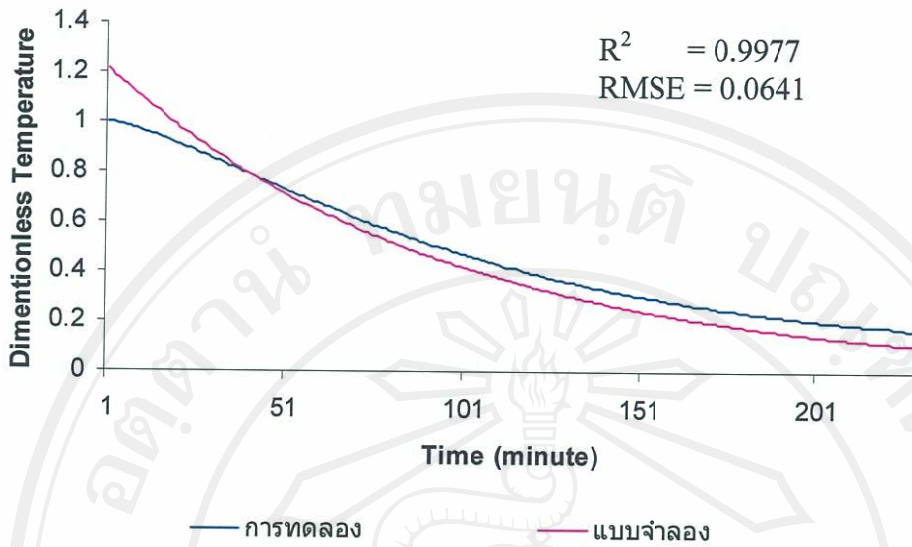
รูปที่ ค 134. การเปรียบเทียบค่าความคลาดเคลื่อนระหว่าง dimensionless temperature จากการคำนวณของแบบจำลองทางคณิตศาสตร์และจากการทดลองของฝักกะหล่ำปลี ในการลดอุณหภูมิโดยการลดขนาดของผ้าใบจากหัววัดที่ 5 ในการทดลองครั้งที่ 1



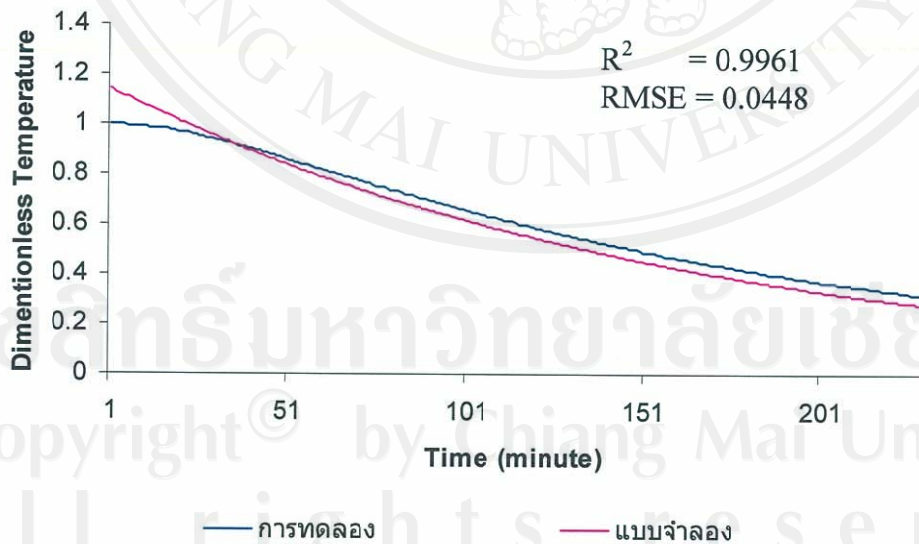
รูปที่ ค 135. การเปรียบเทียบค่าความคลาดเคลื่อนระหว่าง dimensionless temperature จากการคำนวณของแบบจำลองทางคณิตศาสตร์และจากการทดลองของฝักกะหล่ำปลี ในการลดอุณหภูมิโดยการลดขนาดของผ้าใบจากหัววัดที่ 6 ในการทดลองครั้งที่ 1



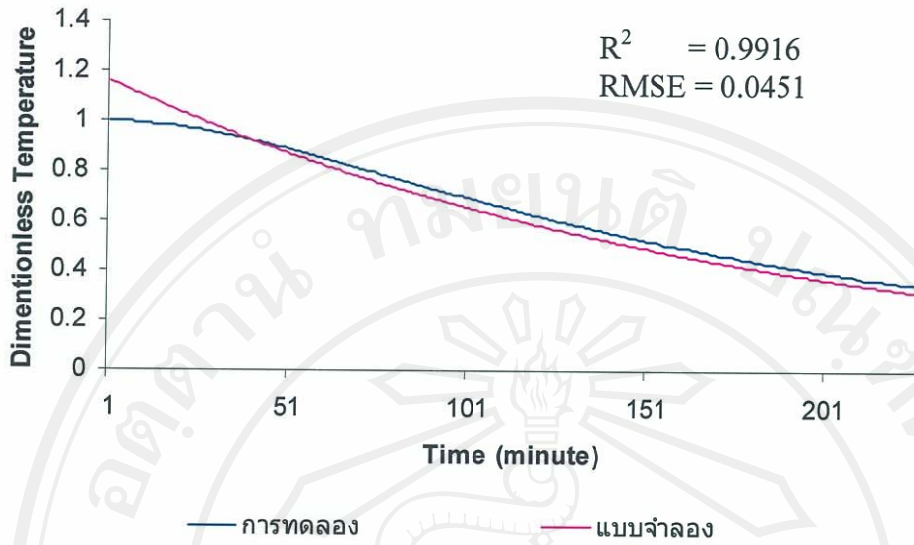
รูปที่ ค 136. การเปรียบเทียบค่าความคลาดเคลื่อนระหว่าง dimensionless temperature จากการคำนวณของแบบจำลองทางคณิตศาสตร์และจากการทดลองของฝักกะหล่ำปลี ในการลดอุณหภูมิโดยการลดขนาดของผ้าใบจากหัววัดที่ 1 ในการทดลองครั้งที่ 2



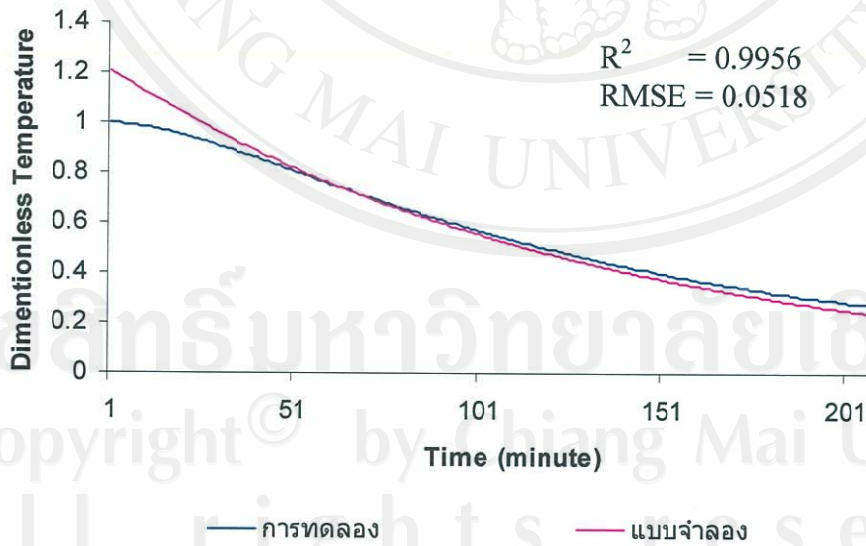
รูปที่ ค 137. การเปรียบเทียบค่าความคลาดเคลื่อนระหว่าง dimensionless temperature จากการคำนวณของแบบจำลองทางคณิตศาสตร์และจากการทดลองของฝักกะหล่ำปลี ในการลดอุณหภูมิโดยการลดขนาดของผ้าใบจากหัววัดที่ 2 ในการทดลองครั้งที่ 2



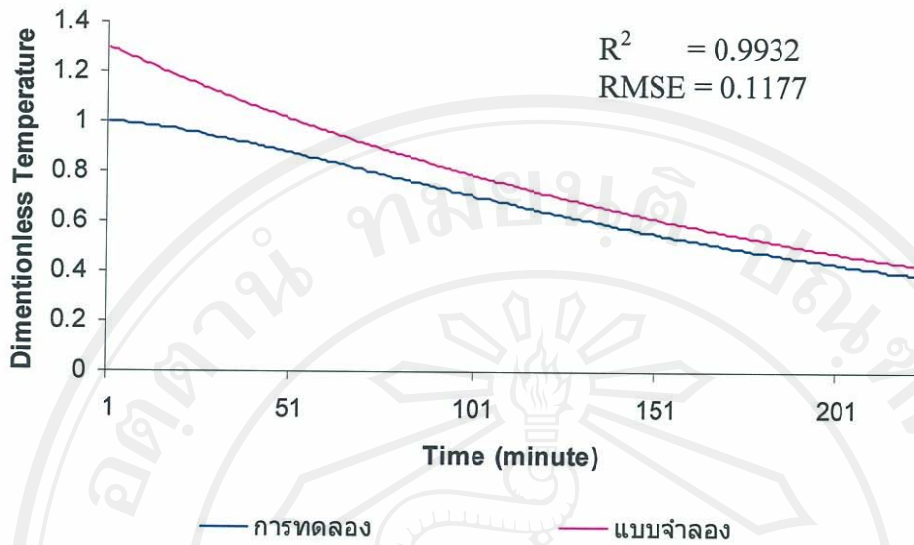
รูปที่ ค 138. การเปรียบเทียบค่าความคลาดเคลื่อนระหว่าง dimensionless temperature จากการคำนวณของแบบจำลองทางคณิตศาสตร์และจากการทดลองของฝักกะหล่ำปลี ในการลดอุณหภูมิโดยการลดขนาดของผ้าใบจากหัววัดที่ 3 ในการทดลองครั้งที่ 2



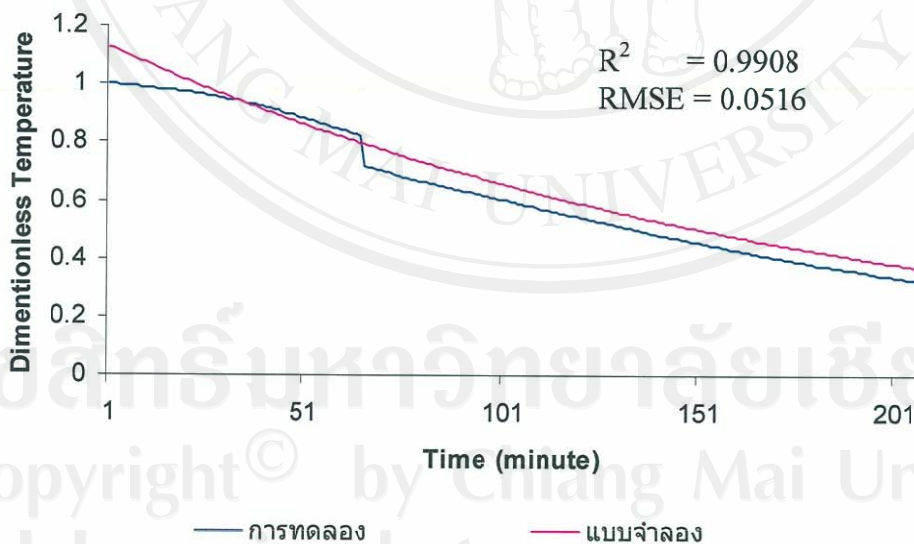
รูปที่ ค 139. การเปรียบเทียบค่าความคลาดเคลื่อนระหว่าง dimensionless temperature จากการคำนวณของแบบจำลองทางคณิตศาสตร์และจากการทดลองของฝักกะหล่ำปลี ในการลดอุณหภูมิโดยการลดขนาดของผ้าใบจากหัววัดที่ 4 ในการทดลองครั้งที่ 2



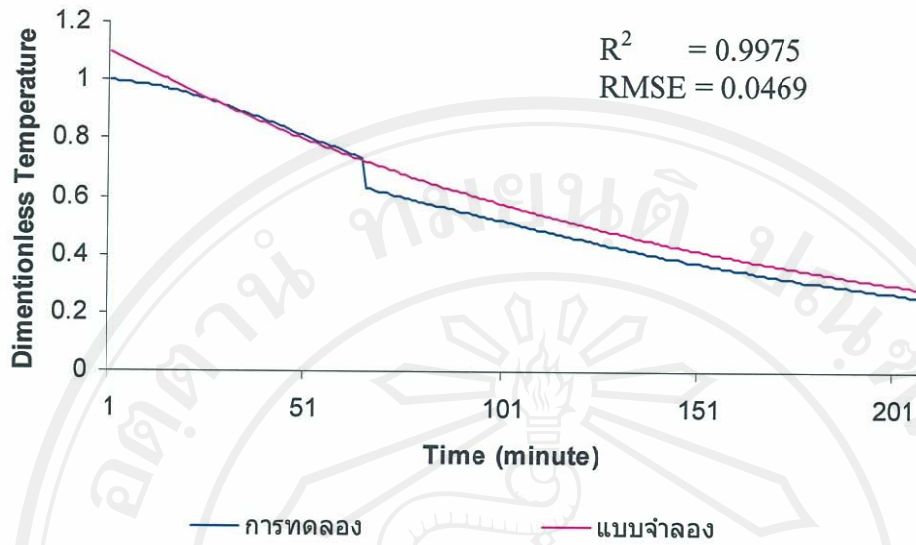
รูปที่ ค 140. การเปรียบเทียบค่าความคลาดเคลื่อนระหว่าง dimensionless temperature จากการคำนวณของแบบจำลองทางคณิตศาสตร์และจากการทดลองของฝักกะหล่ำปลี ในการลดอุณหภูมิโดยการลดขนาดของผ้าใบจากหัววัดที่ 5 ในการทดลองครั้งที่ 2



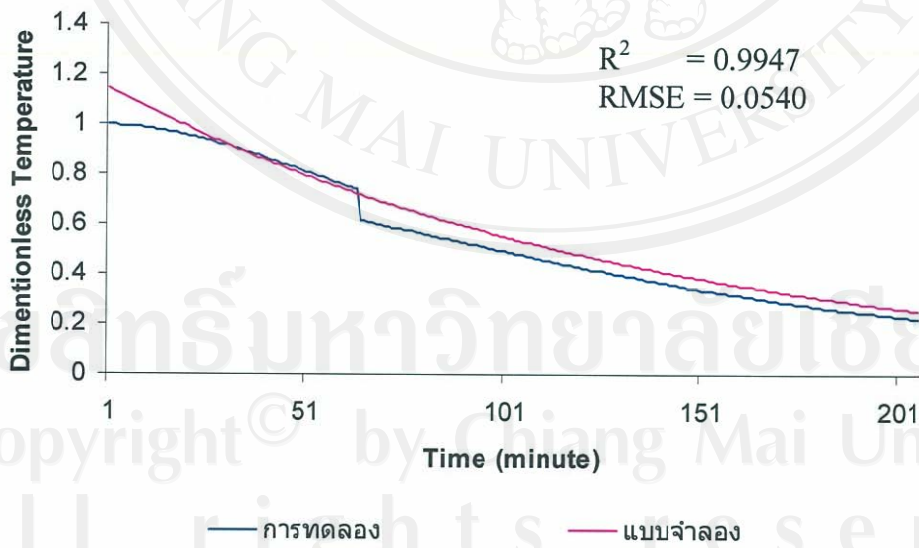
รูปที่ ค 141. การเปรียบเทียบค่าความคลาดเคลื่อนระหว่าง dimensionless temperature จากการคำนวณของแบบจำลองทางคณิตศาสตร์และจากการทดลองของผักกะหล่ำปลี ในการลดอุณหภูมิโดยการลดขนาดของผ้าใบจากหัววัดที่ 6 ในการทดลองครั้งที่ 2



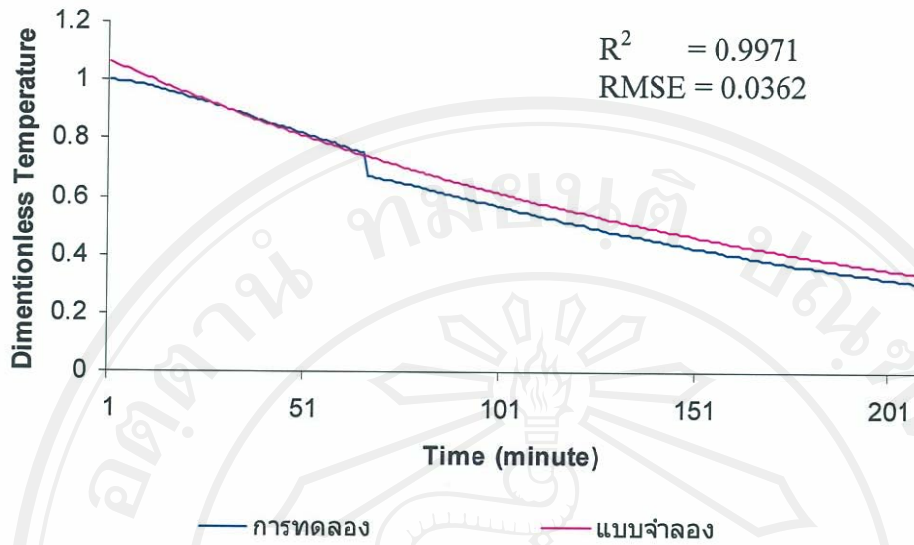
รูปที่ ค 142. การเปรียบเทียบค่าความคลาดเคลื่อนระหว่าง dimensionless temperature จากการคำนวณของแบบจำลองทางคณิตศาสตร์และจากการทดลองของผักกะหล่ำปลี ในการลดอุณหภูมิโดยการเพิ่มพื้นที่เปิดของตะกร้าจากหัววัดที่ 1 ในการทดลองครั้งที่ 1



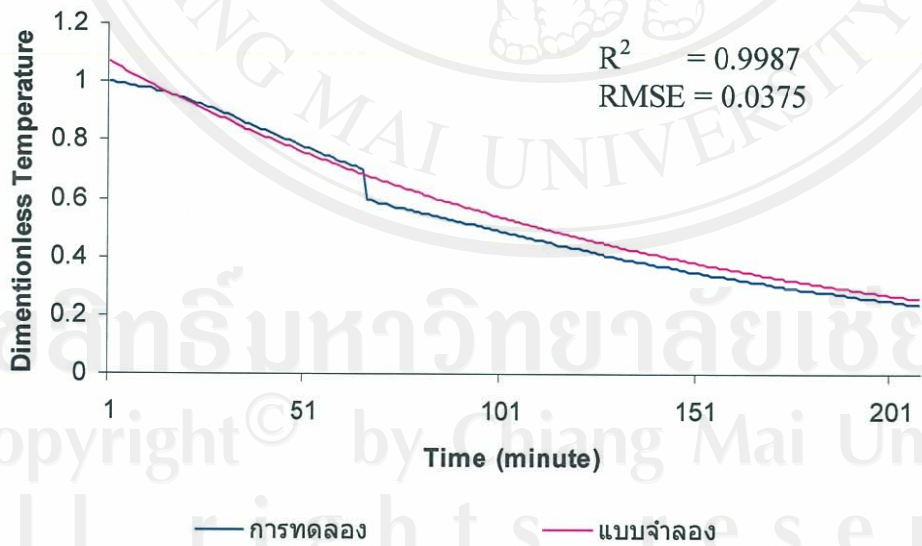
รูปที่ ค 143. การเปรียบเทียบค่าความคลาดเคลื่อนระหว่าง dimensionless temperature จากการคำนวณของแบบจำลองทางคณิตศาสตร์และจากการทดลองของฝักกะหล่ำปลี ในการลดอุณหภูมิโดยการเพิ่มพื้นที่เปิดของตะกร้าจากหัววัดที่ 2 ในการทดลองครั้งที่ 1



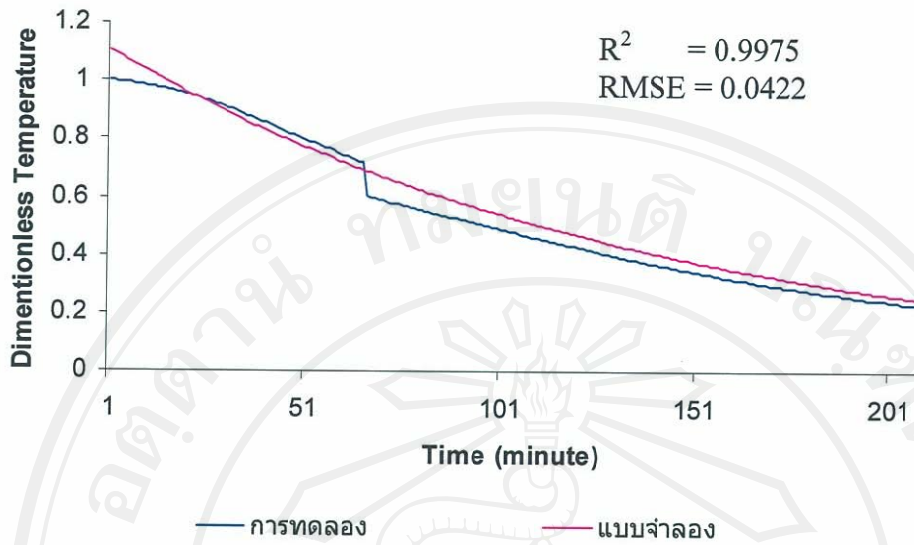
รูปที่ ค 144. การเปรียบเทียบค่าความคลาดเคลื่อนระหว่าง dimensionless temperature จากการคำนวณของแบบจำลองทางคณิตศาสตร์และจากการทดลองของฝักกะหล่ำปลี ในการลดอุณหภูมิโดยการเพิ่มพื้นที่เปิดของตะกร้าจากหัววัดที่ 3 ในการทดลองครั้งที่ 1



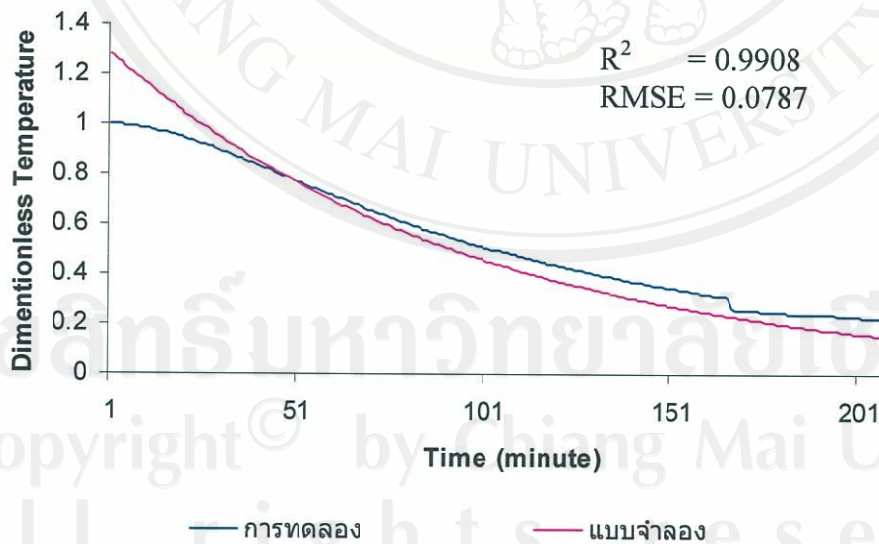
รูปที่ ค 145. การเปรียบเทียบค่าความคลาดเคลื่อนระหว่าง dimensionless temperature จากการคำนวณของแบบจำลองทางคณิตศาสตร์และจากการทดลองของผักกะหล่ำปลี ในการลดอุณหภูมิโดยการเพิ่มพื้นที่เปิดของตะกร้าจากหัววัดที่ 4 ในการทดลองครั้งที่ 1



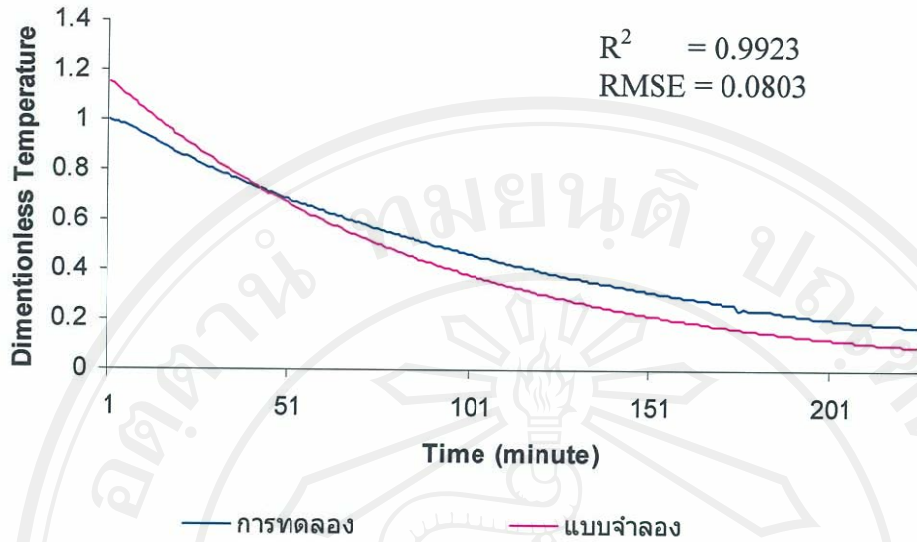
รูปที่ ค 146. การเปรียบเทียบค่าความคลาดเคลื่อนระหว่าง dimensionless temperature จากการคำนวณของแบบจำลองทางคณิตศาสตร์และจากการทดลองของผักกะหล่ำปลี ในการลดอุณหภูมิโดยการเพิ่มพื้นที่เปิดของตะกร้าจากหัววัดที่ 5 ในการทดลองครั้งที่ 1



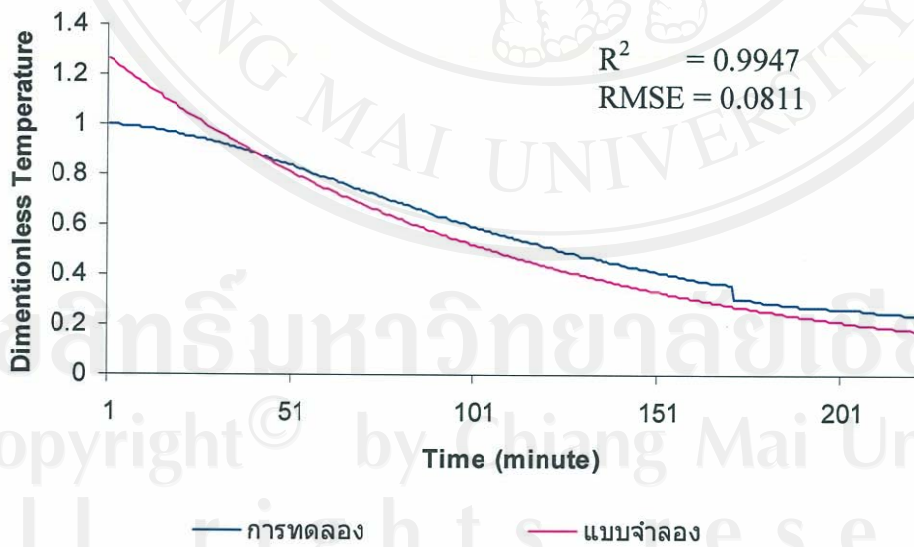
รูปที่ ค 147. การเปรียบเทียบค่าความคลาดเคลื่อนระหว่าง dimensionless temperature จากการคำนวณของแบบจำลองทางคณิตศาสตร์และจากการทดลองของผักกะหล่ำปลี ในการลดอุณหภูมิโดยการเพิ่มพื้นที่เปิดของตะกร้าจากหัววัดที่ 6 ในการทดลองครั้งที่ 1



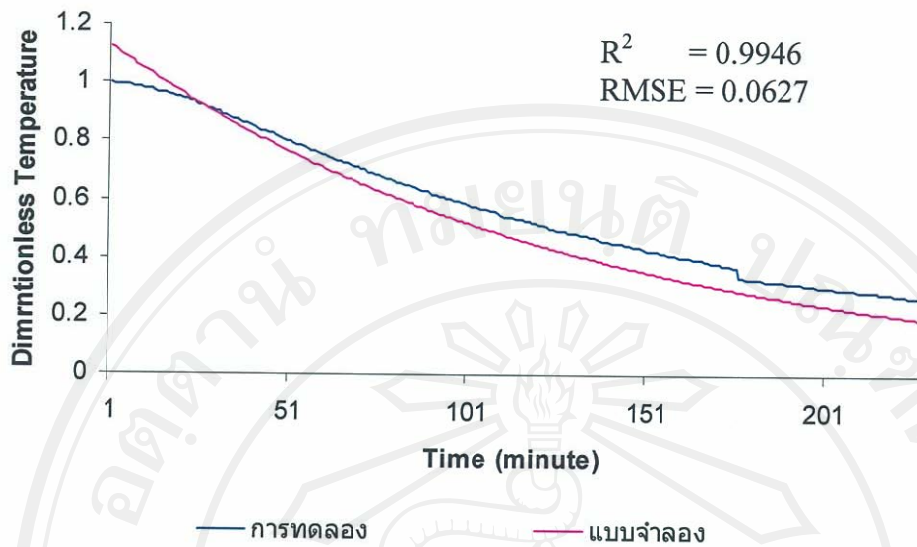
รูปที่ ค 148. การเปรียบเทียบค่าความคลาดเคลื่อนระหว่าง dimensionless temperature จากการคำนวณของแบบจำลองทางคณิตศาสตร์และจากการทดลองของผักกะหล่ำปลี ในการลดอุณหภูมิโดยการเพิ่มพื้นที่เปิดของตะกร้าจากหัววัดที่ 2 ในการทดลองครั้งที่ 2



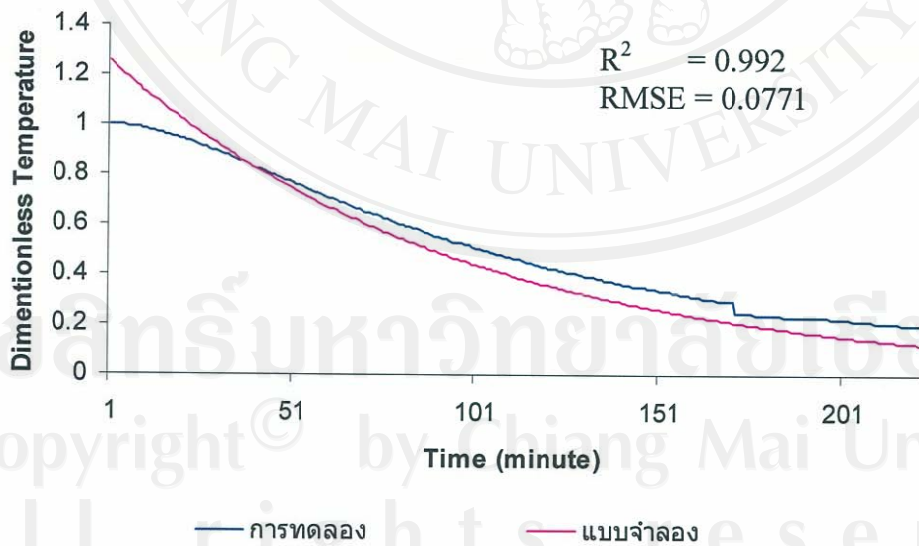
รูปที่ ค 149. การเปรียบเทียบค่าความคลาดเคลื่อนระหว่าง dimensionless temperature จากการคำนวณของแบบจำลองทางคณิตศาสตร์และจากการทดลองของฝักกะหล่ำปลี ในการลดอุณหภูมิโดยการเพิ่มพื้นที่เปิดของตะกร้าจากหัววัดที่ 3 ในการทดลองครั้งที่ 1



รูปที่ ค 150. การเปรียบเทียบค่าความคลาดเคลื่อนระหว่าง dimensionless temperature จากการคำนวณของแบบจำลองทางคณิตศาสตร์และจากการทดลองของฝักกะหล่ำปลี ในการลดอุณหภูมิโดยการเพิ่มพื้นที่เปิดของตะกร้าจากหัววัดที่ 4 ในการทดลองครั้งที่ 2



รูปที่ ค 151. การเปรียบเทียบค่าความคลาดเคลื่อนระหว่าง dimensionless temperature จากการคำนวณของแบบจำลองทางคณิตศาสตร์และจากการทดลองของฝักกะหล่ำปลี ในการลดอุณหภูมิโดยการเพิ่มพื้นที่เปิดของตะกร้าจากหัววัดที่ 5 ในการทดลองครั้งที่ 2



รูปที่ ค 152. การเปรียบเทียบค่าความคลาดเคลื่อนระหว่าง dimensionless temperature จากการคำนวณของแบบจำลองทางคณิตศาสตร์และจากการทดลองของฝักกะหล่ำปลี ในการลดอุณหภูมิโดยการเพิ่มพื้นที่เปิดของตะกร้าจากหัววัดที่ 6 ในการทดลองครั้งที่ 2

ประวัติผู้เขียน

ชื่อ	นาย ชีระพงษ์ จันทร์แจ่ม
วัน เดือน ปี เกิด	1 กันยายน 2522
ประวัติการศึกษา	สำเร็จการศึกษามัธยมศึกษา โรงเรียนจักรคำคณาทร จังหวัด ลำพูน ปีการศึกษา 2540 สำเร็จการศึกษาระดับปริญญาวิทยาศาสตรบัณฑิต สาขา วิศวกรรมอาหาร คณะ อุตสาหกรรมเกษตร มหาวิทยาลัยเชียงใหม่ ปีการศึกษา 2545
ทุนการศึกษา	ได้รับทุนสนับสนุนการวิจัยจากมูลนิธิโครงการหลวง

ลิขสิทธิ์มหาวิทยาลัยเชียงใหม่
Copyright© by Chiang Mai University
All rights reserved